

# QFL5737 –Tópicos em Tecnologia, Ambiente, Química e Sustentabilidade

*Aula 1 – Conceitos sobre o Meio Ambiente*

Prof. Dr. Reinaldo C. Bazito

[bazito@iq.usp.br](mailto:bazito@iq.usp.br)



# Conceitos sobre o Meio Ambiente

- *A Terra;*
- *Meio ambiente / Compartimentos ambientais;*
- *Ciclos biogeoquímicos;*
- *Influência humana sobre o meio ambiente;*
- *Compostos de importância ambiental.*



# Química Ambiental

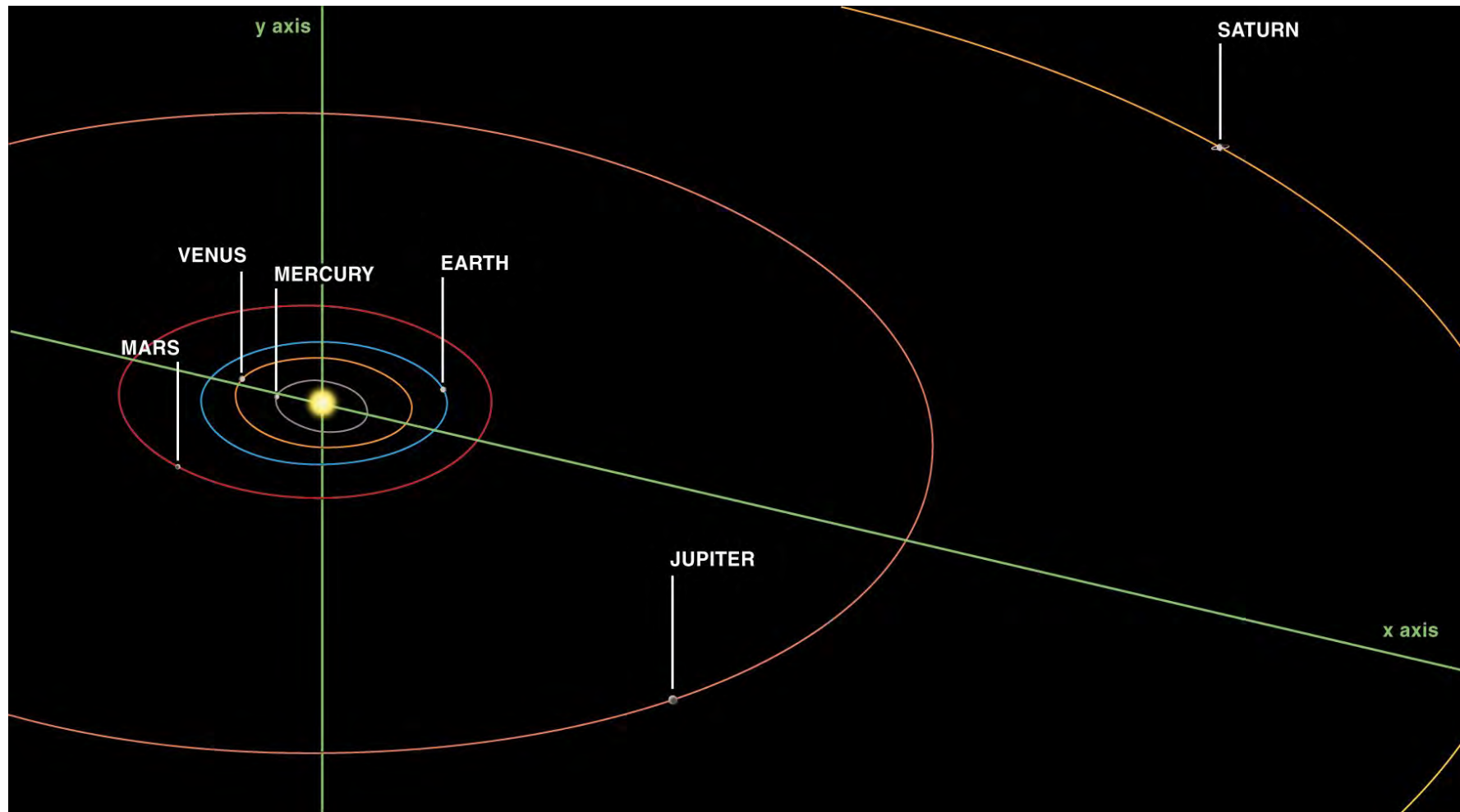


**“Química do Meio Ambiente”:**  
Observa, mede, entende e prevê





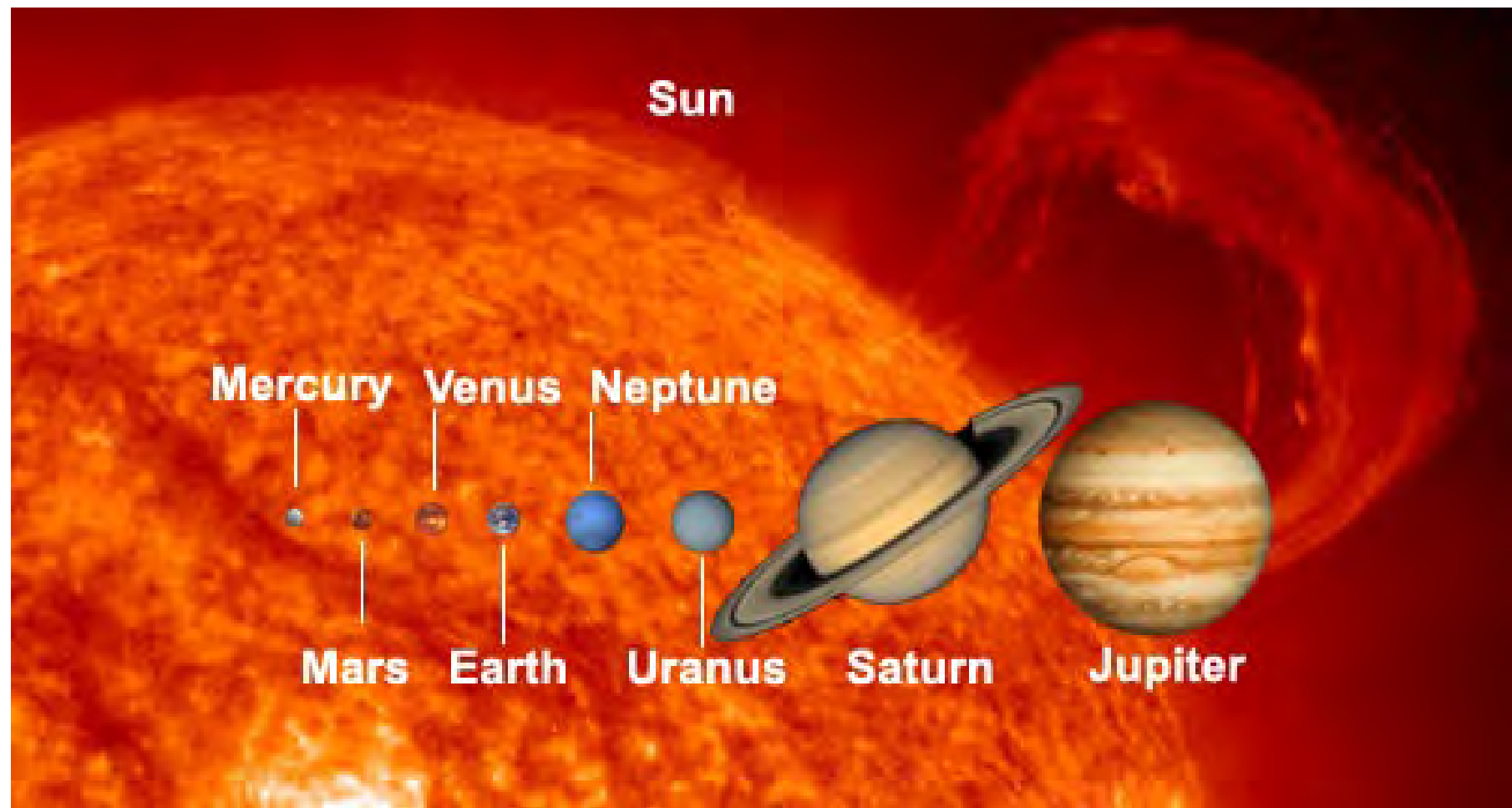
# O Sistema Solar



[http://solarsystem.nasa.gov/multimedia/gallery/vis\\_orb.jpg](http://solarsystem.nasa.gov/multimedia/gallery/vis_orb.jpg)



# O Sistema Solar



[http://spaceplace.nasa.gov/review/switch-a-roo/sse\\_planet\\_sizes.en.jpg](http://spaceplace.nasa.gov/review/switch-a-roo/sse_planet_sizes.en.jpg)



# A Terra



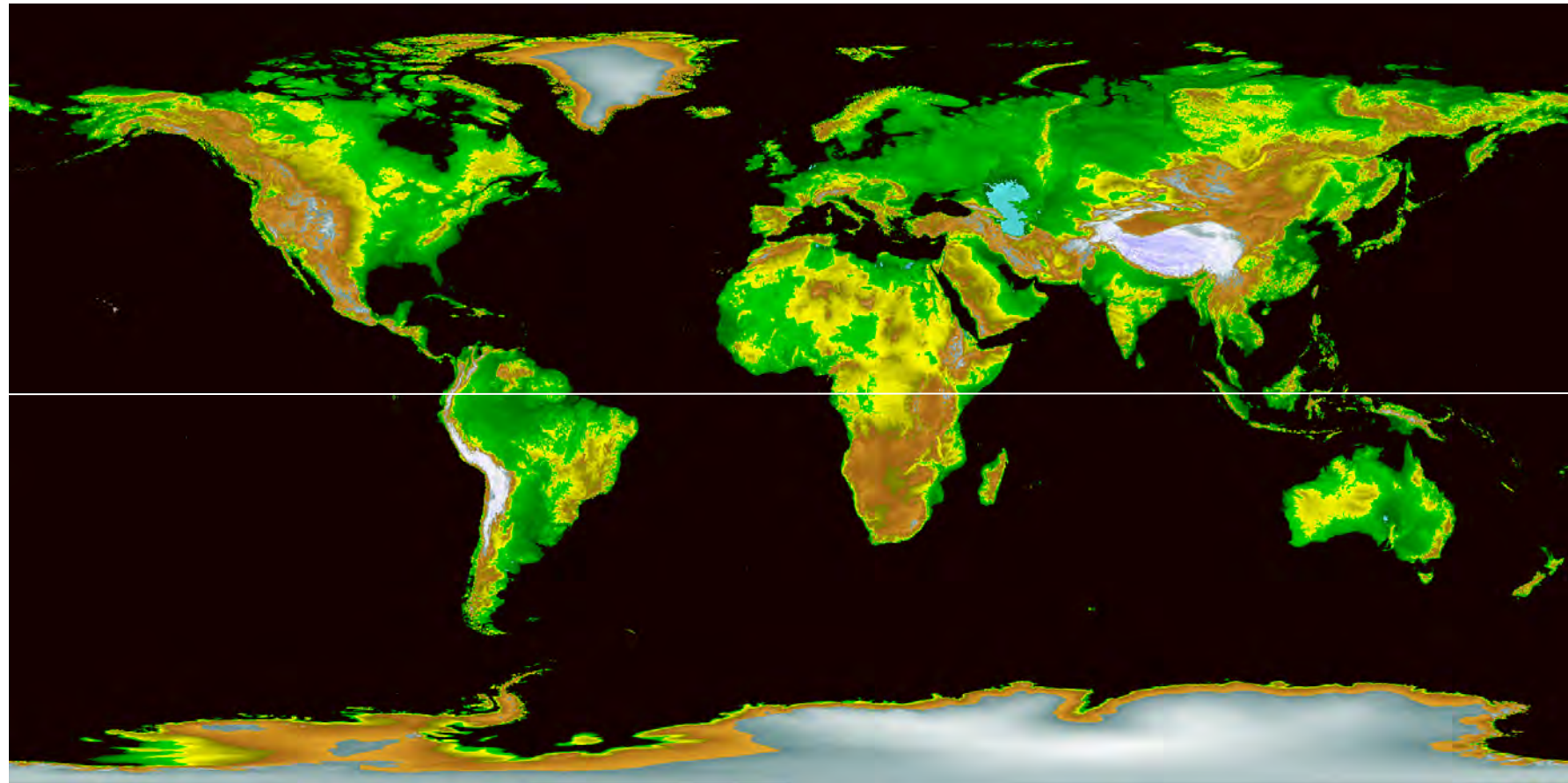
"The Blue Marble" – NASA Apollo 17

- Raio: 6.378,14 km
- Volume:  $1,0832 \times 10^{12} \text{ km}^3$
- Massa:  $5,9737 \times 10^{24} \text{ kg}$
- Densidade:  $5.515 \text{ g/cm}^3$
- Área Superficial:  
 $5,100657 \times 10^8 \text{ km}^2$
- Temperaturas:  
-88/58 (min/max) °C

<http://solarsystem.nasa.gov/planets/profile.cfm?Object=Earth&Display=Facts&System=Metric>



# Terra: Distribuição de áreas de “solo”



<http://www.ngdc.noaa.gov/mgg/topo/img/globeco2.gif>

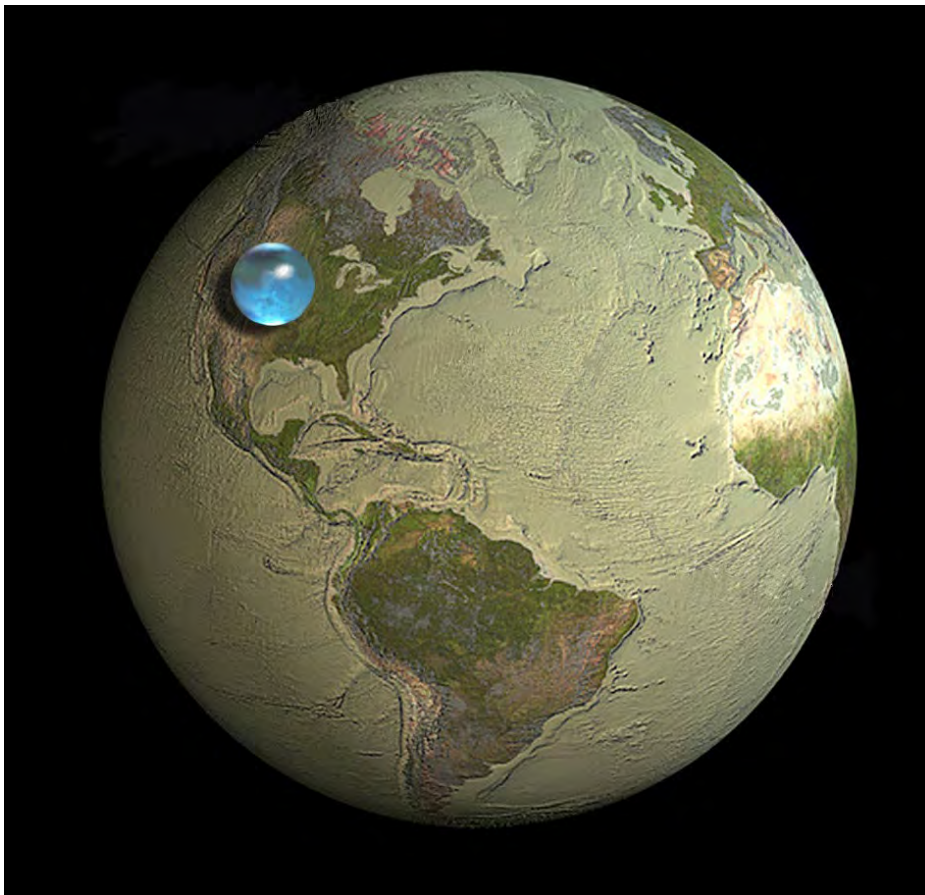
70,8% da área ocupada por água.



# Terra: Quantidade de água

Volume =  $1,386 \times 10^9 \text{ km}^3$  (ou  $1,386 \times 10^{18} \text{ m}^3$ )

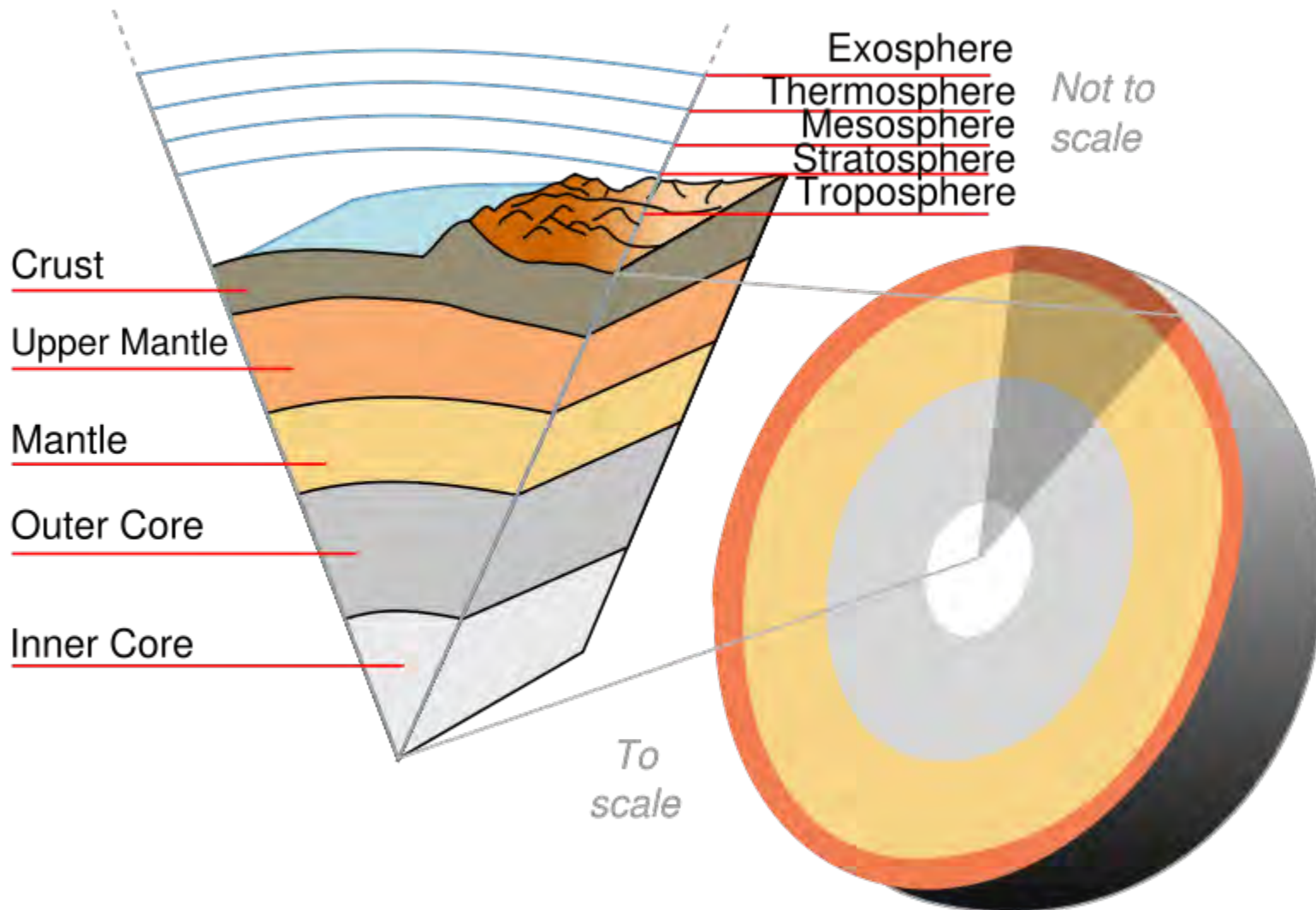
Massa =  $1,4 \times 10^{18} \text{ ton}$



<https://water.usgs.gov/edu/gallery/global-water-volume.html>



# Terra: Camadas





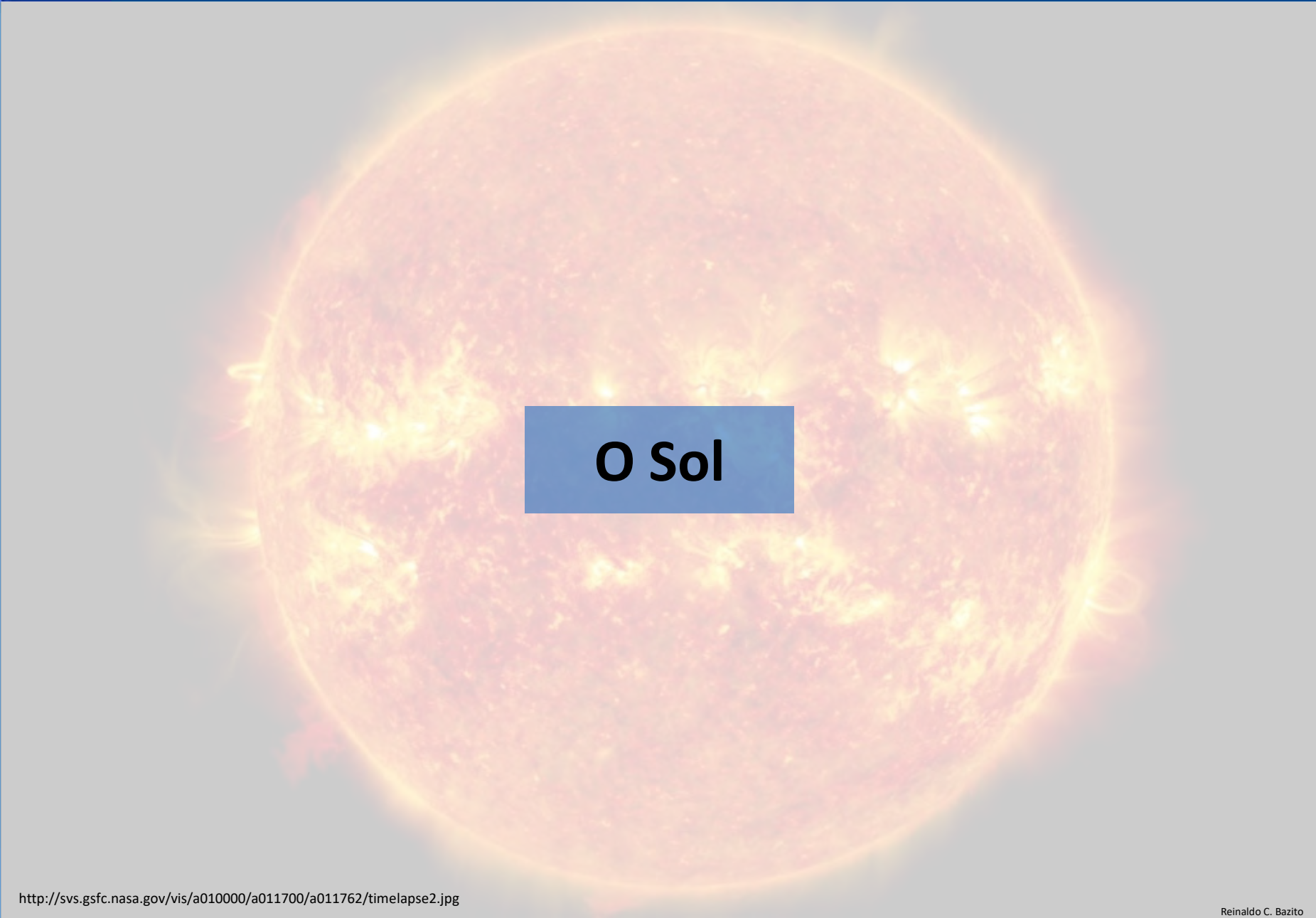
# Terra: Composição química

## Global:

- Fe 32,1%
- O 30,1%
- Si 15,1%
- Mg 13,9%
- S 2,9%
- Ni 1,8%
- Ca 1,5%
- Al 1,4%
- Outros 1,2%

## Crosta:

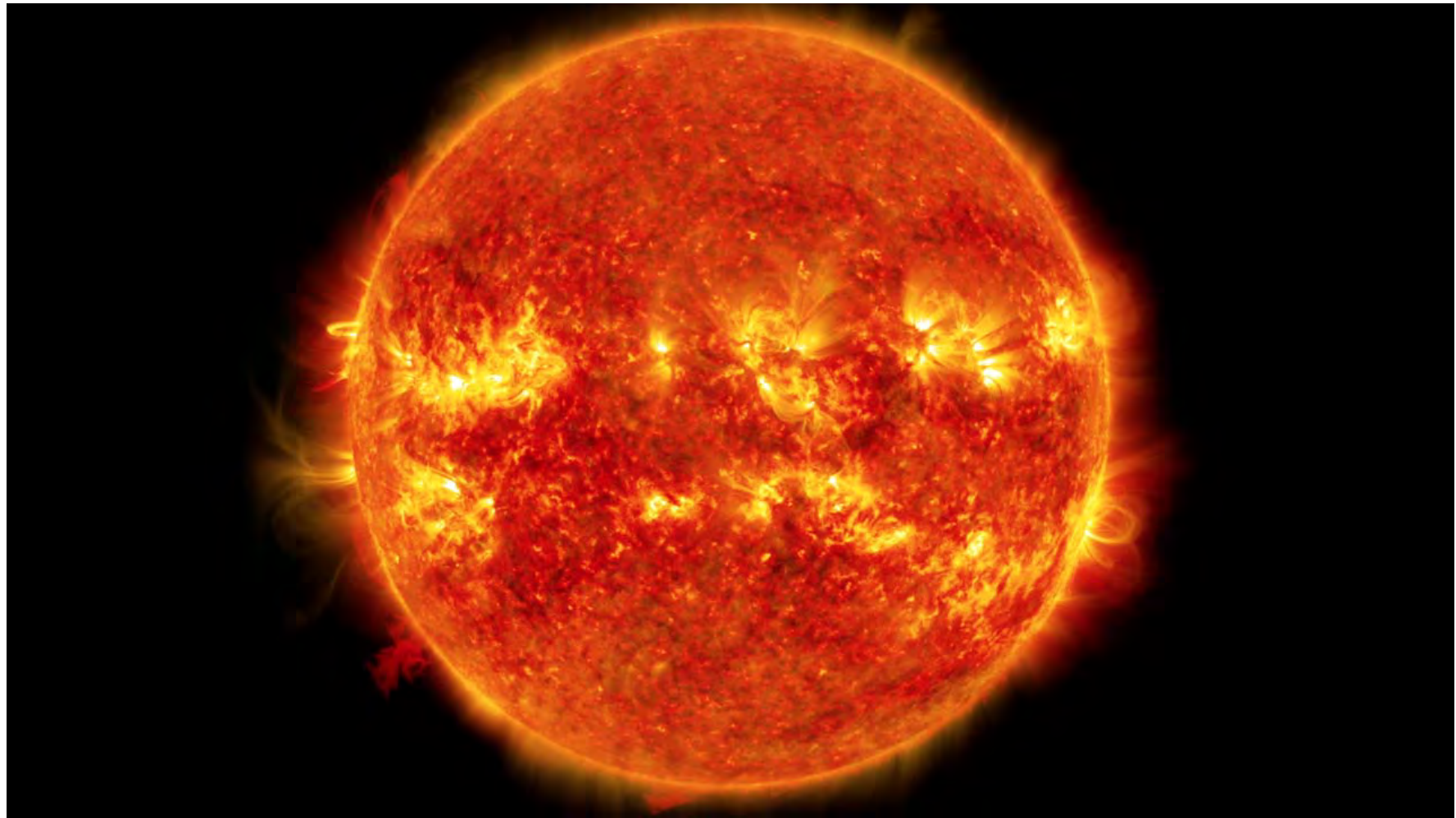
F. W. Clarke's Table of Crust Oxides		
Compound	Formula	Composition
silica	SiO <sub>2</sub>	59.71%
Alumina	Al <sub>2</sub> O <sub>3</sub>	15.41%
Lime	CaO	4.90%
Magnesia	MgO	4.36%
Sodium oxide	Na <sub>2</sub> O	3.55%
Iron (II) oxide	FeO	3.52%
Potassium oxide	K <sub>2</sub> O	2.80%
Iron (III) oxide	Fe <sub>2</sub> O <sub>3</sub>	2.63%
Water	H <sub>2</sub> O	1.52%
Titanium dioxide	TiO <sub>2</sub>	0.60%
Phosphorous pentoxide	P <sub>2</sub> O <sub>5</sub>	0.22%
Total		99.22%



# O Sol



# O Sol



<http://svs.gsfc.nasa.gov/vis/a01000/a011700/a011762/timelapse2.jpg>

Vídeo "5 anos SDO" neste link: <https://svs.gsfc.nasa.gov/11742>



# Terra vs. Sol

	Sol	Terra	Razão S/T
Massa (kg)	$2 \times 10^{30}$	$6 \times 10^{24}$	333.000
Raio (km)	695.700	6.378	109
Volume (km <sup>3</sup> )	$1,41 \times 10^{18}$	$1,08 \times 10^{12}$	1.300.000
Densidade Média (g/cm <sup>3</sup> )	1,41	5,52	0,255
Temperatura	Centro $1,6 \times 10^7$ K Fotosfera    5.772 K Corona $5 \times 10^6$ K	Média    288 K	
Composição Aproximada	74% H 25% He 1% Outros	32,1% Fe 30,1% O 15,1% Si 13,9% Mg 2,9% S 5,9% Outros	

Dados da Wikipedia



# Terra: Fontes de Energia

SOL

- Irradia  $1,17 \times 10^{31}$  kJ/ano !!!
- Terra intercepta pequena fração:  $54,4 \times 10^{20}$  kJ/ano

Outras  
Fontes

- Marés (atração gravitacional):  $0,0013 \times 10^{20}$  kJ/ano
- Calor geotérmico (núcleo da Terra):  $0,01 \times 10^{20}$  kJ/ano
- Energia nuclear



# Terra: Fluxo de Energia

- 30% refletida (albedo – 24% atmosfera e 4% superfície).

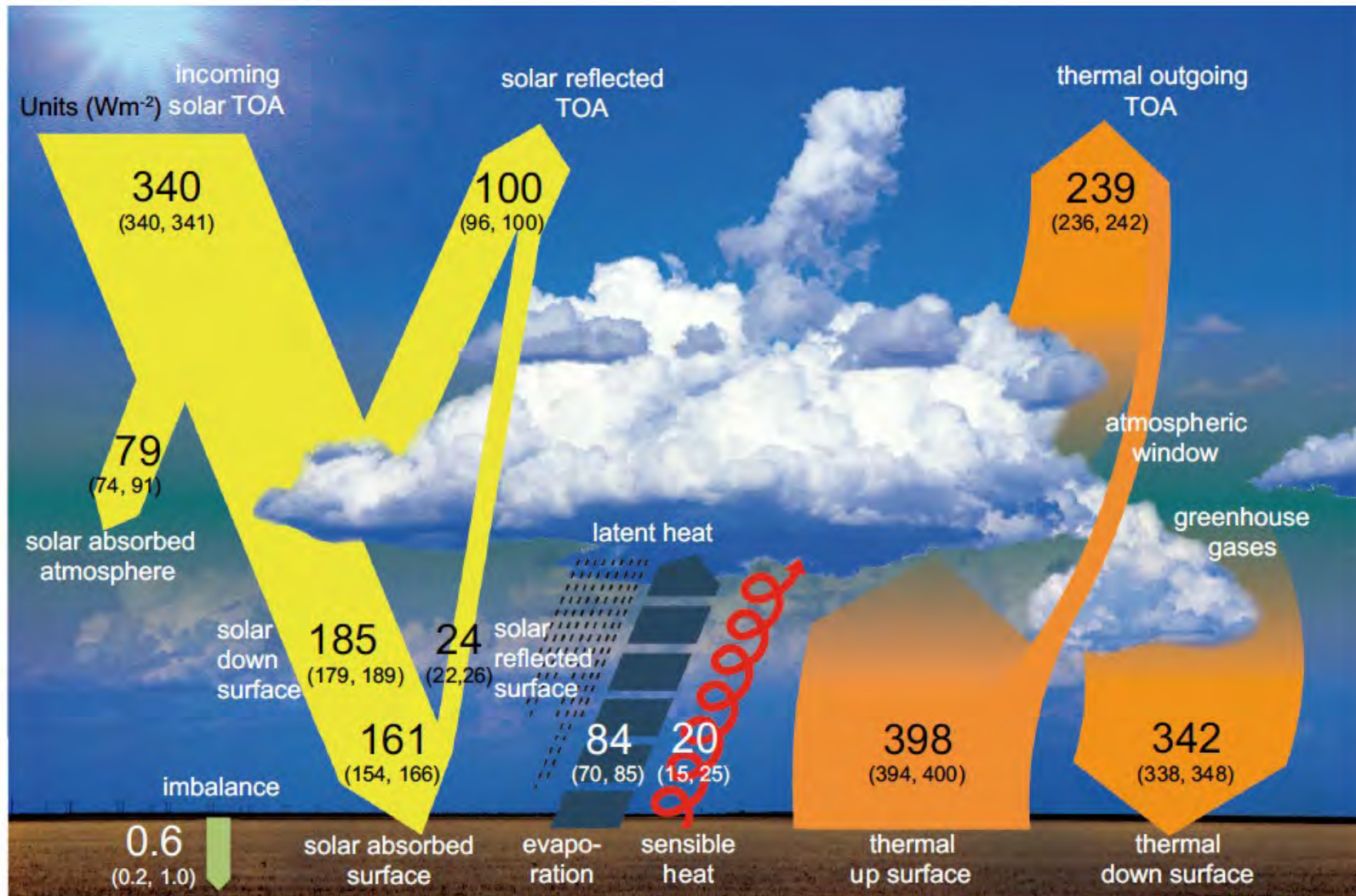
Convertido em calor e irradiado de volta para o espaço:

- 24% absorvida pela atmosfera;
- 14% absorvida pela superfície terrestre;
- 32% absorvida pelos oceanos.

Da energia absorvida:

- 50% “circula” pelo ciclo hidrológico;
- Calor de vaporização  $H_2O$  (a 15°C) – 2,46 kJ/g;
- Mesmo chuvas fracas envolvem uma enorme quantidade de energia!

# Terra: Balanço Energético



**Figure 2.11:** | Global mean energy budget under present-day climate conditions. Numbers state magnitudes of the individual energy fluxes in  $\text{W m}^{-2}$ , adjusted within their uncertainty ranges to close the energy budgets. Numbers in parentheses attached to the energy fluxes cover the range of values in line with observational constraints. (Adapted from Wild et al., 2013.)

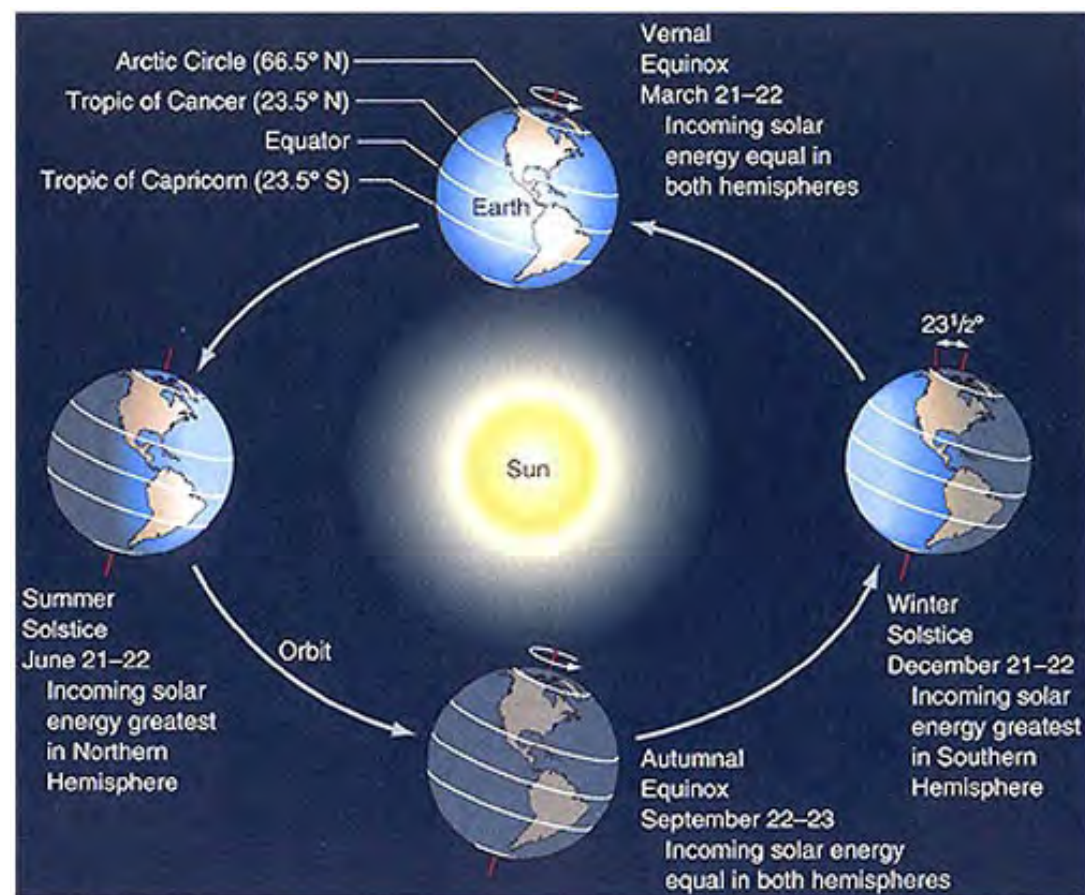


# Terra: Estações do Ano

## Distância da Terra ao Sol?

- Periélio (~147 milhões de km) – 3 de janeiro;
- Afélio (~152 milhões de km) – 4 de julho

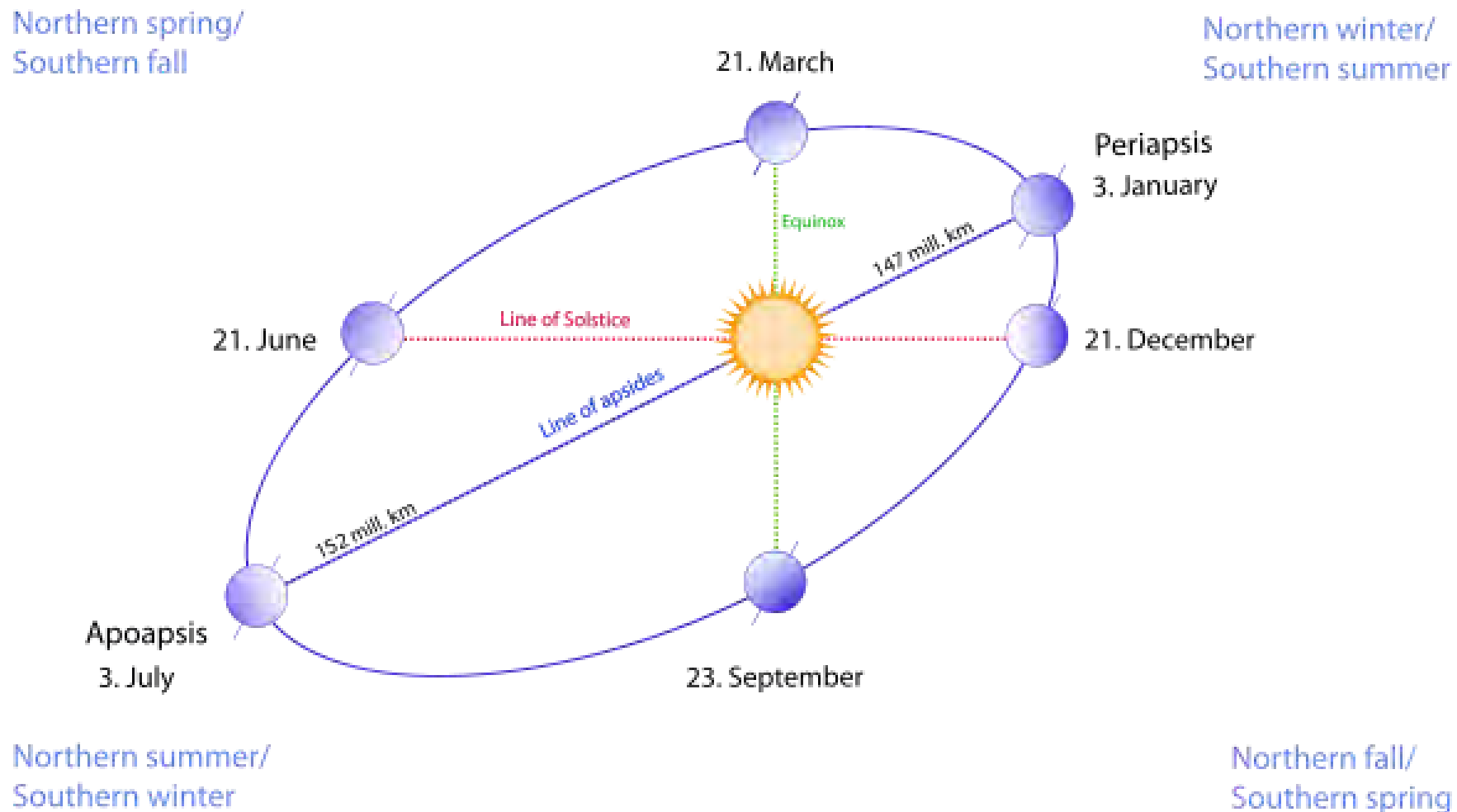
## Eixo de “precessão”?



[http://solarsystem.nasa.gov/multimedia/gallery/Solstice\\_Equinox-732X520.jpg](http://solarsystem.nasa.gov/multimedia/gallery/Solstice_Equinox-732X520.jpg)



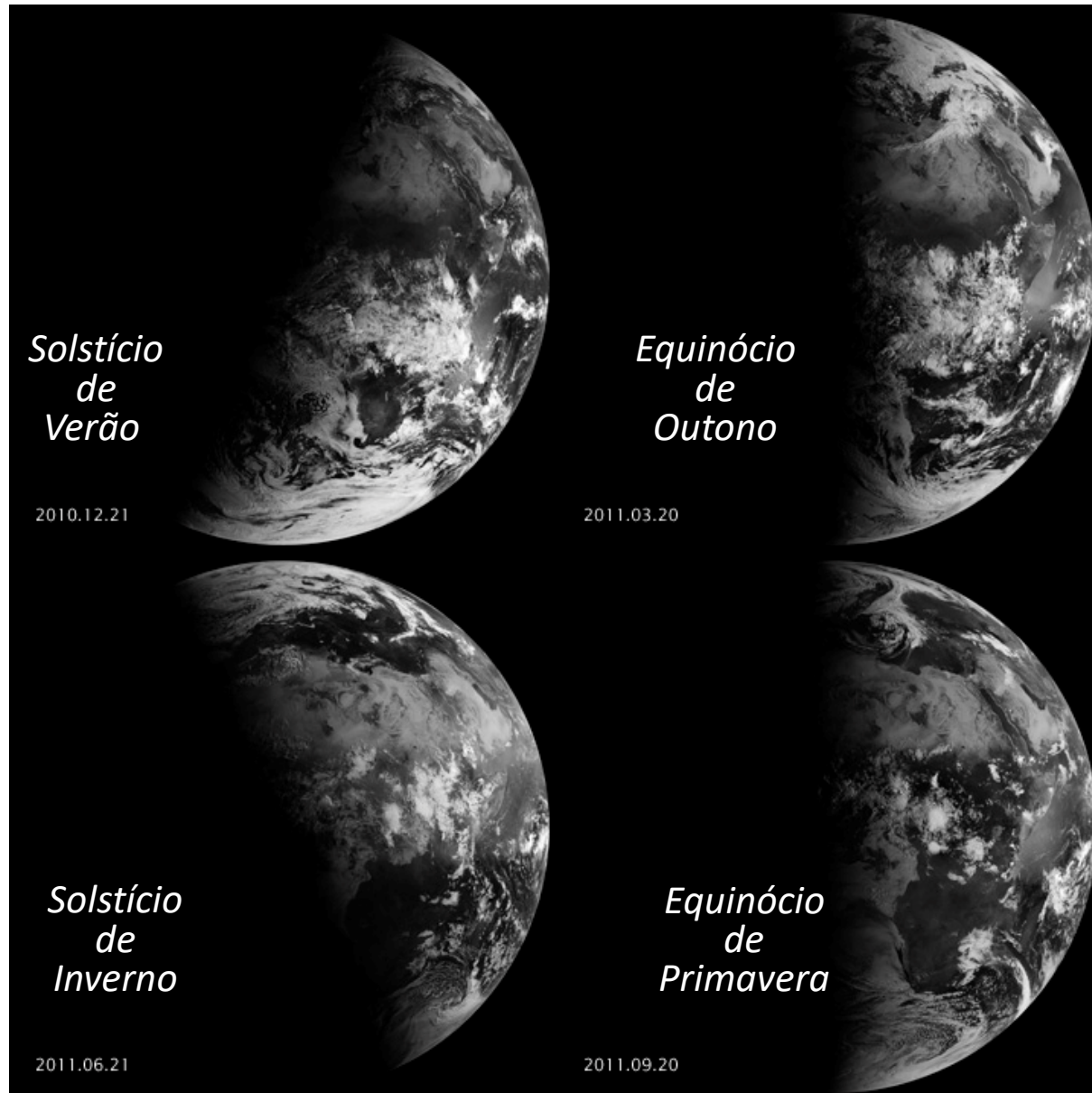
# Terra: Estações do Ano



[http://en.wikipedia.org/wiki/Earth%27s\\_orbit](http://en.wikipedia.org/wiki/Earth%27s_orbit)



# Terra: Estações do Ano



Imagens obtidas pelo Satélite Geoestacionário Meteosat-9 (usando o SEVIRI - Spinning Enhanced Visible and Infrared Imager), às 6:12 da manhã dos dias 21/12/2010, 20/03/2010, 21/06/2010 e 20/09/2010.

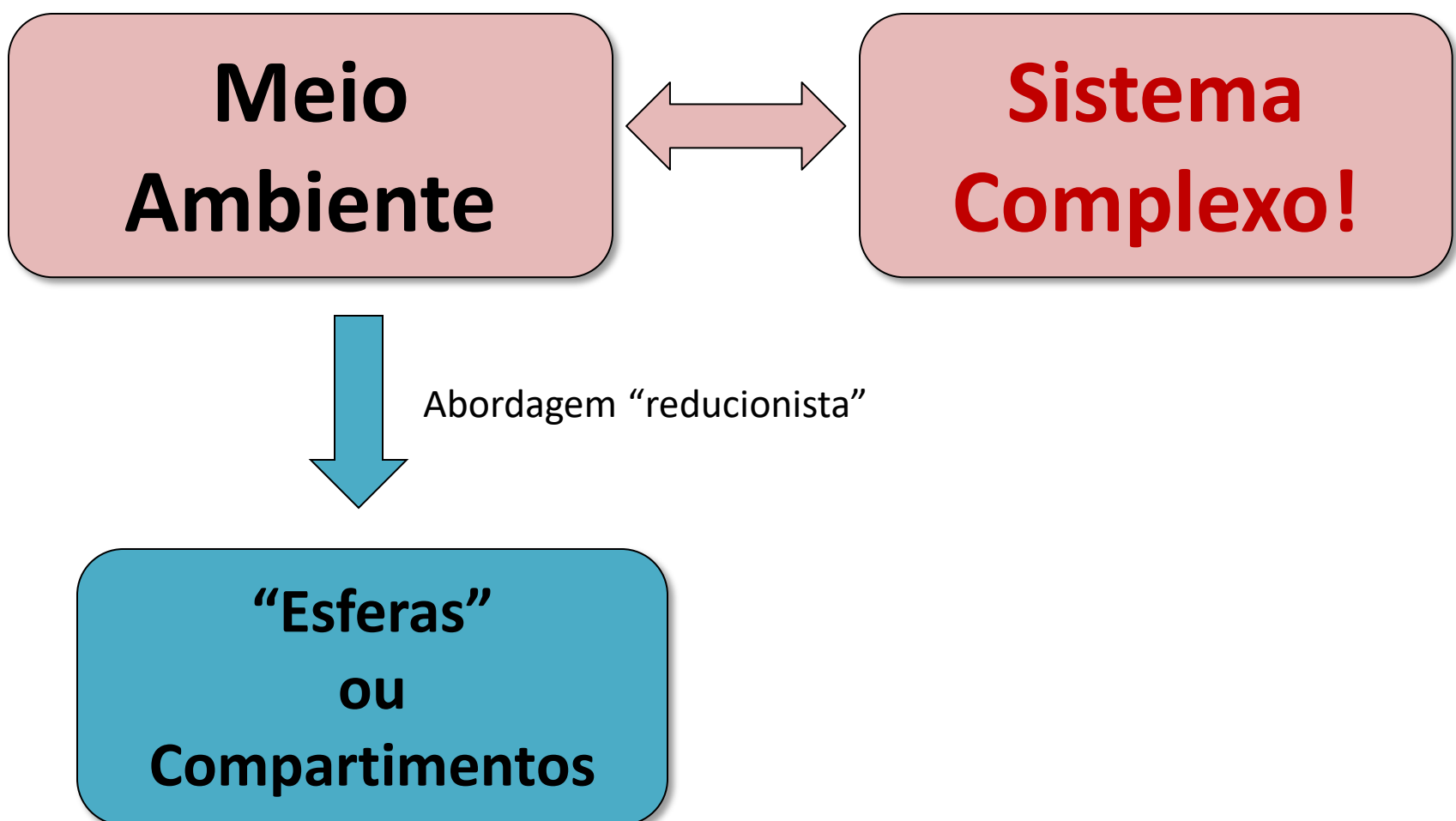
.



# O Meio Ambiente

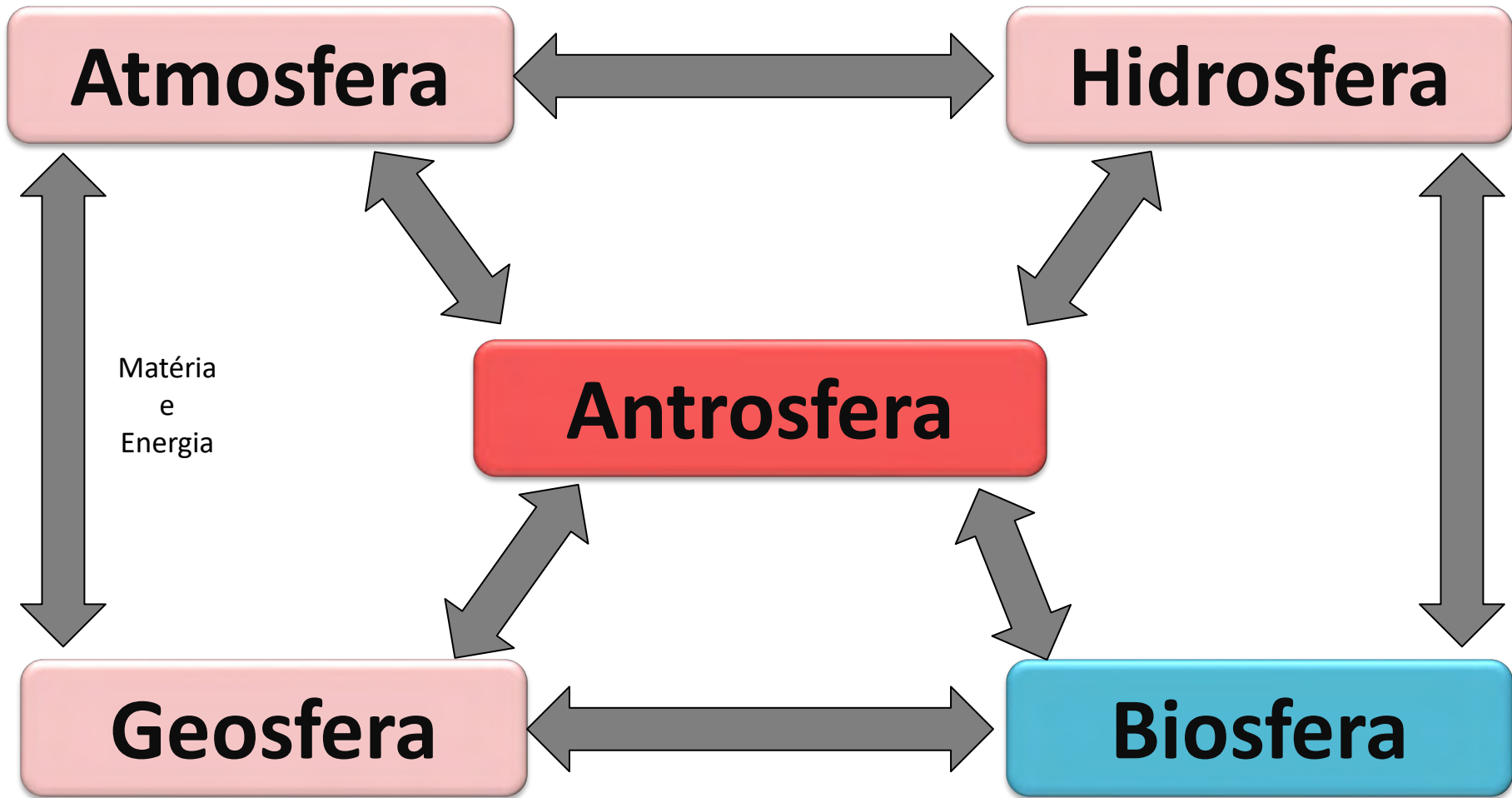


# O Meio Ambiente





# Compartimentos Ambientais





# A Atmosfera



# A Atmosfera



[http://www.allsciencesites.com/news/gallery/science/earth\\_atmosphere.jpg](http://www.allsciencesites.com/news/gallery/science/earth_atmosphere.jpg)

“Envelope” gasoso que circunda a Terra, composto de uma mistura de gases e líquidos/sólidos suspensos (aerossóis)



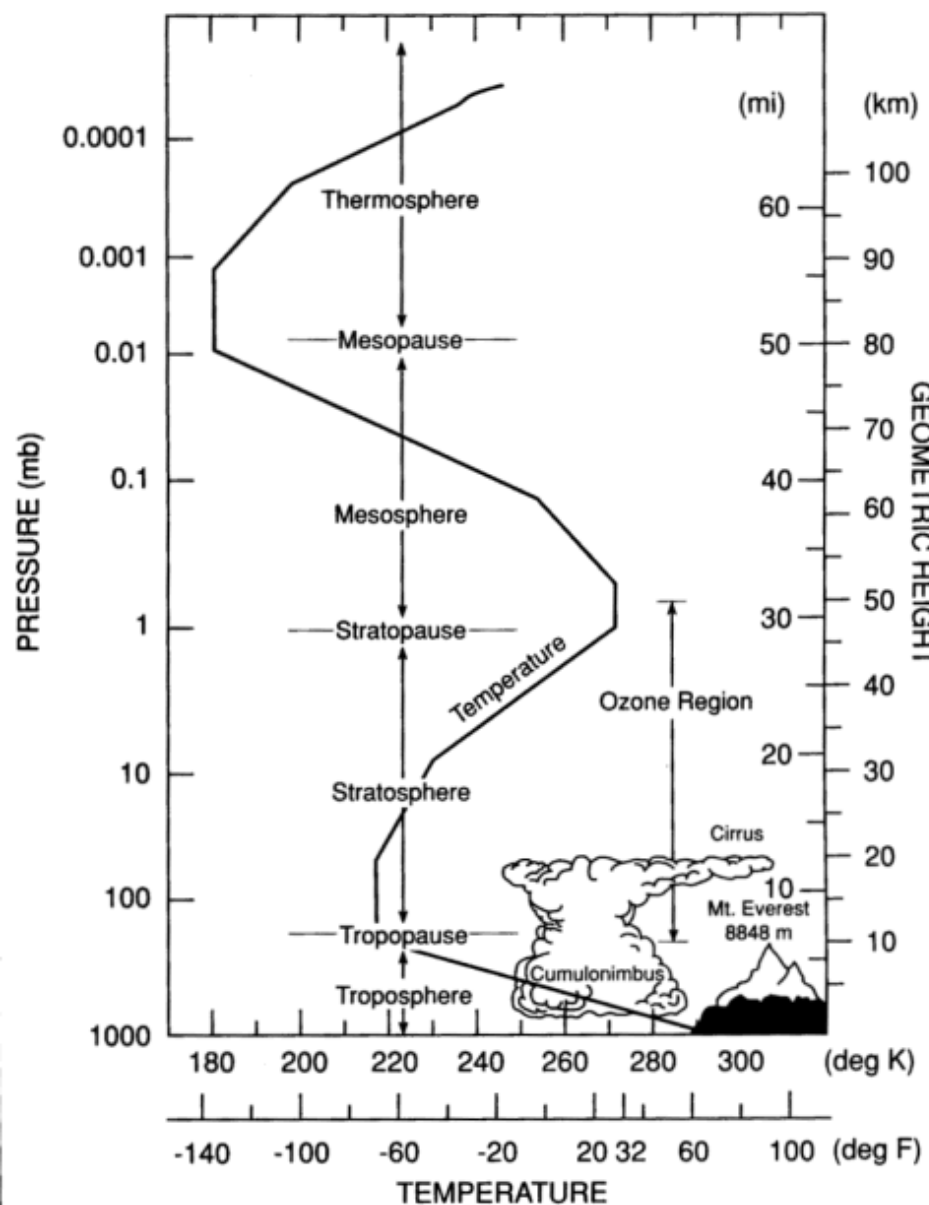
# Atmosfera: Composição

Constituinte	Massa Molar (g/mol)	Razão de Mistura (mol/mol)
Nitrogênio ( $N_2$ )	28,016	0,7808
Oxigênio ( $O_2$ )	32,00	0,2095
Argônio (Ar)	39,94	0,0093
Vapor de água ( $H_2O$ )	18,02	0 – 0,04
Dióxido de Carbono ( $CO_2$ )	44,01	$365 \times 10^{-6}$
Neônio (Ne)	20,18	$18 \times 10^{-6}$
Hélio (He)	4,00	$5,2 \times 10^{-6}$
Metano ( $CH_4$ )	16,04	$1,7 \times 10^{-6}$
Criptônio (Kr)	83,7	$1,1 \times 10^{-6}$
Hidrogênio ( $H_2$ )	2,02	$0,50 \times 10^{-6}$
Ozônio ( $O_3$ )	48,00	$0 - 12 \times 10^{-6}$
Óxido Nitroso ( $N_2O$ )	44,01	$0,32 \times 10^{-6}$

$$MM_{ar} = C_{N_2} MM_{N_2} + C_{O_2} MM_{O_2} + C_{Ar} MM_{Ar} = 28,96 \times 10^{-3} \text{ kg / mol}$$



# Atmosfera: Camadas



- Definidas pelo gradiente de temperatura;
- “pausas” = regiões intermediárias (“fronteiras”)



# Hidrosfera e Geosfera



# A Hidrosfera e a Geosfera (ou Litosfera)

Rio Amazonas (confluência dos Rios Negro e Solimões)



<https://earthobservatory.nasa.gov/IOTD//view.php?id=5254>

**Hidrosfera:** toda a água encontrada na, sob ou sobre a superfície da Terra.

**Geosfera/Litosfera:** crosta e porção "sólida" do Manto Superior da Terra



# A Hidrosfera e a Geosfera (ou Litosfera)

Delta do Rio Amarelo (China) ao longo do tempo



[https://earthobservatory.nasa.gov/Features/WorldOfChange/yellow\\_river.php?all=y](https://earthobservatory.nasa.gov/Features/WorldOfChange/yellow_river.php?all=y)



# Água: Distribuição na Terra

Fonte	Volume de Água (Km <sup>3</sup> )	Porcentagem da água fresca	Porcentagem da água total
Oceanos, Mares e Baías	1,338,000,000	--	96.5
Neve de montanhas, glaciares e neve permanente	24,064,000	68.7	1.74
Água Subterrânea	23,400,000	--	1.69
Doce	10,530,000	30.1	0.76
Salgada	12,870,000	--	0.93
Umidade do solo	16,500	0.05	0.001
Solo congelado e Permafrost	300,000	0.86	0.022
Lagos	176,400	--	0.013
Doces	91,000	0.26	0.007
Salgados	85,400	--	0.006
Atmosfera	12,900	0.04	0.001
Água de pântanos	11,470	0.03	0.0008
Rios	2,120	0.006	0.0002
Água biológica	1,120	0.003	0.0001

Fonte: Igor Shiklomanov's chapter "World fresh water resources" in Peter H. Gleick (editor), 1993, Water in Crisis: A Guide to the World's Fresh Water Resources (Oxford University Press, New York).

Porcentagens arredondadas, por isso não somam 100%



# Água: Distribuição na Terra

Fonte	Volume de Água (Km <sup>3</sup> )	Porcentagem da água fresca	Porcentagem da água total
Oceanos, Mares e Baías	1,338,000,000	--	96.5
Neve de montanhas, glaciares e neve permanente	24,064,000	68.7	1.74
Água Subterrânea	23,400,000	--	
Doce	10,530,000	30.1	0.76
Salgada	12,870,000	--	0.93
Umidade do solo	16,500	0.05	0.001
Solo congelado e Permafrost	300,000	0.86	0.022
Lagos	176,400	--	
Doces	91,000	0.26	0.007
Salgados	85,400	--	0.006
Atmosfera	12,900	0.04	0.001
Água de pântanos	11,470	0.03	0.0008
Rios	2,120	0.006	0.0002
Água biológica	1,120	0.003	0.0001

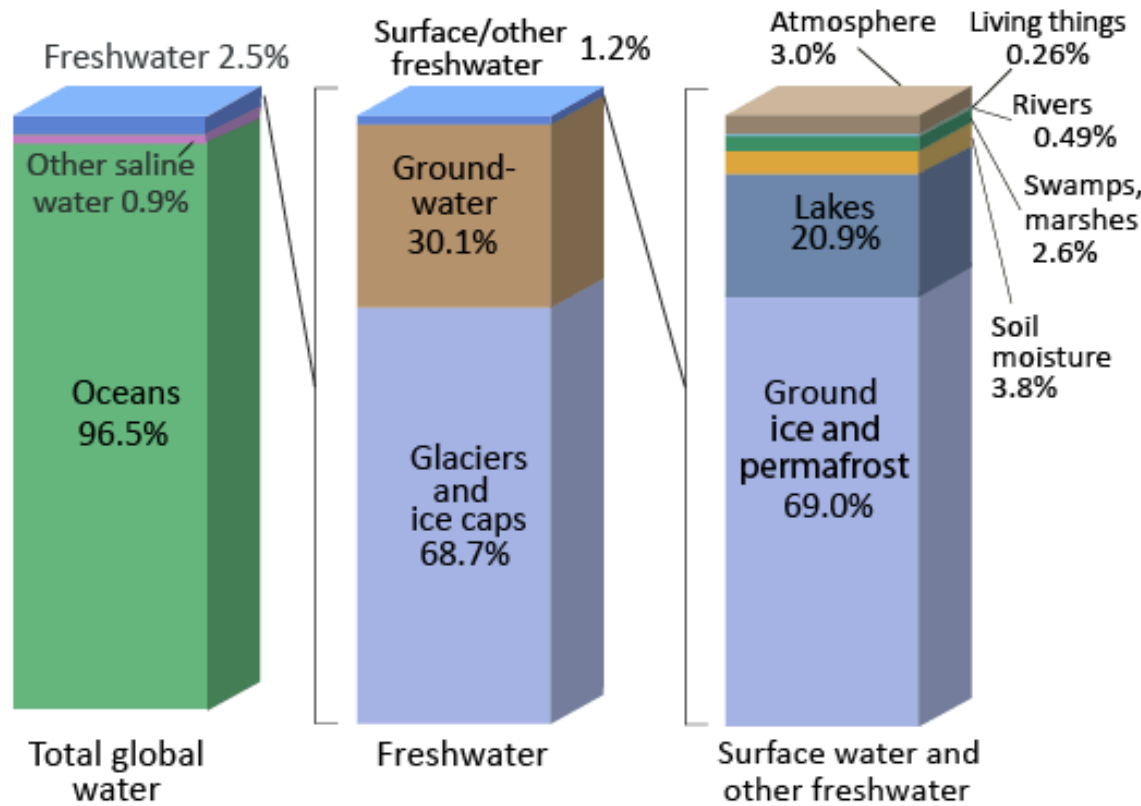
Fonte: Igor Shiklomanov's chapter "World fresh water resources" in Peter H. Gleick (editor), 1993, Water in Crisis: A Guide to the World's Fresh Water Resources (Oxford University Press, New York).

**Água salgada 97,5%**  
**Água doce 2,5%**



# Água: Distribuição na Terra

## Where is Earth's Water?



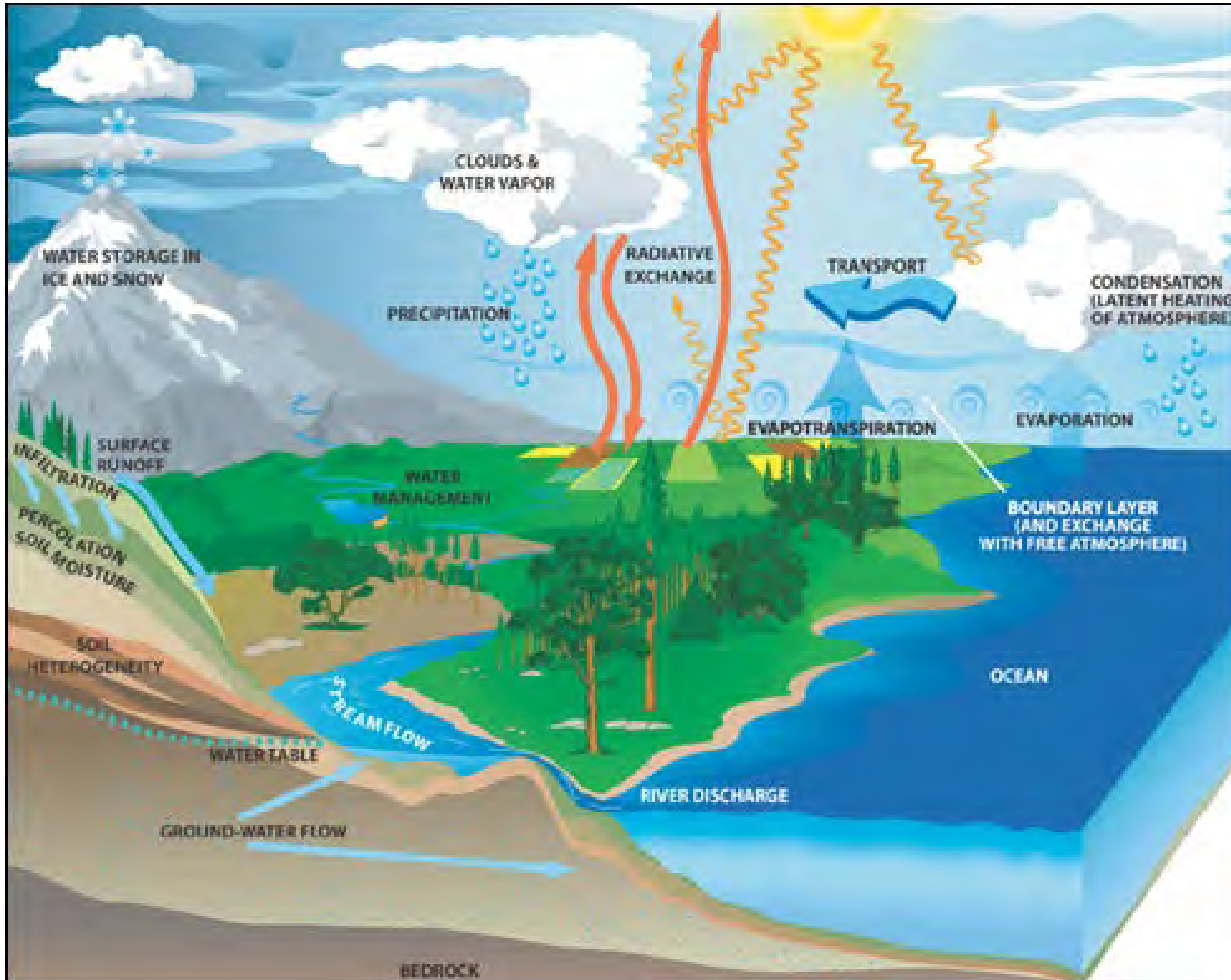
Source: Igor Shiklomanov's chapter "World fresh water resources" in Peter H. Gleick (editor), 1993, Water in Crisis: A Guide to the World's Fresh Water Resources.

NOTE: Numbers are rounded, so percent summations may not add to 100.

(porcentagens arredondadas, por isso não somam 100%)



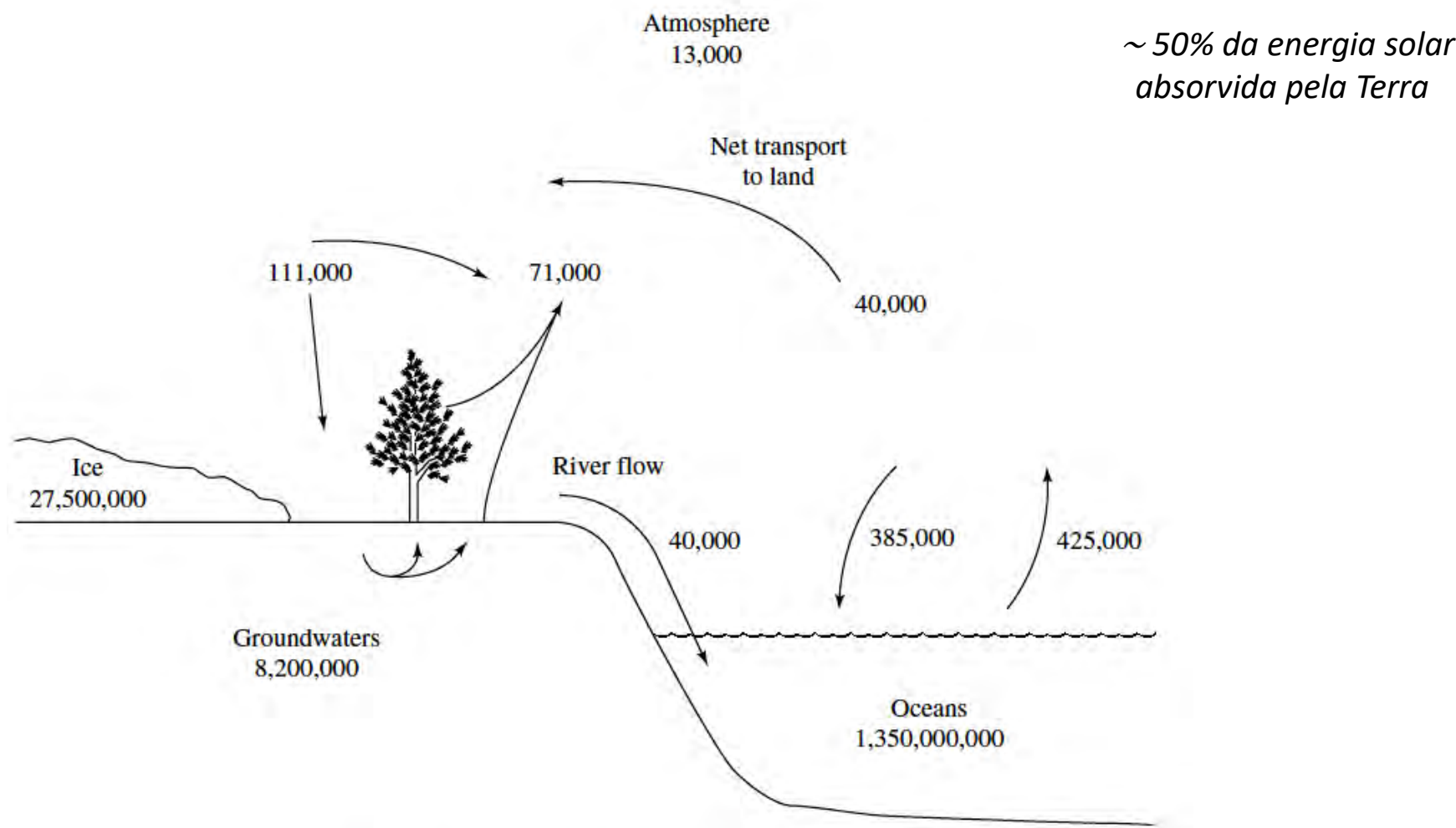
# Ciclo Hidrológico



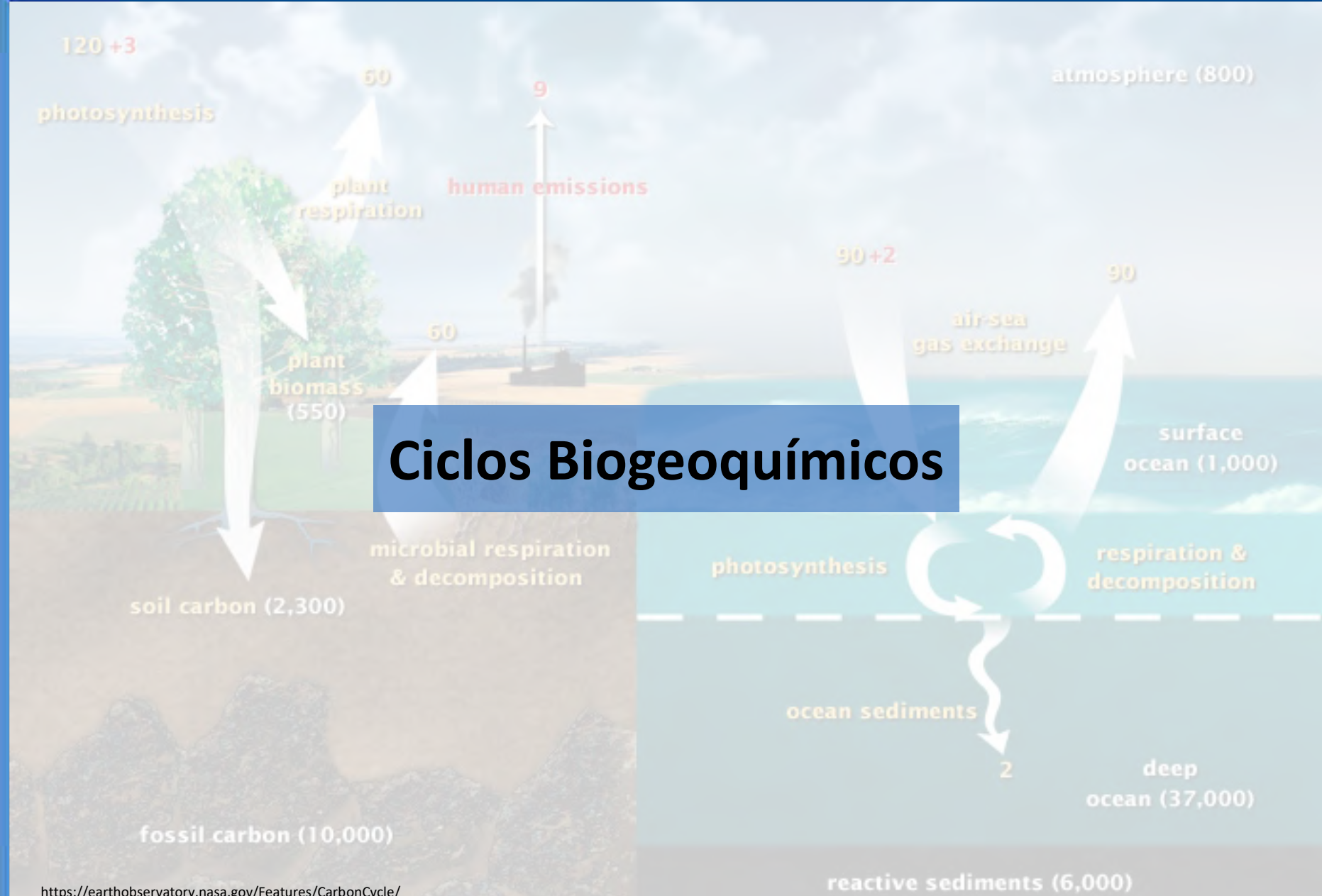
~50% da energia solar absorvida pela Terra

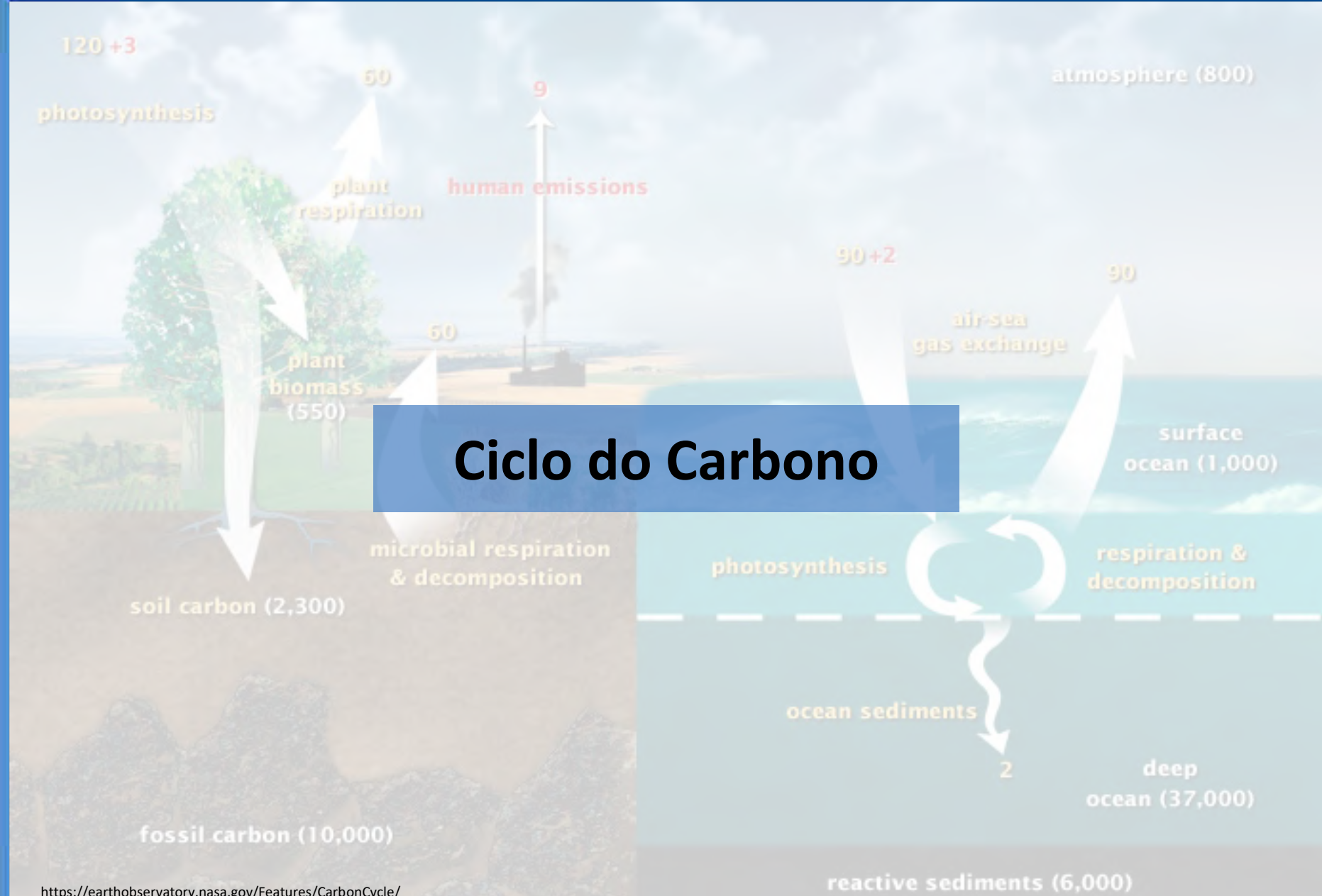


# Ciclo Hidrológico



**Figure 10.1** The global water cycle. The numbers are in km<sup>3</sup> for the water reservoirs, and km<sup>3</sup>/yr for the flows. Figure from “The Global Water Cycle” in *Biogeochemistry: An Analysis of Global Change* by William H. Schlesinger. Copyright © 1991 by Academic Press. Reproduced by permission of the publisher.







# Ciclo do Carbono

## Fluxo e estoques de carbono na Terra

Há dois "ciclos do carbono":

- **Ciclo Rápido** – troca "rápida" entre atmosfera, oceanos, camada superior do solo e
- **Ciclo Lento** – conversão em carbonatos (rochas), eventos geológicos (movimento de placas tectônicas, erupções vulcânicas, etc) – escala de milhares a milhões de anos



# Reservatórios de Carbono

**Table 1. Carbon pools in the major reservoirs on Earth.**

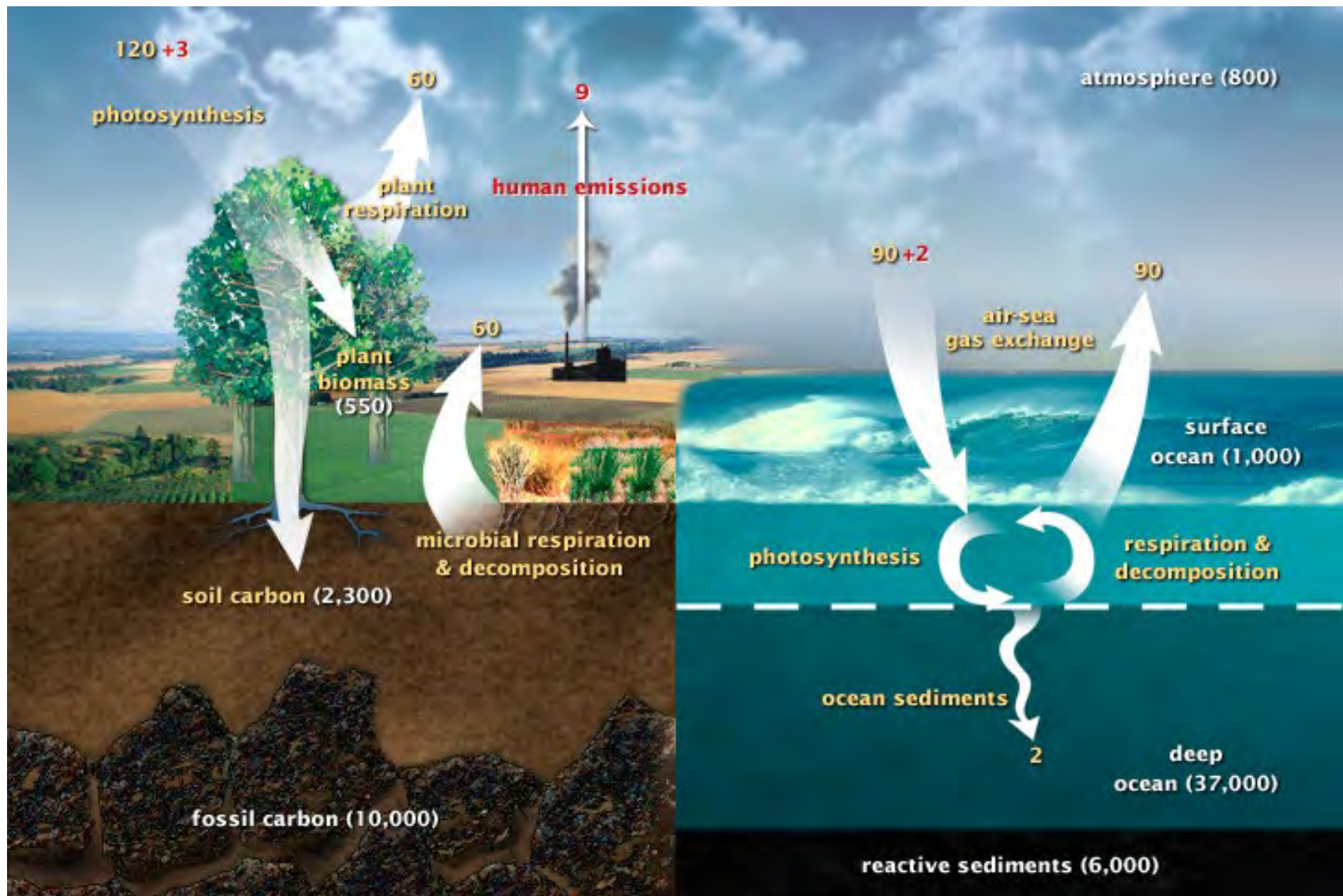
Pools	Quantity (Gt)
Atmosphere	720
Oceans	38,400
Total inorganic	37,400
Surface layer	670
Deep layer	36,730
Total organic	1,000
Lithosphere	
Sedimentary carbonates	>60,000,000
Kerogens	15,000,000
Terrestrial biosphere (total)	2,000
Living biomass	600–1,000
Dead biomass	1,200
Aquatic biosphere	1–2
Fossil fuels	4,130
Coal	3,510
Oil	230
Gas	140
Other (peat)	250

The Global Carbon Cycle: A Test of Our Knowledge of Earth as a System  
BY P. FALKOWSKI, R. J. SCHOLES, E. BOYLE, J. CANADELL, D. CANFIELD, J. ELSER, N. GRUBER, K. HIBBARD, P. HÖGBERG, S. LINDER, F. T. MACKENZIE, B. MOORE III, T. PEDERSEN, Y. ROSENTHAL, S. SEITZINGER, V. SMETACEK, W. STEFFEN  
*SCIENCE* 13 OCT 2000 : 291-296

<http://science.sciencemag.org/content/290/5490/291>



# Ciclo do Carbono



Amarelo = fluxos naturais

Vermelho = Contribuições humanas

Branco = Carbono estocado

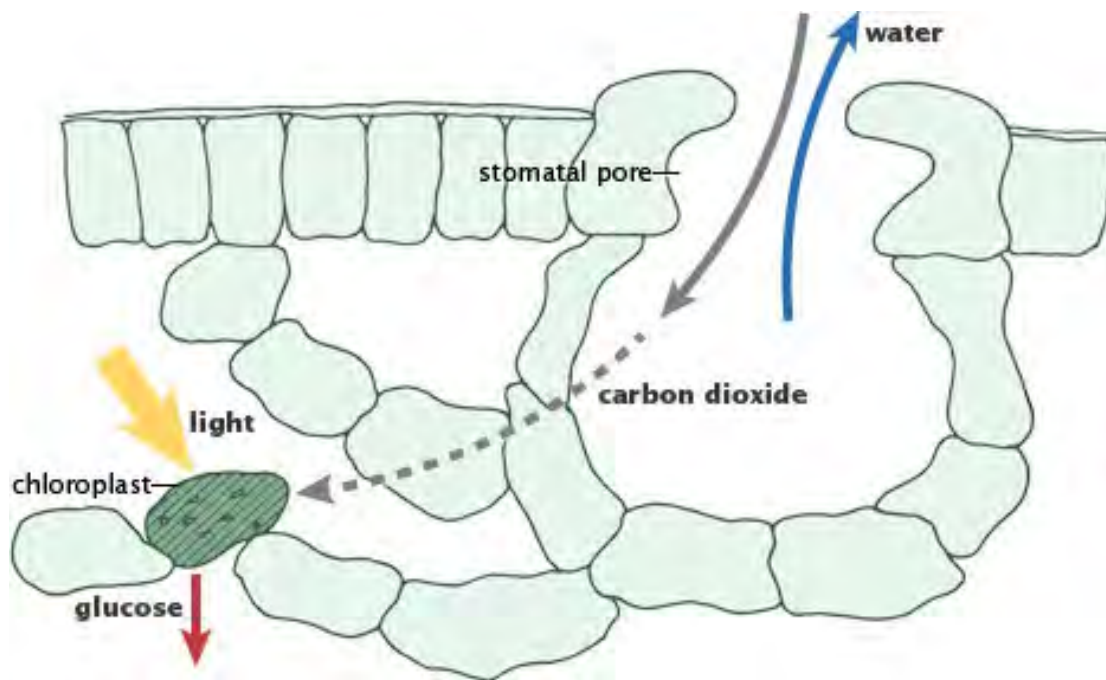
Fluxos = GTon C/Ano

Estoques = GTon

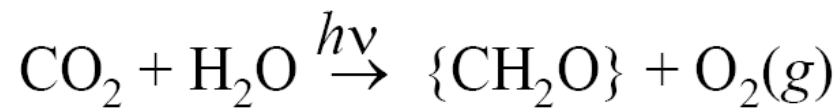
<https://earthobservatory.nasa.gov/Features/CarbonCycle/>



# Fotossíntese



<https://earthobservatory.nasa.gov/Features/CarbonCycle/>



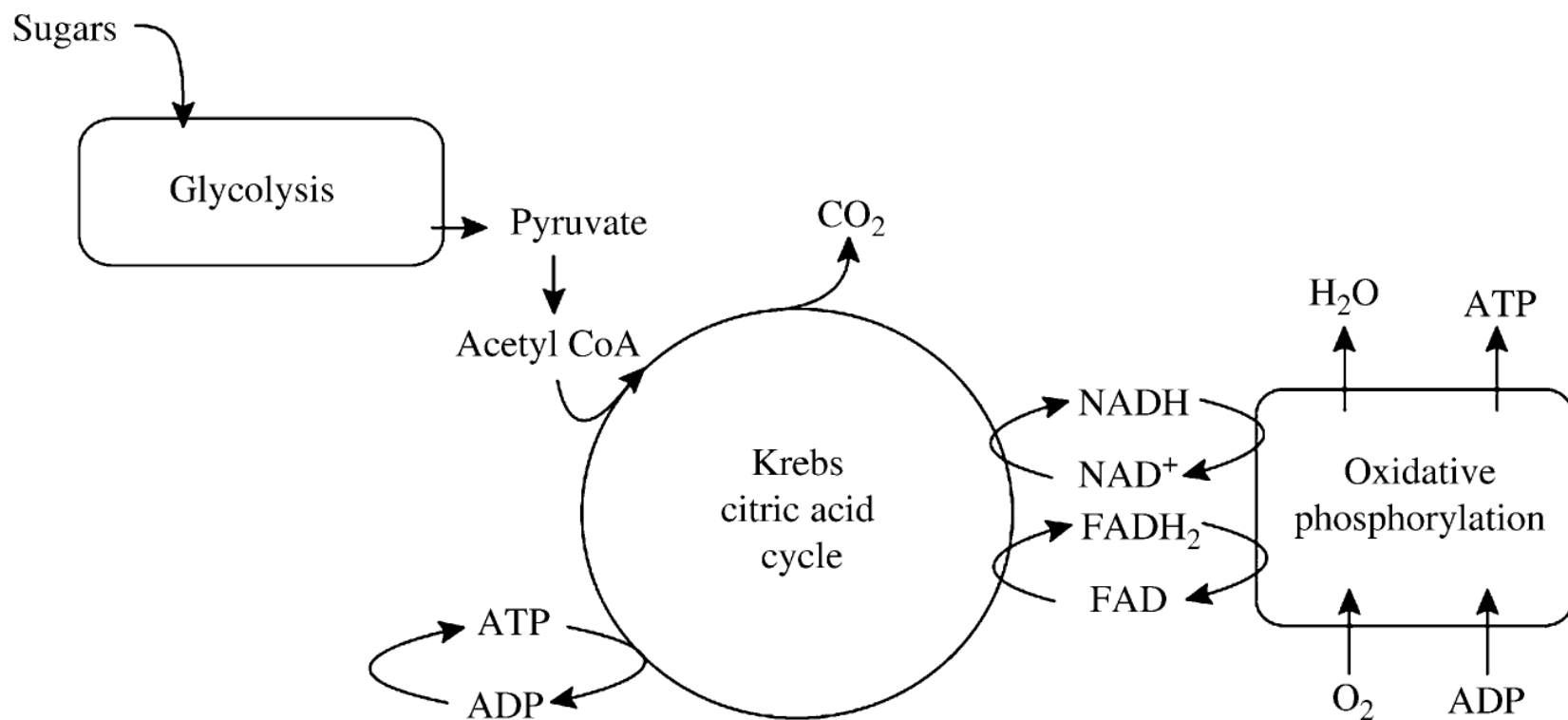
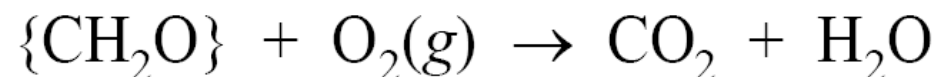
*Eficiência ao redor de 3 a 6%*

Renewable biological systems for alternative sustainable energy production (FAO Agricultural Services Bulletin - 128)  
<http://www.fao.org/docrep/w7241e/w7241e05.htm#1.2.1>  
photosynthetic efficiency



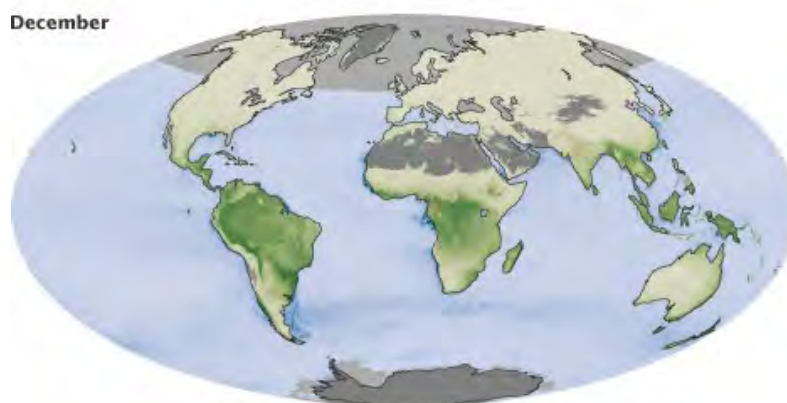
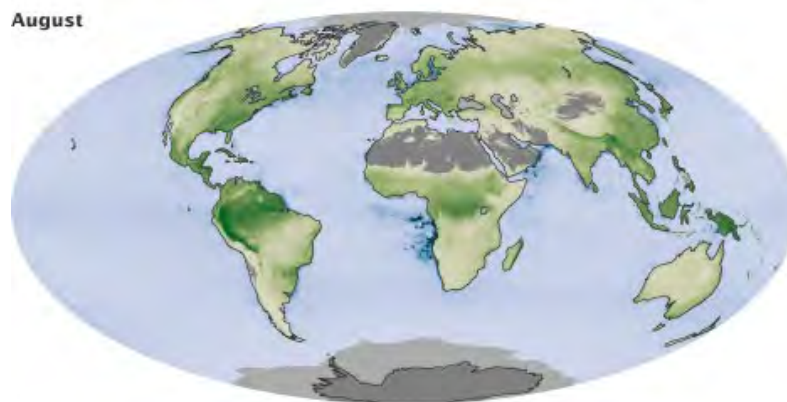
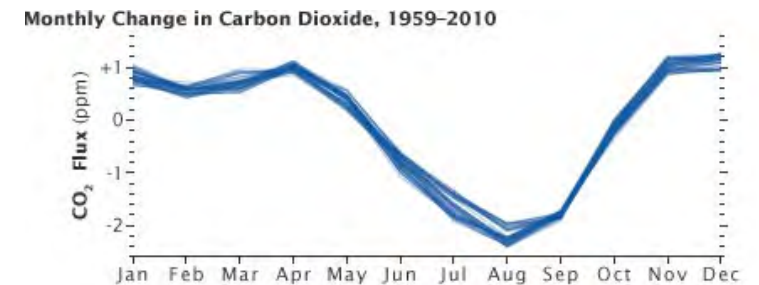
# Respiração

## Respiração: Aeróbica





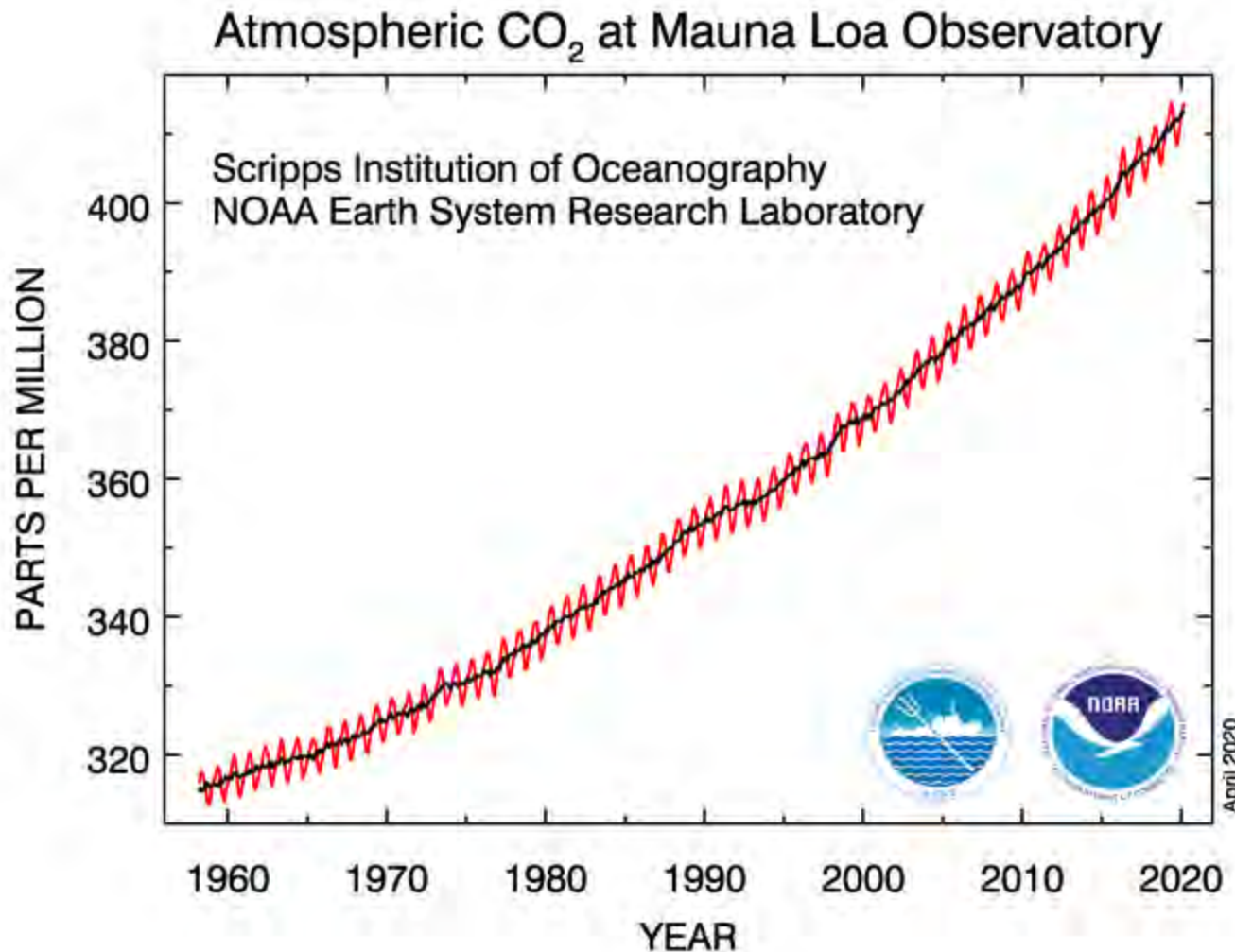
# Mudanças Mensais na [CO<sub>2</sub>]



[https://earthobservatory.nasa.gov/Features/CarbonCycle/images/co2\\_flux\\_npp\\_august\\_december\\_2010.jpg](https://earthobservatory.nasa.gov/Features/CarbonCycle/images/co2_flux_npp_august_december_2010.jpg)



# CO<sub>2</sub> medido em Mauna Loa



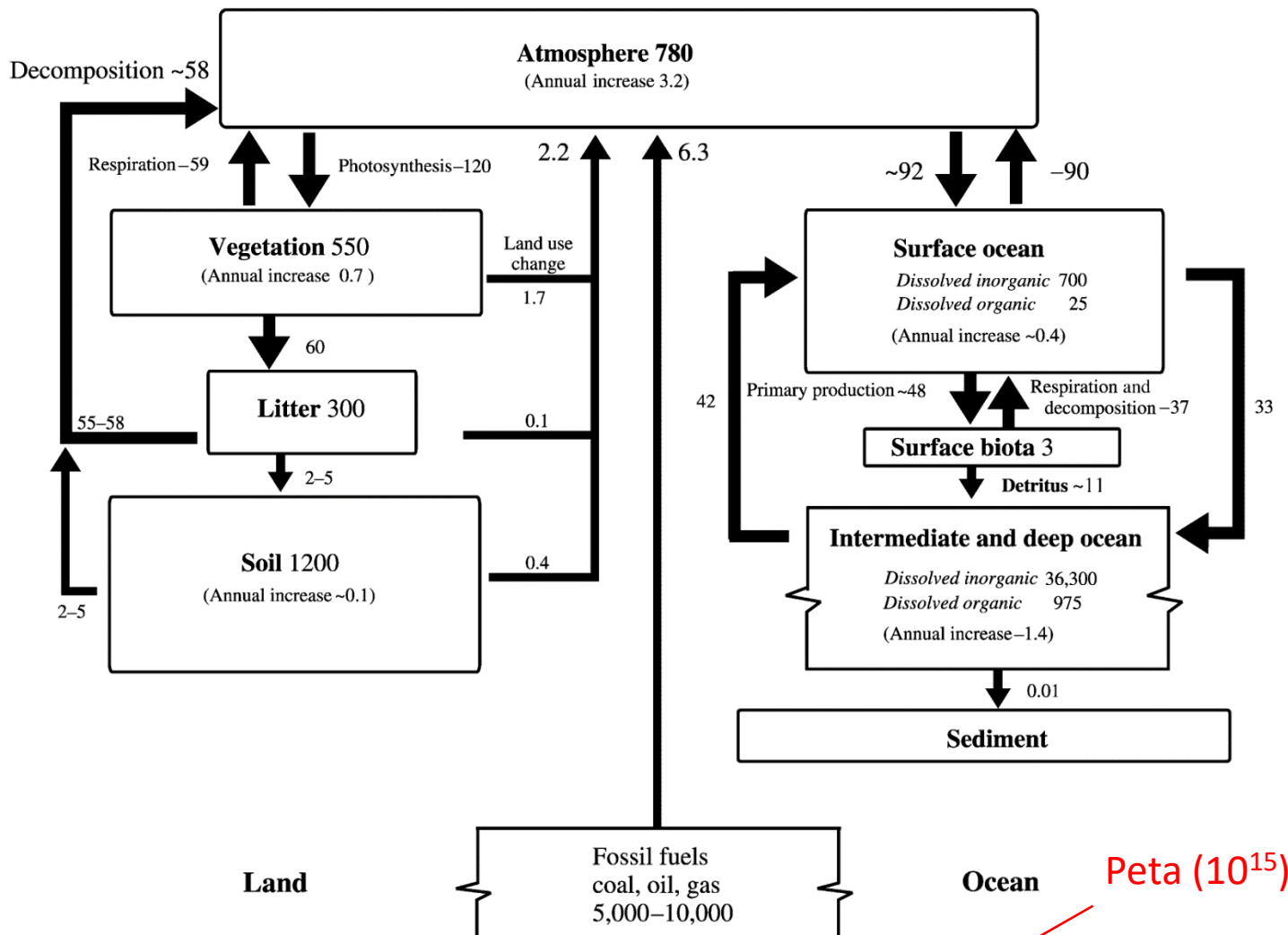
[https://www.esrl.noaa.gov/gmd/webdata/ccgg/trends/co2\\_data\\_mlo.png](https://www.esrl.noaa.gov/gmd/webdata/ccgg/trends/co2_data_mlo.png)



# Ciclo do Carbono

*Major Reservoirs and Natural Fluxes of Carbon*

475



**Figure 1** The contemporary global carbon cycle. Units are Pg C or Pg C yr<sup>-1</sup>.



# Ciclo do Carbono

**Table 1** Stocks and flows of carbon.

<i>Carbon stocks (Pg C)</i>	
Atmosphere	780
Land	2,000
Vegetation	500
Soil	1,500
Ocean	39,000
Surface	700
Deep	38,000
Fossil fuel reserves	10,000
<i>Annual flows (Pg C yr<sup>-1</sup>)</i>	
Atmosphere-oceans	90
Atmosphere-land	120
<i>Net annual exchanges (Pg C yr<sup>-1</sup>)</i>	
Fossil fuels	6
Land-use change	2
Atmospheric increase	3
Oceanic uptake	2
Other terrestrial uptake	3



# Ciclo do Carbono

**Table 2** Area, carbon in living biomass, and net primary productivity of major terrestrial biomes.

Biome	Area (10 <sup>9</sup> ha)		Global carbon stocks (Pg C)						Carbon stocks (Mg C ha <sup>-1</sup> )		NPP (Pg C yr <sup>-1</sup> )		
	WBGU	MRS	WGBU			MRS IGBP			WBGU	MRS IGBP	Ajтай	MRS	
			Plants	Soil	Total	Plants	Soil	Total			Plants	Soil	
Tropical forests	17.6	17.5	212	216	428	340	214	553	120	123	194	122	13.7 21.9
Temperate forests	1.04	1.04	59	100	159	139	153	292	57	96	134	147	6.5 8.1
Boreal forests	1.37	1.37	88	471	559	57	338	395	64	344	42	247	3.2 2.6
Tropical savannas and grasslands	2.25	2.76	66	264	330	79	247	326	29	117	29	90	17.7 14.9
Temperate grasslands and shrublands	1.25	1.78	9	295	304	23	176	199	7	236	13	99	5.3 7.0
Deserts and semi-deserts	4.55	2.77	8	191	199	10	159	169	2	42	4	57	1.4 3.5
Tundra	0.95	0.56	6	121	127	2	115	117	6	127	4	206	1.0 0.5
Croplands	1.60	1.35	3	128	131	4	165	169	2	80	3	122	6.8 4.1
Wetlands	0.35		15	225	240				43	643			4.3
Total	15.12	14.93	466	2,011	2,477	654	1,567	2,221					59.9 62.6

Source: [Prentice et al. \(2001\)](#).

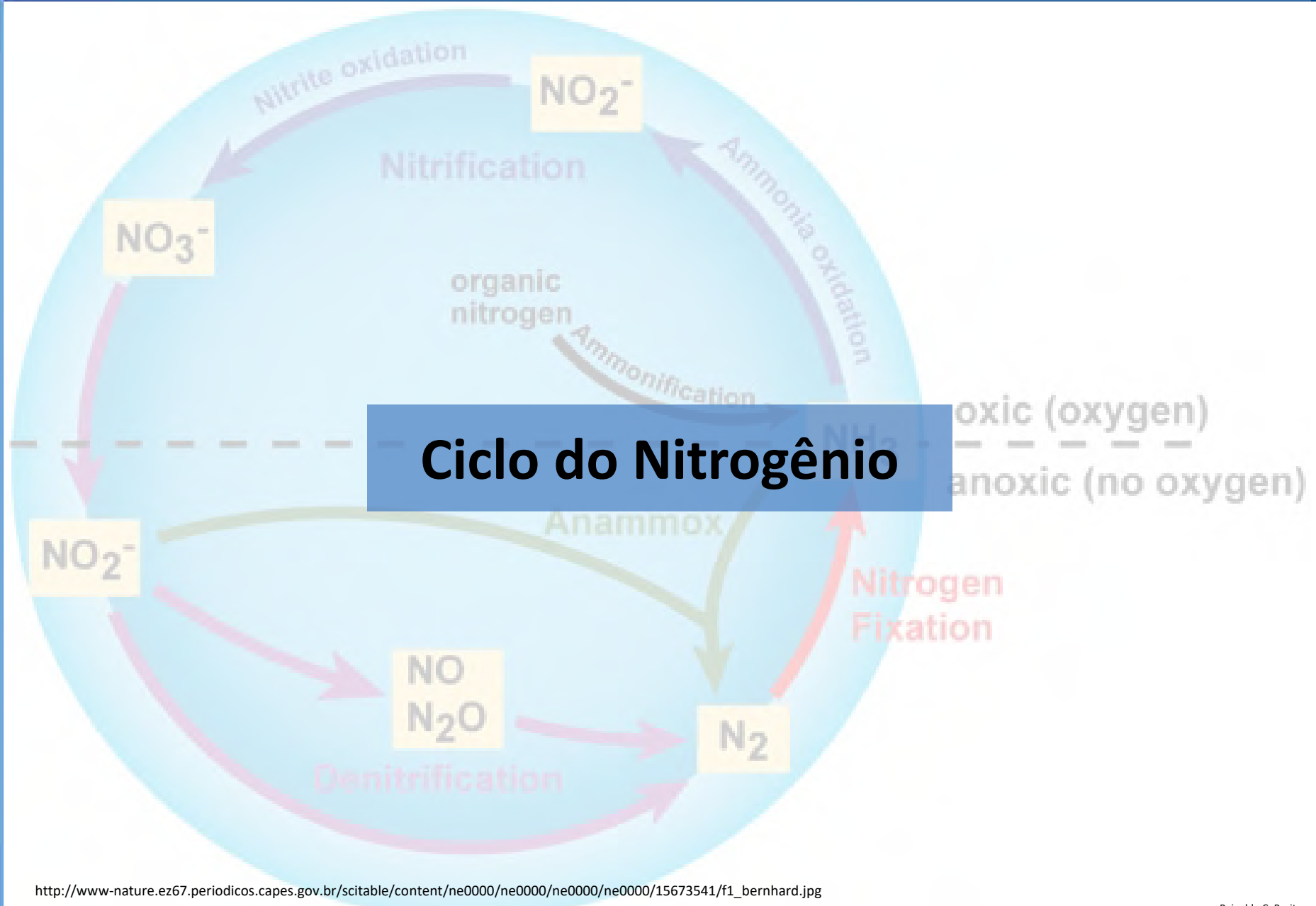


# Ciclo do Carbono

**Table 3** The distribution of 1,000 CO<sub>2</sub> molecules in the atmosphere–ocean.

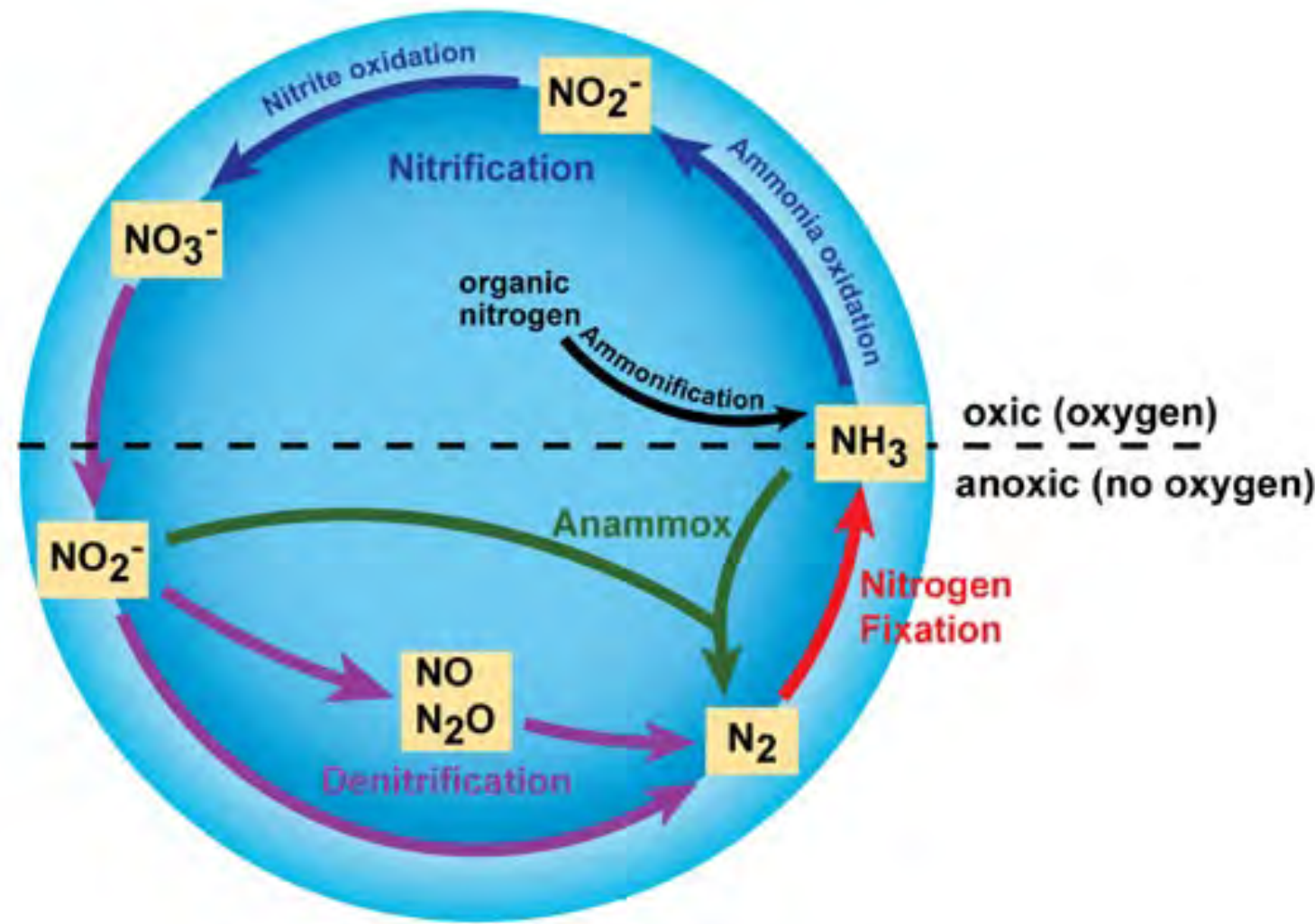
Atmosphere	15
Ocean	985
CO <sub>2</sub>	5
HCO <sub>3</sub> <sup>-</sup>	875
CO <sub>3</sub> <sup>2-</sup>	105
Total	1,000

Source: [Sarmiento \(1993\)](#).

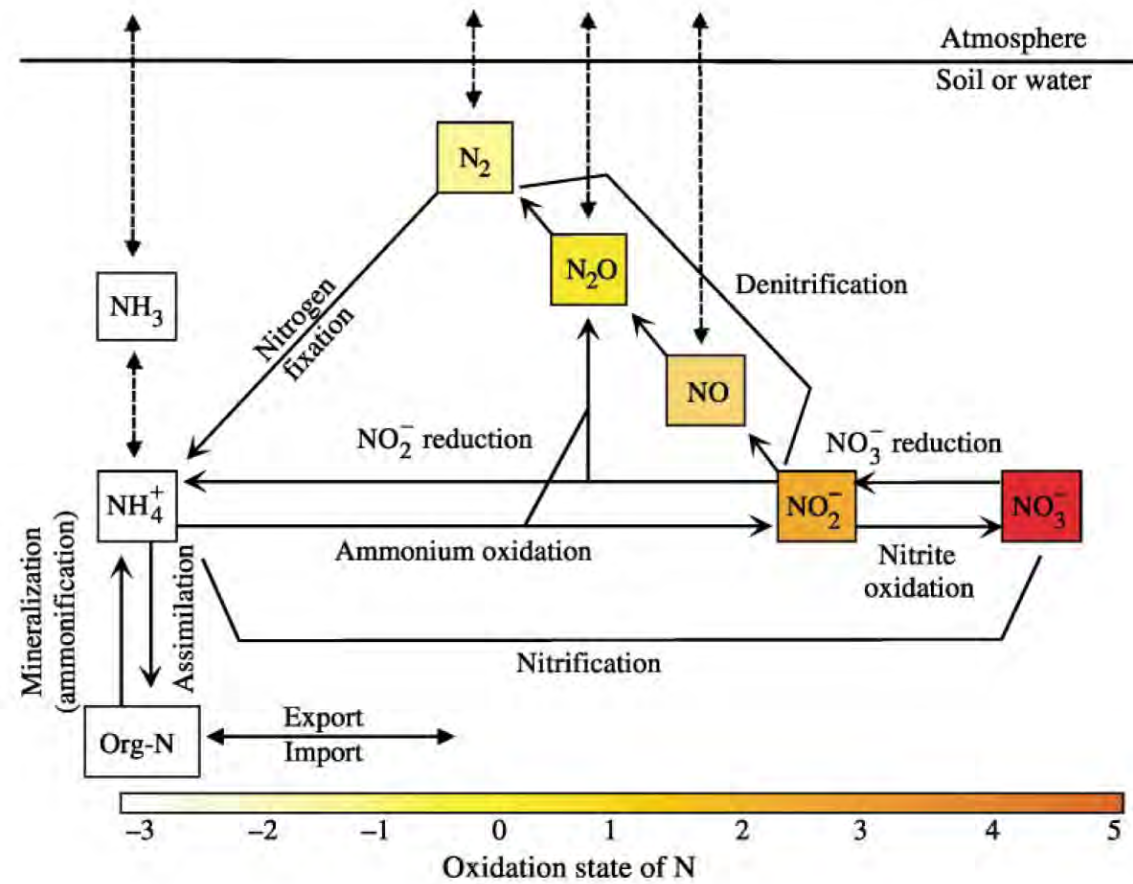




# Ciclo do Nitrogênio



# Ciclo do Nitrogênio



Redrawn from  
Karl

**Figure 1** The processes of nitrogen fixation, assimilation, nitrification, decomposition, ammonification, and denitrification (after [Karl, 2002](#)).



# Ciclo do Nitrogênio

## Fixação de Nitrogênio:

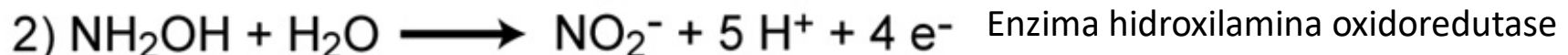
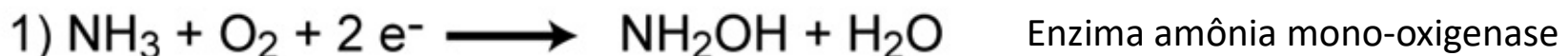


Gênero	Filogenetic Affiliation	Lifestyle
<i>Nostoc, Anabaena</i>	Bacteria (Cyanobacteria)	free-living, aerobic, phototrophic
<i>Pseudomonas, Azotobacter, Methylomonas</i>	Bacteria	free-living, aerobic, chemoorganotrophic
<i>Alcaligenes, Thiomicrospira</i>	Bacteria	free-living, aerobic, chemolithotrophic
<i>Methanosaeta, Methanococcus</i>	Archaea	free-living, anaerobic, chemolithotrophic
<i>Chromatium, Chlorobium</i>	Bacteria	free-living, anaerobic, phototrophic
<i>Desulfovibrio, Clostridium</i>	Bacteria	free-living, anaerobic, chemoorganotrophic
<i>Rhizobium, Frankia</i>	Bacteria	symbiotic, aerobic, chemoorganotrophic

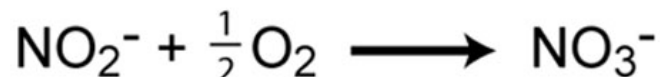


# Ciclo do Nitrogênio

**Nitrificação** (oxidação aeróbia da amônia por bactérias gerando nitrito e nitrato)



*Bactérias dos gêneros Nitrosomonas, Nitrosospira, e Nitrosococcus*



*Bactérias dos gêneros Nitrospira, Nitrobacter, Nitrococcus, and Nitrospina*



# Ciclo do Nitrogênio

**Anamox** (*oxidação anaeróbia da amônia*)  
“perda” de nitrogênio em ambientes aquáticos



Bactérias do filo Planctomycetes



# Ciclo do Nitrogênio

**Desnitrificação** (*nitrato é convertido em nitrogênio gasoso, passando por intermediários*) – processo anaeróbio



Bactérias dos gêneros *Bacillus*, *Paracoccus*, and *Pseudomonas*  
Necessitam de C orgânico também!



# Ciclo do Nitrogênio

**Amonificação** (*nitrogênio orgânico é convertido em amônia*)



# Ciclo do Nitrogênio

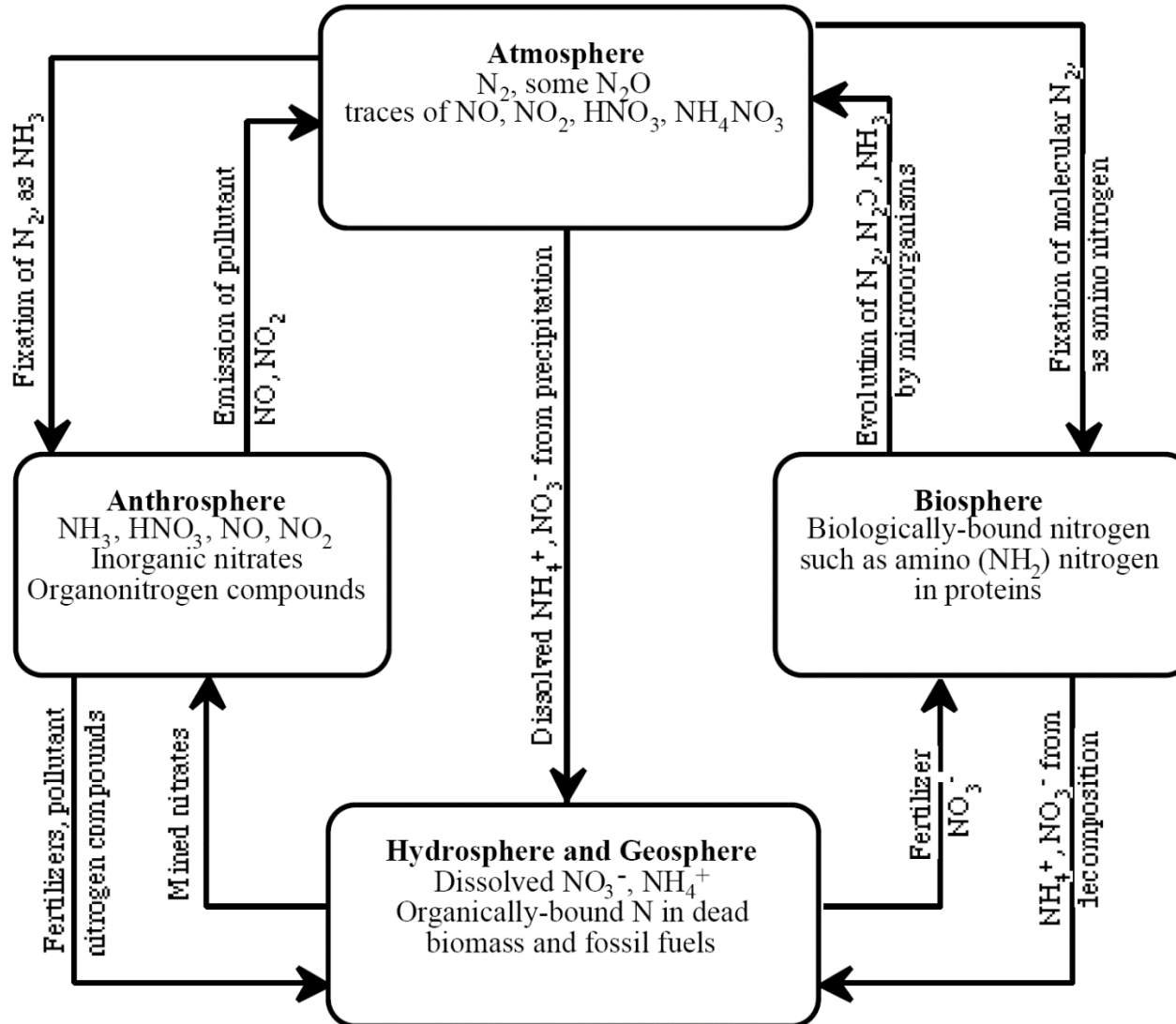


Figure 1.6. The nitrogen cycle.



# Ciclo do Nitrogênio

**Table 2** N amounts in global reservoirs ( $\text{Tg N yr}^{-1}$ ).

<i>Reservoirs</i>	<i>Amount</i>	<i>Percentage of total</i>
Atmosphere, $\text{N}_2$	3,950,000,000	79.5
Sedimentary rocks	999,600,000	20.1
<i>Ocean</i>		
$\text{N}_2$	20,000,000	0.4
$\text{NO}_3^-$	570,000	0.0
Soil organics	190,000	0.0
Land biota	10,000	0.0
Marine biota	500	0.0

Tera ( $10^{12}$ )

Source: [Mackenzie \(1998\)](#) except ocean,  $\text{N}_2$  from [Schlesigner \(1997\)](#).



# Ciclo do Nitrogênio

**Table 4** Global creation and distribution rates of Nr (Tg N yr<sup>-1</sup>).

Reactive nitrogen	~1970 (Delwiche, 1970)	1970 (Svensson and Söderlund, 1976)	~1980 (Rosswall, 1983 <sup>a</sup> )	1990 (Galloway et al., 1995)	1990s (Schlesinger, 1997)
Natural Nr creation					
Terrestrial BNF	30	140	44–200	90–130	100
Marine BNF	10	30–130	1–130	40–200	15
Total lightning	7.6	?	0.5–30	3	5
Anthropogenic Nr creation					
Haber–Bosch	30	36	60	78	80
BNF, cultivation	14	89		43	40
Fossil-fuel combustion		19	10–20	21	24
Total terrestrial	74	194		255	249
Total global	174	274		375	264
Atmospheric emission					
NO <sub>x</sub> , fossil-fuel combustion		19	10–20	21	24
NO <sub>x</sub> , other		21–89	0–90	14.5	24
Terrestrial NH <sub>3</sub>		113–244	36–250	53	62
Marine NH <sub>3</sub>		0		13	13
Total emissions		253		102	123
Atmospheric deposition					
Terrestrial NO <sub>y</sub>		32–83	110–240	26.5	30 <sup>b</sup>
Marine NO <sub>y</sub>		11–33		12.3	14 <sup>b</sup>
Terrestrial NH <sub>x</sub>		91–186	40–116	52	40
Marine NH <sub>x</sub>		19–50		17	16 <sup>b</sup>
Organic N			10–100		
Total deposition		253	173–496	110	100
Riverine flux to coast	30	13–24	13–40	76 <sup>c</sup>	36 <sup>d</sup>
Denitrification <sup>e</sup>					
Continental N <sub>2</sub> O		16–69	16–69	9.1	11.7
Marine N <sub>2</sub> O		20–80	9–90	2	4
Continental N <sub>2</sub>	43	91–92	43–390	130–290	13–233
Marine N <sub>2</sub>	40	5–99	0–330	150–180	110
Total denitrification	83	236		386	249

<sup>a</sup> Deposition values for land plus ocean; NH<sub>3</sub> emissions include marine. <sup>b</sup> Wet. <sup>c</sup> Total. <sup>d</sup> Dissolved. <sup>e</sup> N<sub>2</sub>O emissions are included with the realization that N<sub>2</sub>O is also produced during nitrification.



# Ciclo do Nitrogênio

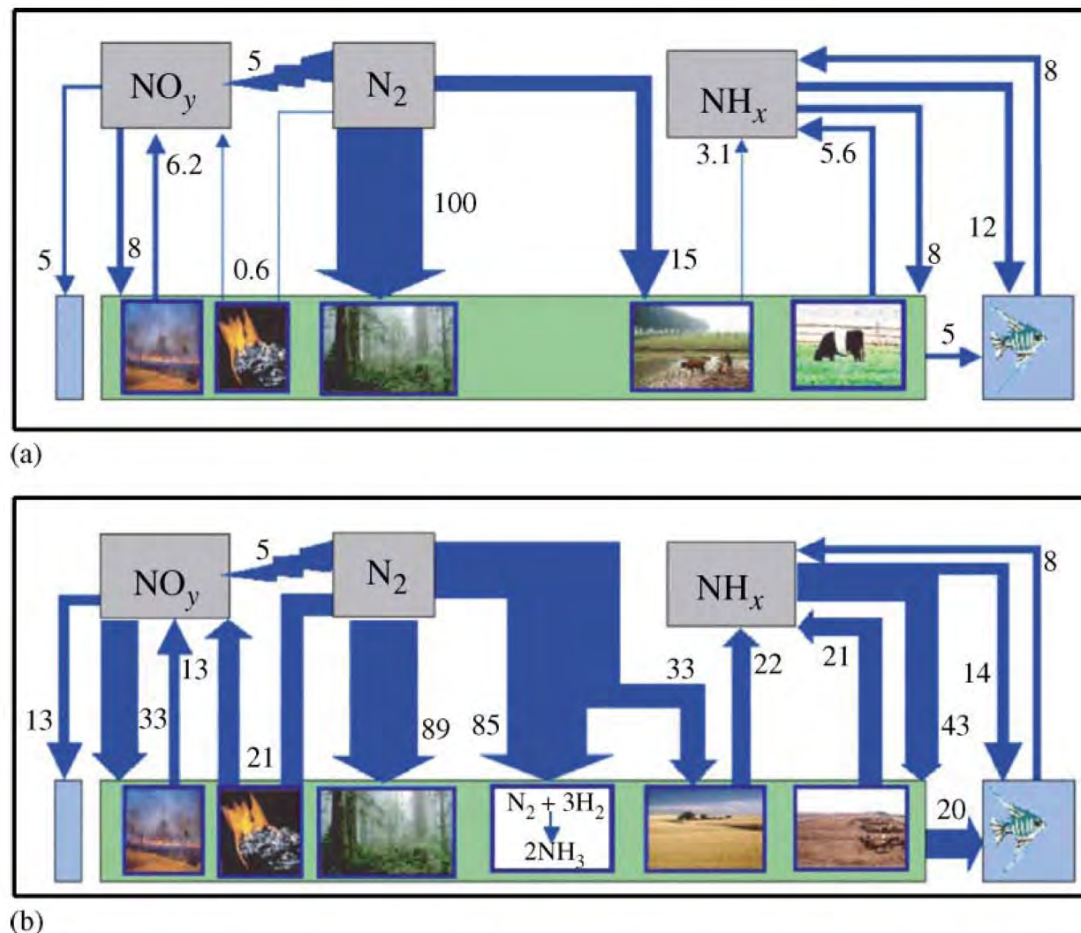
**Table 5** Global Nr creation and distribution in 1890 and 1990 (Tg N yr<sup>-1</sup>).

	1890	1990
Natural Nr creation		
BNF, terrestrial	100	89
BNF, marine	120	120
Total lightning	5	5
Anthropogenic Nr creation		
Haber–Bosch	0	85
BNF, cultivation	15	33
Fossil-fuel combustion	0.6	21
Nr creation		
Total terrestrial	121	233
Total global	241	353
Atmospheric emission		
NO <sub>x</sub> , fossil-fuel combustion	0.6	21
NO <sub>x</sub> , other	6.2	13.0
NH <sub>3</sub> , terrestrial	8.7	43.0
NH <sub>3</sub> , marine	8	8
Total emissions	24	85
Atmospheric deposition		
NO <sub>y</sub> , terrestrial	8	33
NO <sub>y</sub> , marine	5	13
NH <sub>y</sub> , terrestrial	8	43
NH <sub>y</sub> , marine	12	14
Total deposition	33	103
Riverine flux to coast (DIN)	5	20

Source: [Galloway and Cowling \(2002\)](#). N<sub>2</sub>O emissions are included here with the realization that N<sub>2</sub>O is also produced during nitrification; deposition values are for land plus ocean.



# Ciclo do Nitrogênio



**Figure 3** Global nitrogen budgets for: (a) 1890 and (b) 1990,  $\text{Tg N yr}^{-1}$ . Emissions to the (left)  $\text{NO}_y$  box from (first



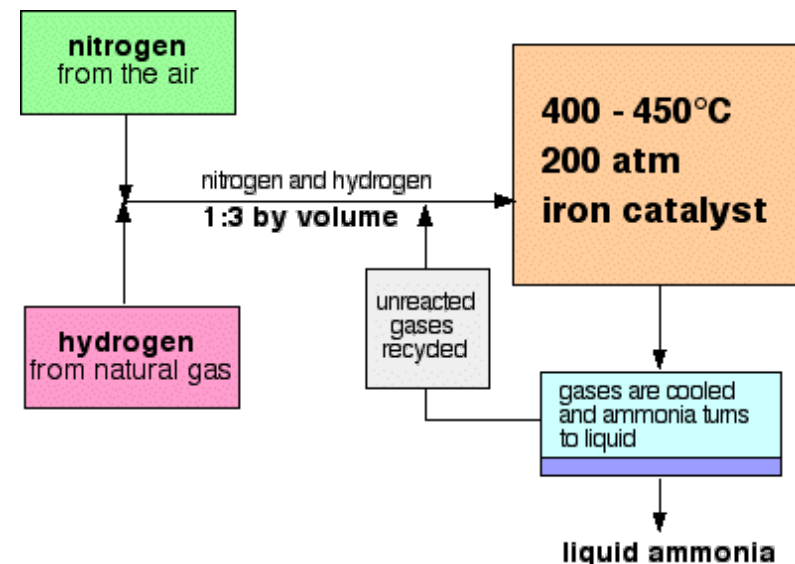
# Processo Haber-Bosch



Fritz Haber



Carl Bosch





# Óxidos de Nitrogênio na Combustão

**NO<sub>x</sub> (NO e NO<sub>2</sub> – maiores contribuições) e N<sub>2</sub>O (menor contribuição)**

Formação de NO<sub>x</sub> em processos de combustão:

- 1) N<sub>2</sub> do ar (**NO<sub>x</sub> térmico** e **NO<sub>x</sub> "imediato"** - prompt NO<sub>x</sub>)
- 2) Compostos com N presentes no combustível (NO<sub>x</sub> de combustível)

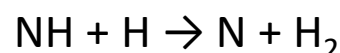
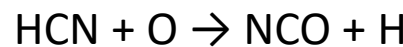


# Óxidos de Nitrogênio na Combustão

## NO<sub>x</sub> térmico (mecanismo de Zeld'ovich):



## NO<sub>x</sub> prompt (mecanismo de Fenimore):



# Óxidos de Nitrogênio na Combustão

## NO<sub>x</sub> de combustível

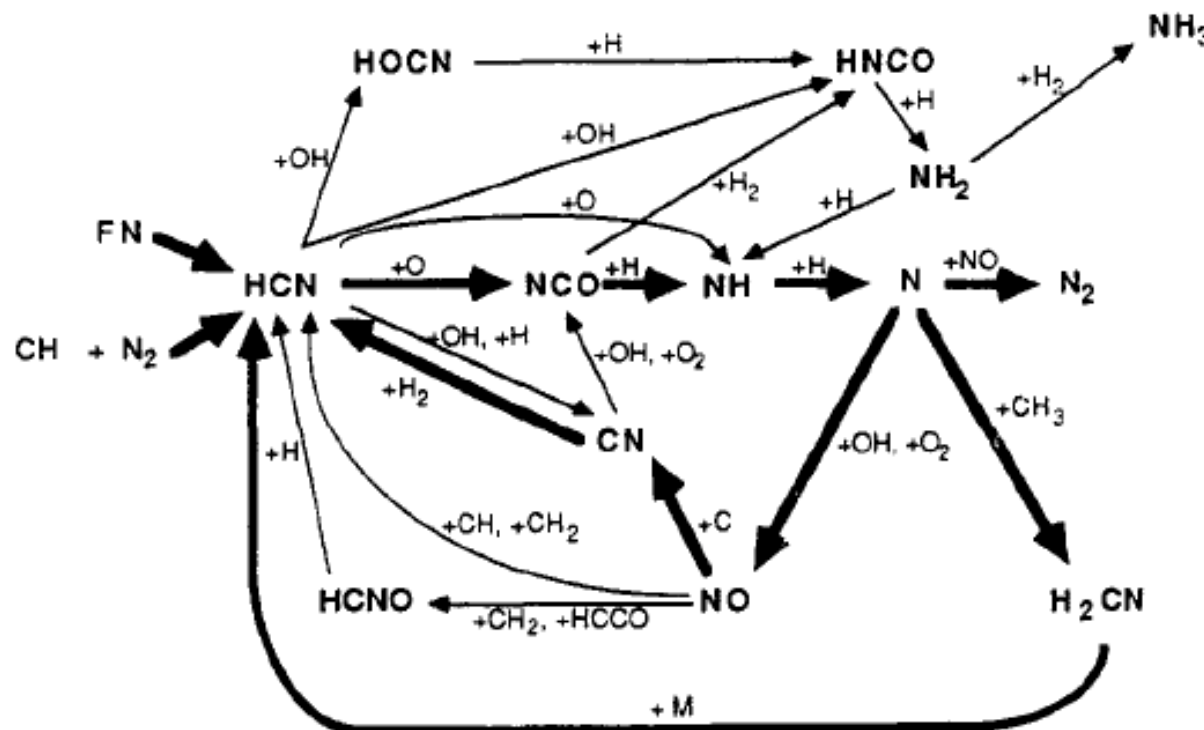
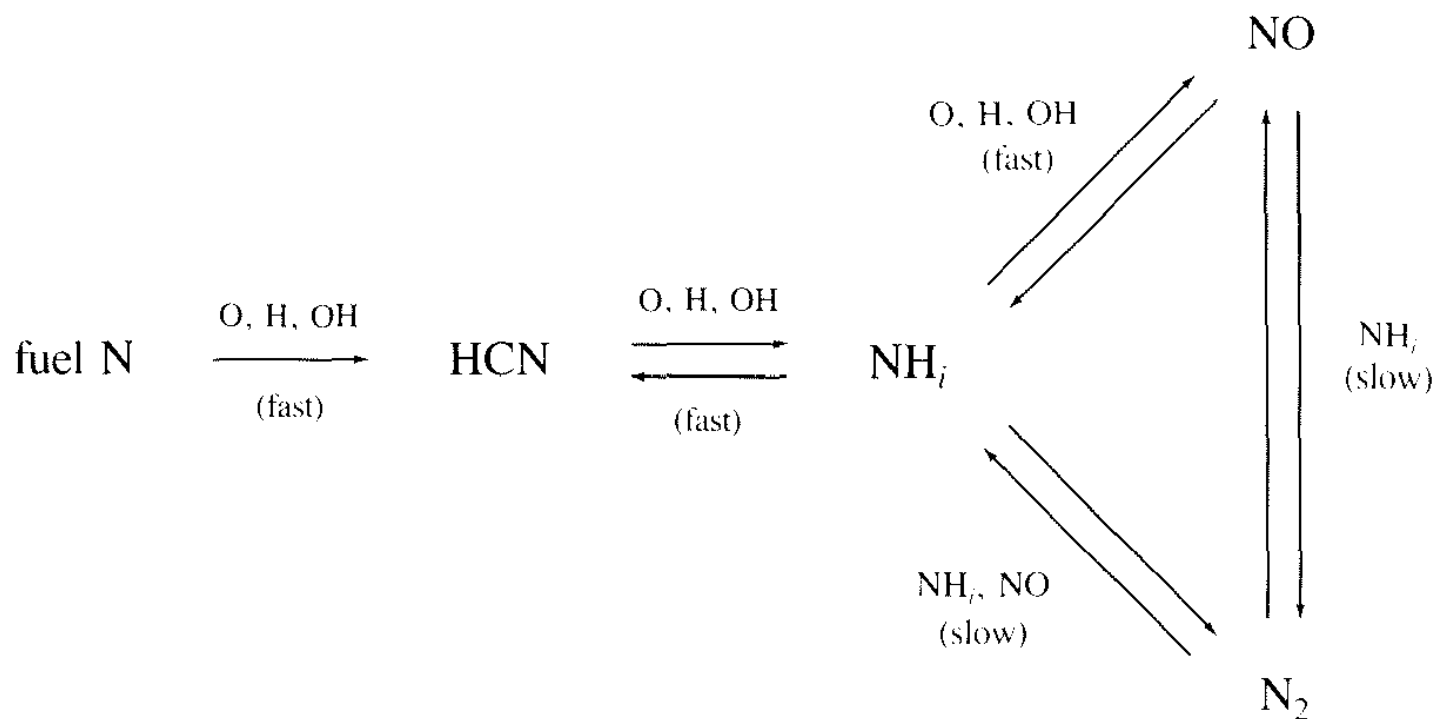


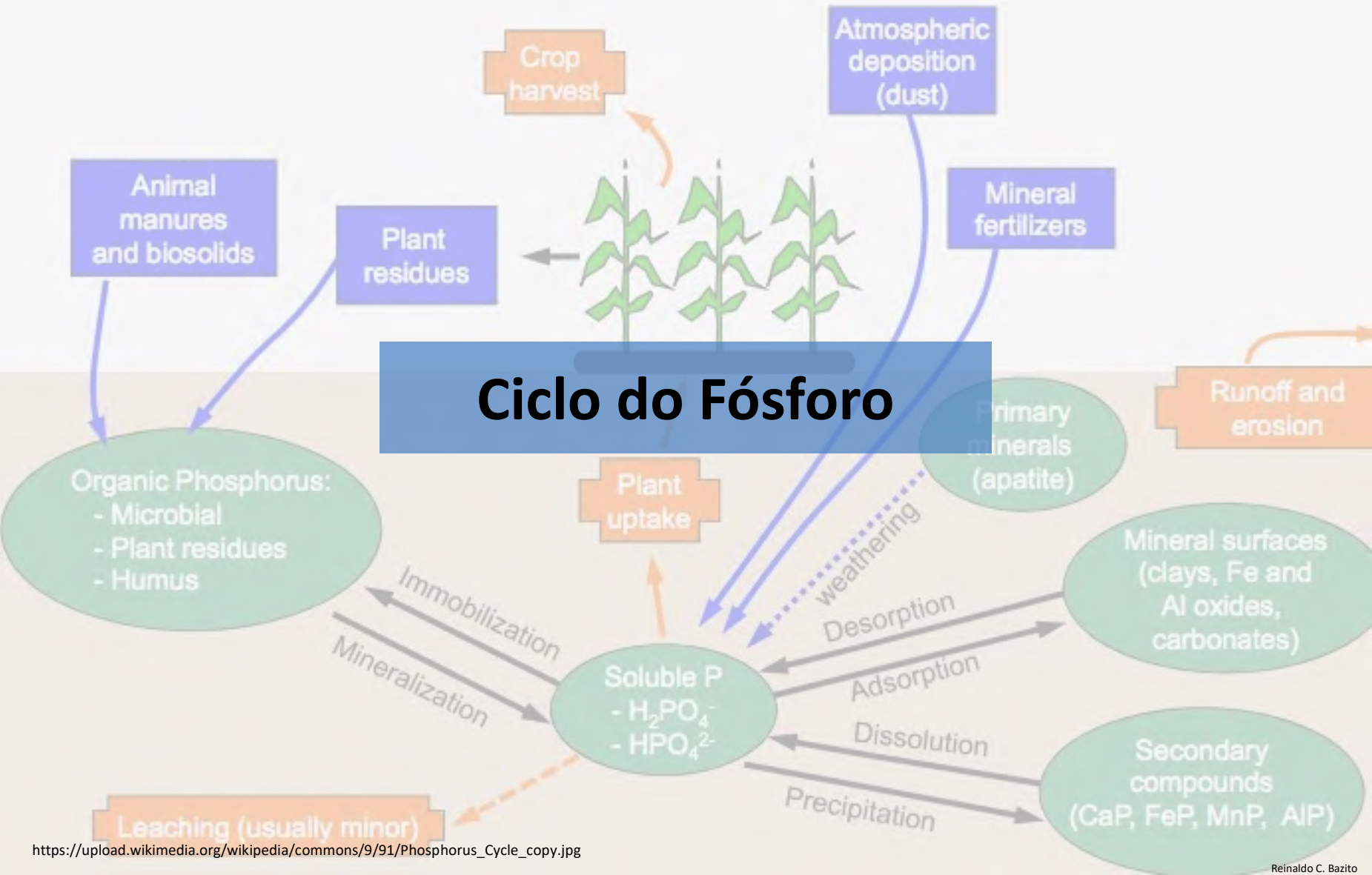
FIG. 11. Reaction path diagram illustrating the major steps in prompt NO formation and conversion of fuel nitrogen (FN) to NO. The bold lines represent the most important reaction paths.



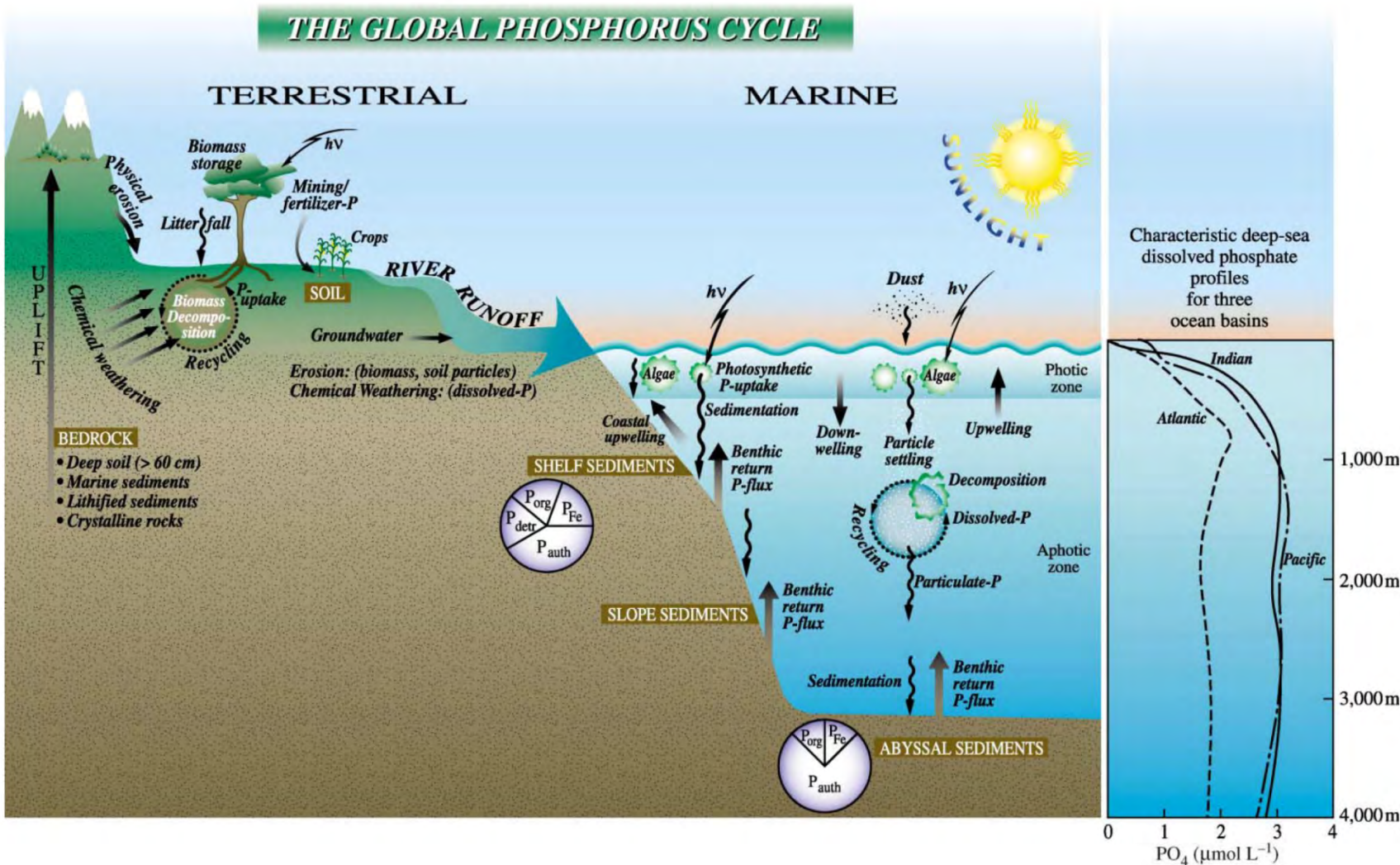
# Óxidos de Nitrogênio na Combustão

## NO<sub>x</sub> de combustível





# Ciclo do Fósforo

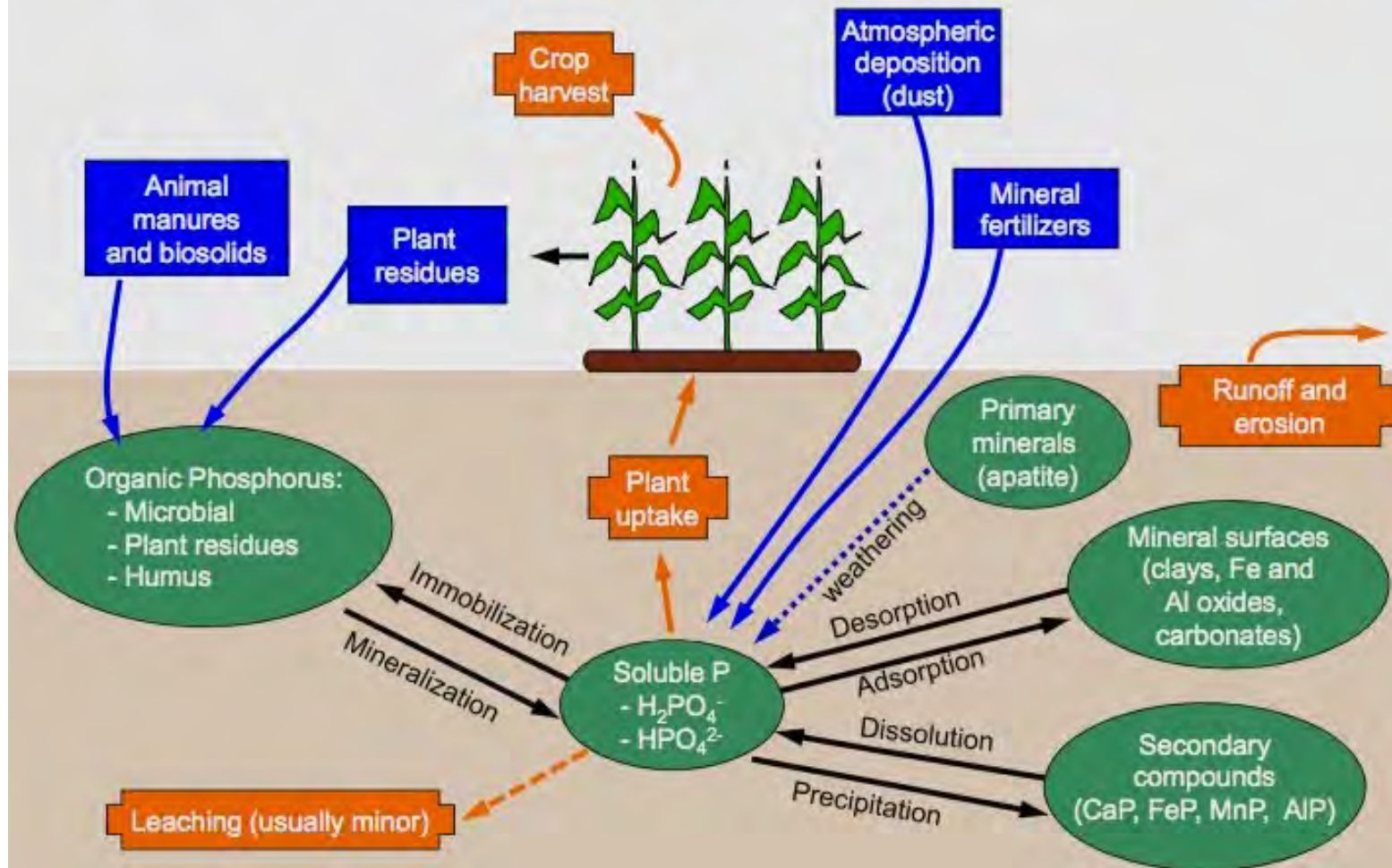




# Ciclo do Fósforo

## The Phosphorus cycle

Component      Input to soil      Loss from soil



# Ciclo do Fósforo

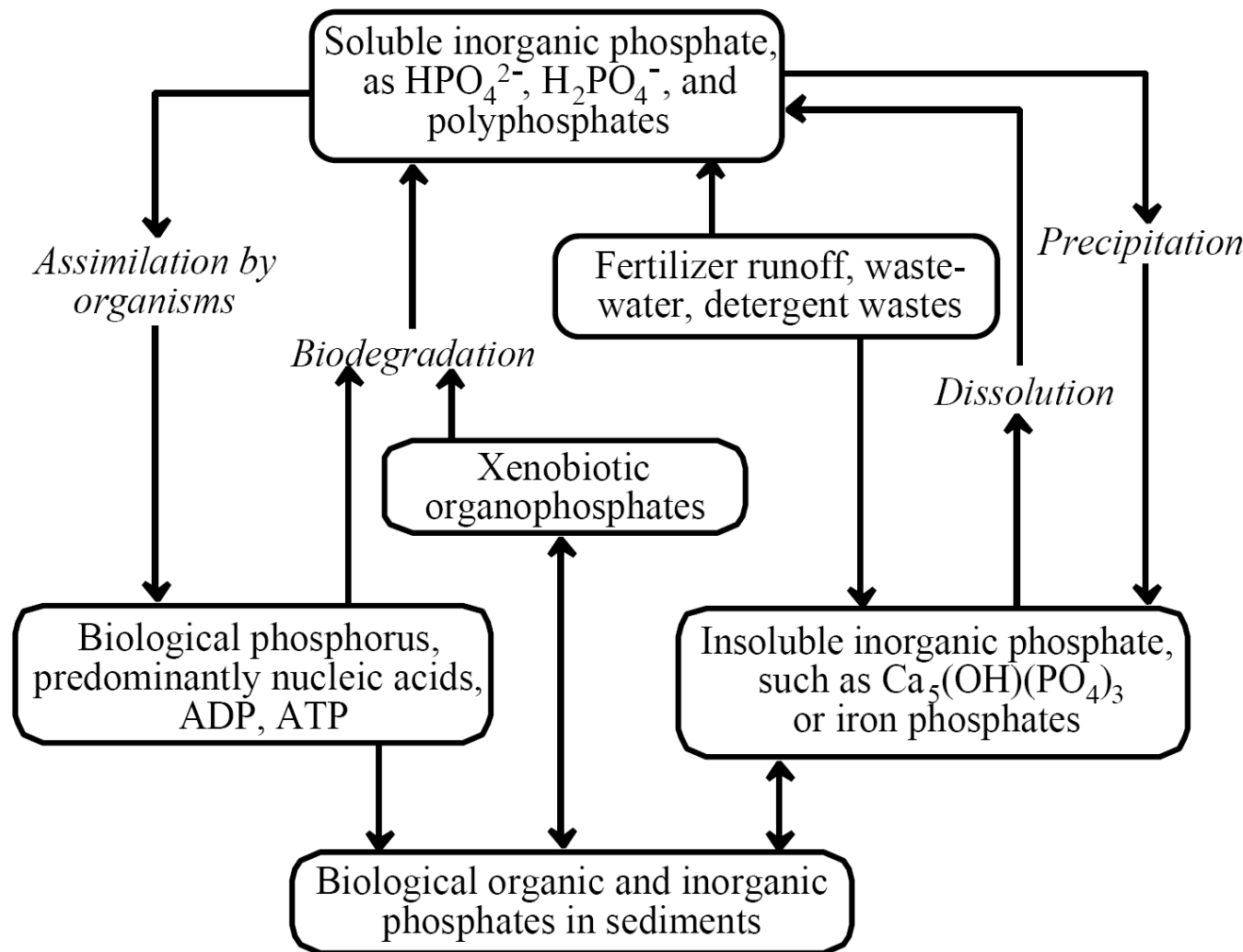


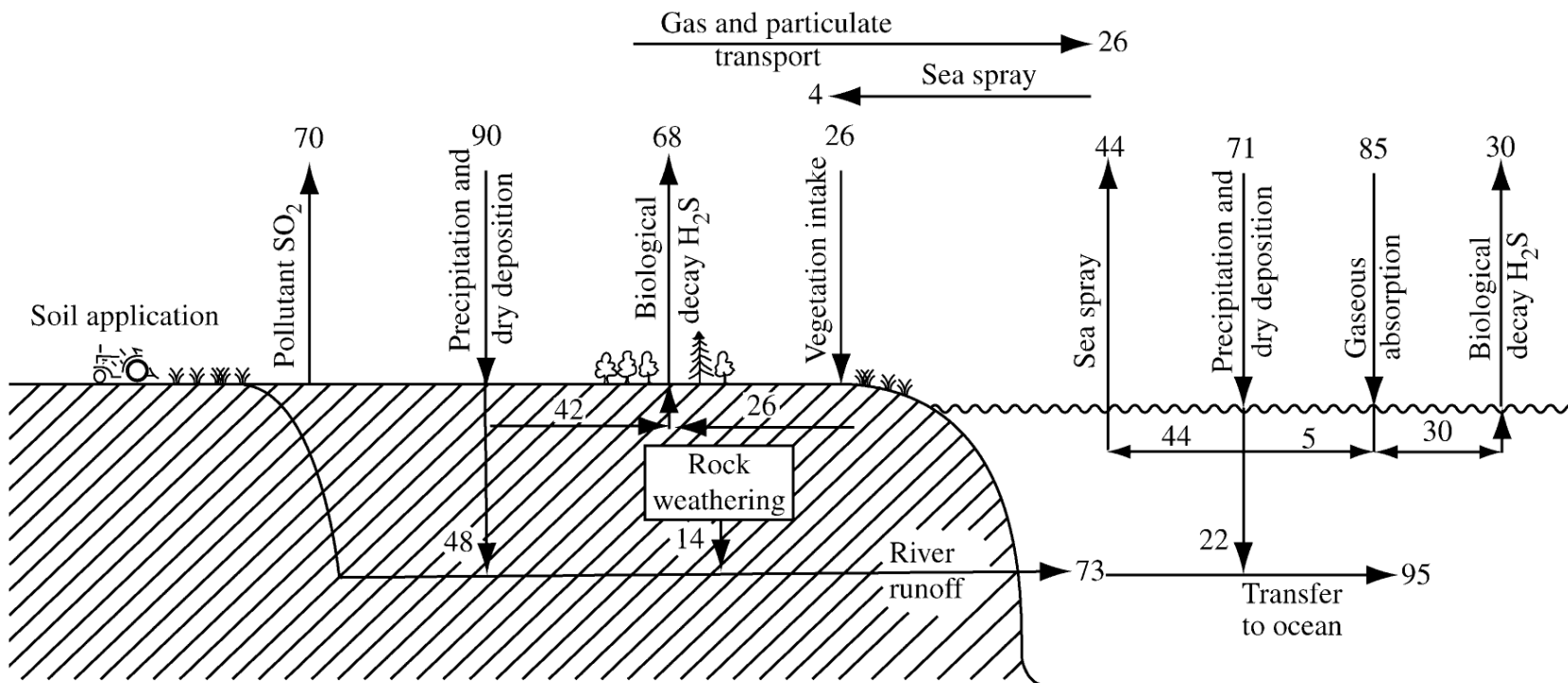
Fig 1.7. The phosphorus cycle.



# Ciclo do Enxofre

Elementary Issues

647



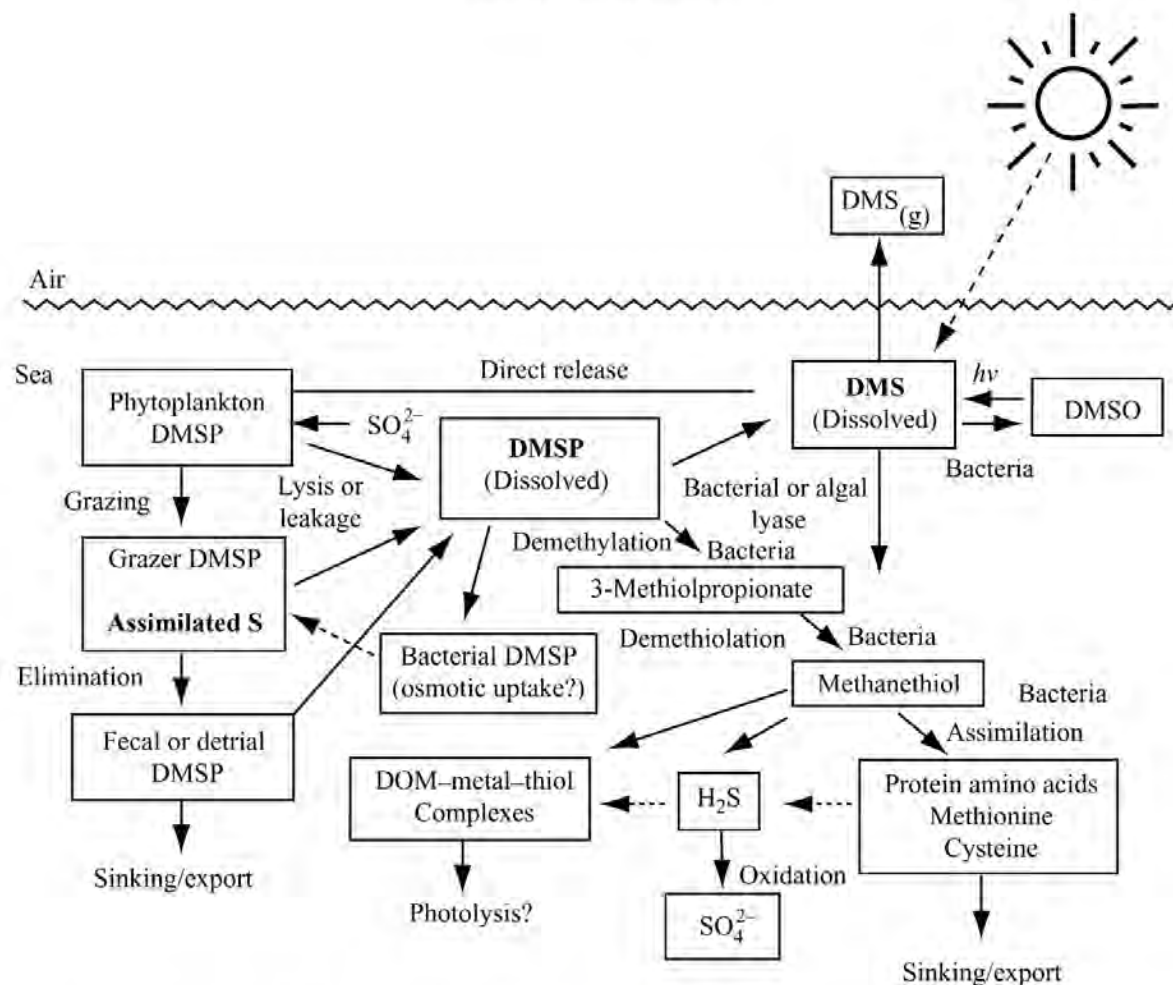
**Figure 1** A generalized geochemical cycle for sulfur of the early 1970s. Note the large emissions of hydrogen sulfide from the land and oceans and that volcanic sulfur emissions are neglected (units: Tg (s) a<sup>-1</sup>).



# Ciclo do Enxofre

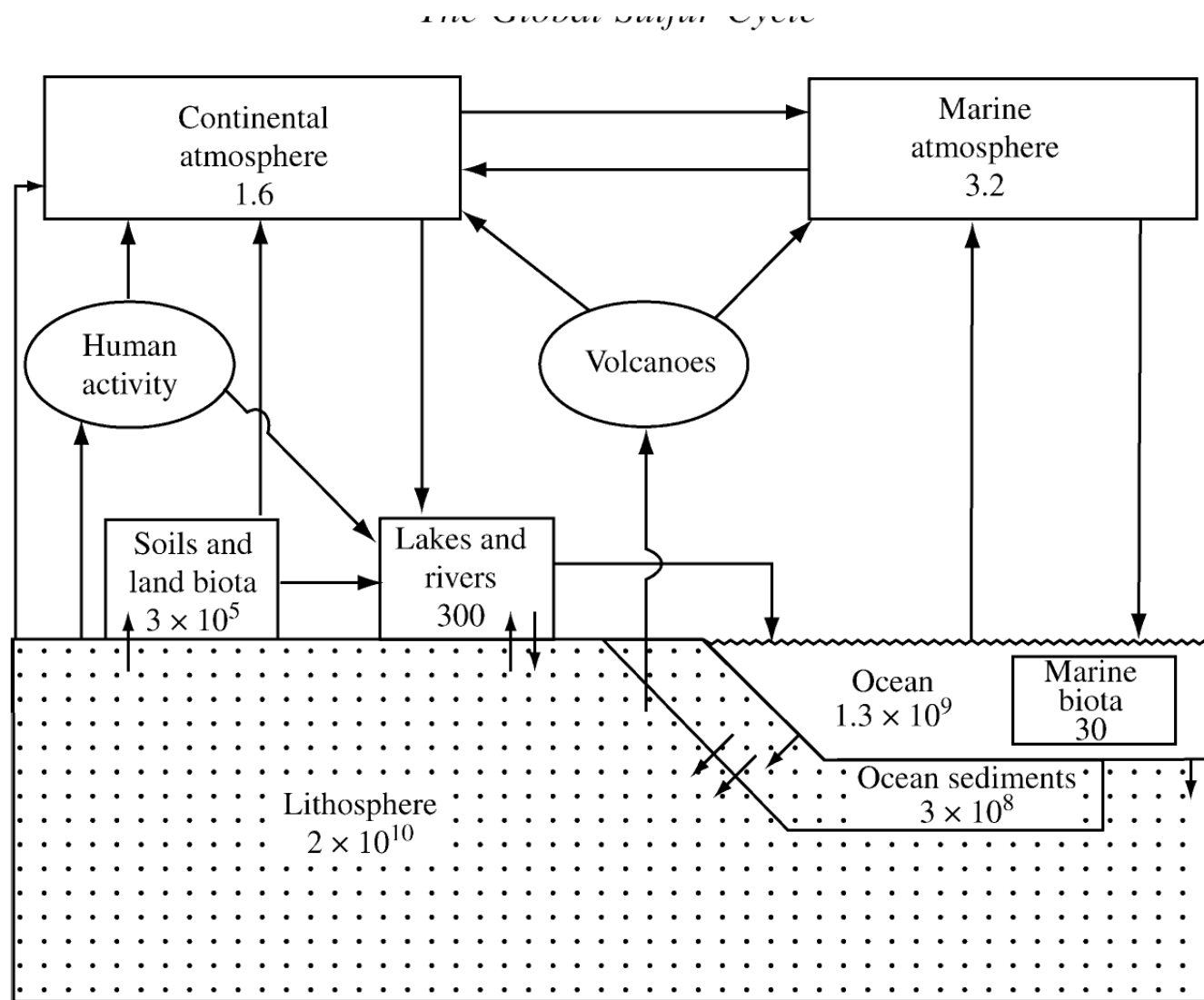
Sulfur in Seawater

661



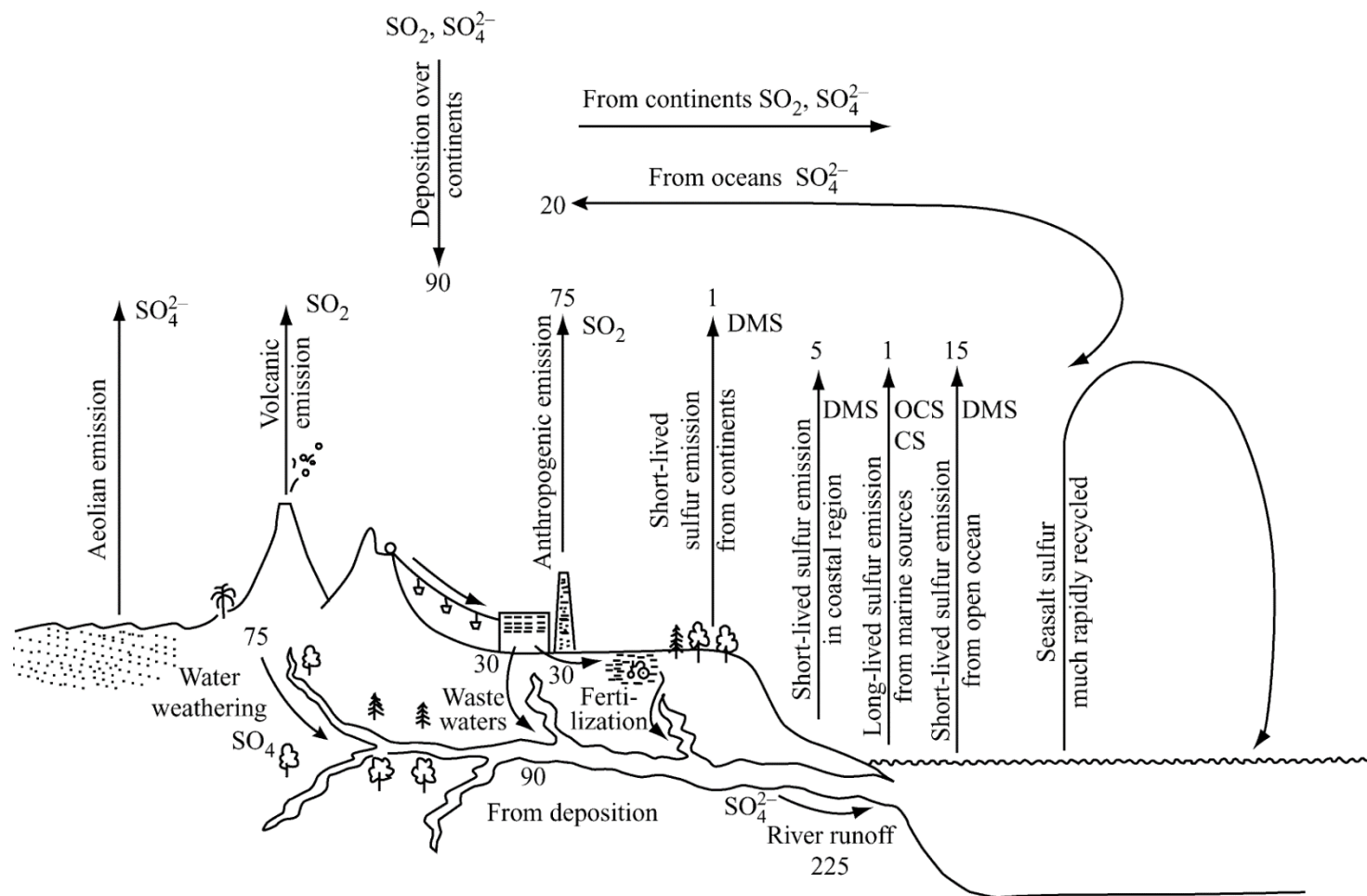
**Figure 11** The biogeochemical cycles of DMSP and DMS in surface waters of the oceans (source Kiene *et al.*, 2000).

# Ciclo do Enxofre



**Figure 15** Major reservoirs and burdens of sulfur as Tg(S) (source [Charlson et al., 1992](#)).

# Ciclo do Enxofre



**Figure 22** Global cycle showing key fluxes at  $\text{Tg(S) yr}^{-1}$ . The formula for the most significant components are marked against each flux.



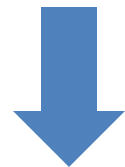
# **Influência Humana sobre o Meio Ambiente**

# Percepção da Influência Humana

Industrialização



Efeitos sobre  
habitat e saúde



Preocupação  
Ambiental

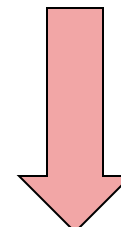


<http://www.nickelinthemachine.com/wordpress/wp-content/uploads/smog-e.jpg>

- 1952: Grande Smog de Londres
- 1956: Clean Air Act (UK)



**Liberação de  
poluente/contaminante**



**Efeitos Diversos**

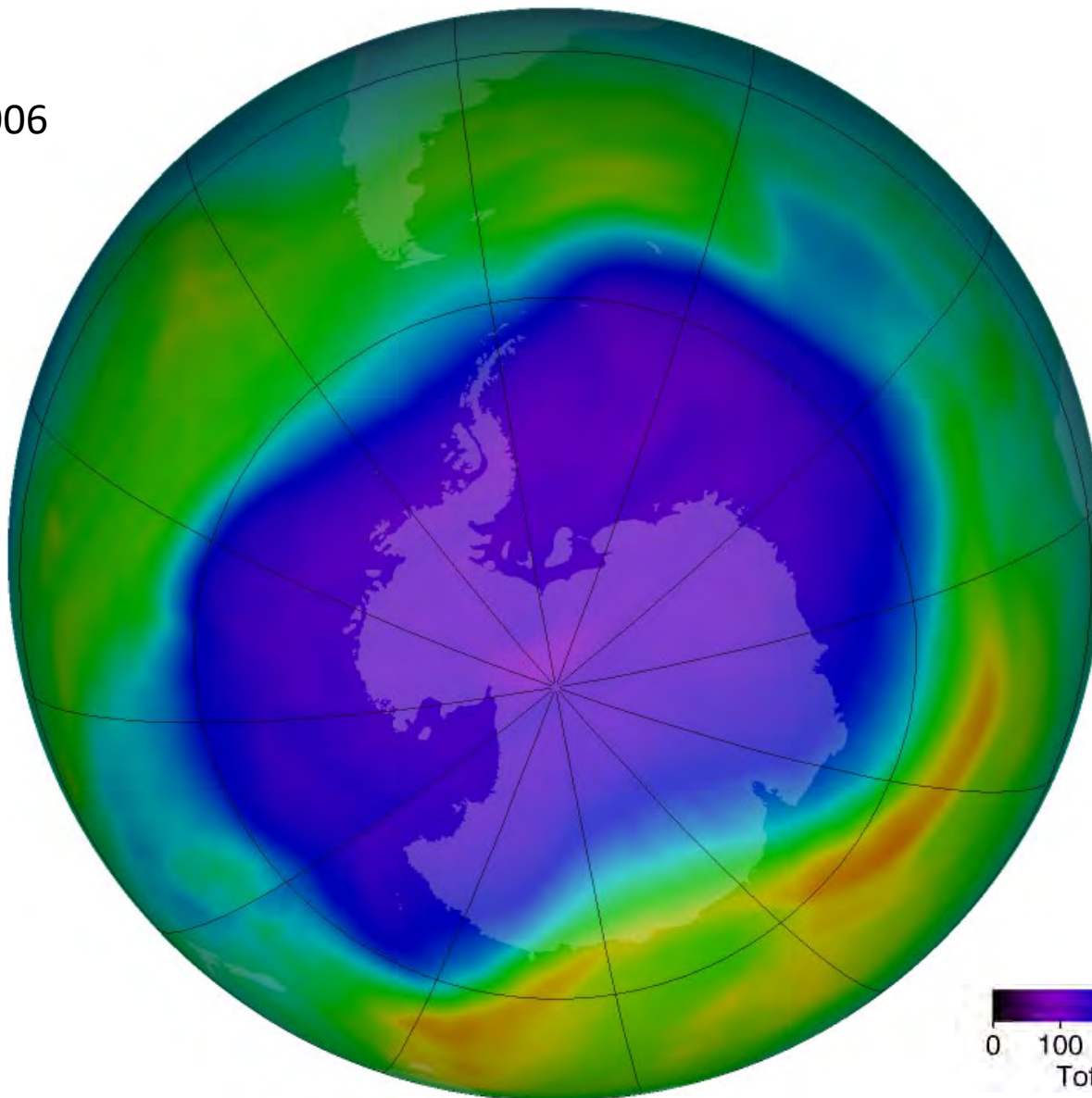


# **“Buraco” na Camada de Ozônio**



# Buraco na Camada de Ozônio

Recorde:  
24/09/2006

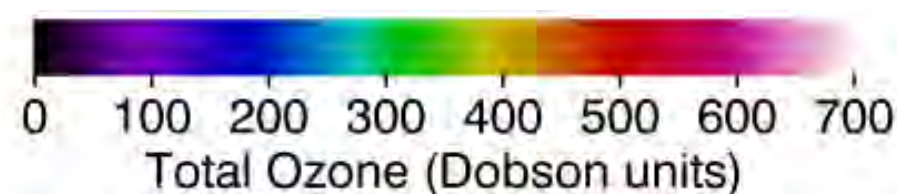


# Unidades Dobson: densidade de coluna

**1 Unidade Dobson** = espessura que o ozônio iria ocupar se fosse comprimido a uma densidade uniforme, T= 273,15K e P= 1 atm, em unidades de  $10^{-3}$  cm.

$$1 \text{ Dobson} = 446,2 \mu\text{mol/m}^2 = 21,4 \text{ mg/m}^2 \text{ de ozônio.}$$

O valor médio típico é ao redor de 300 DU

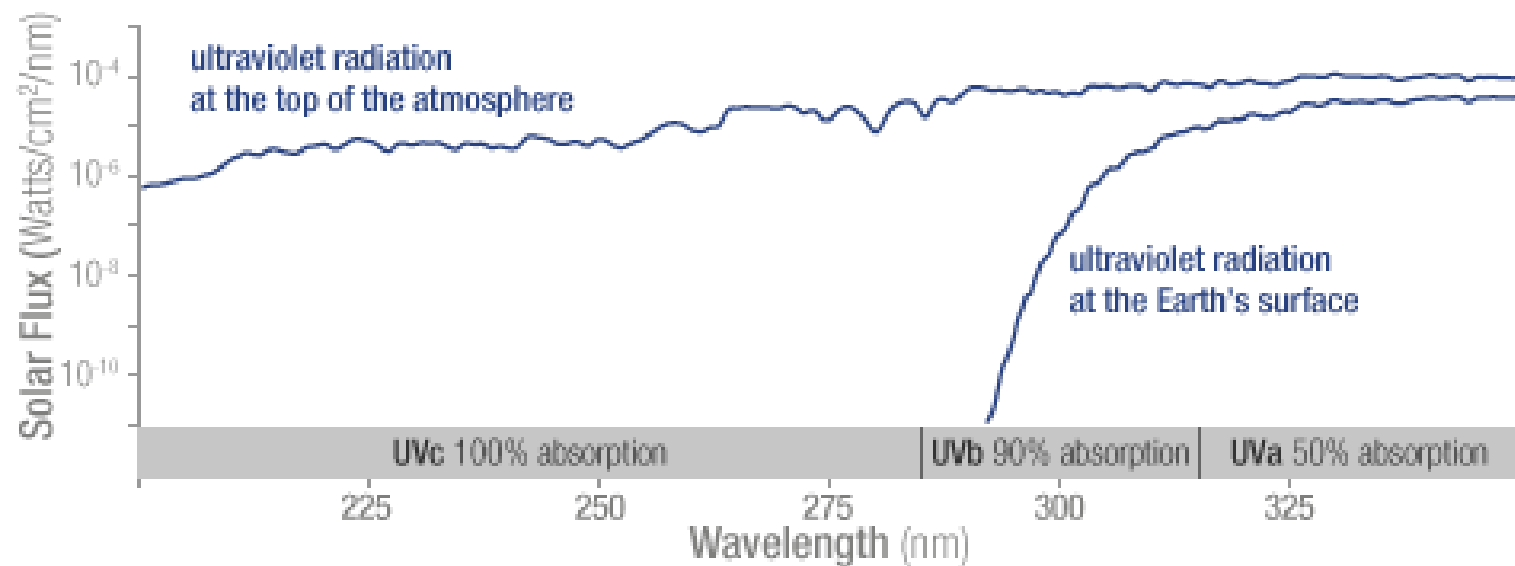


IUPAC: S. E. Schwartz; P. Warneck (1995). "Units for use in atmospheric chemistry". Pure Appl. Chem. 67, p.1377–1406 (1995)



# Por quê é um problema?

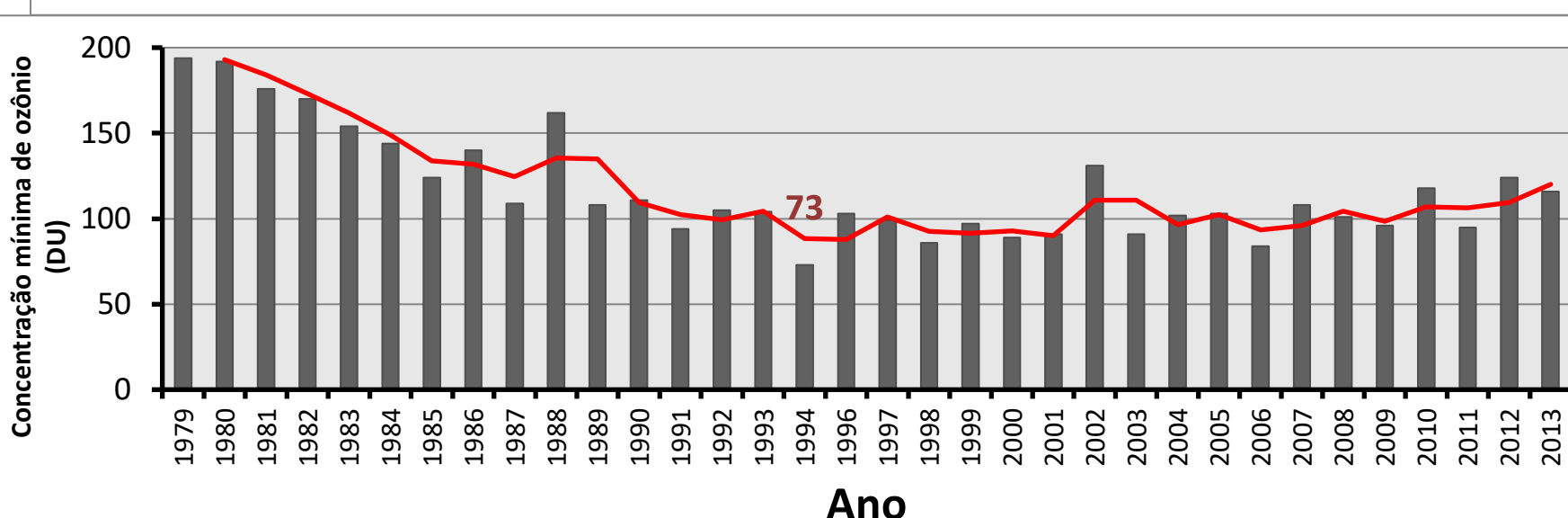
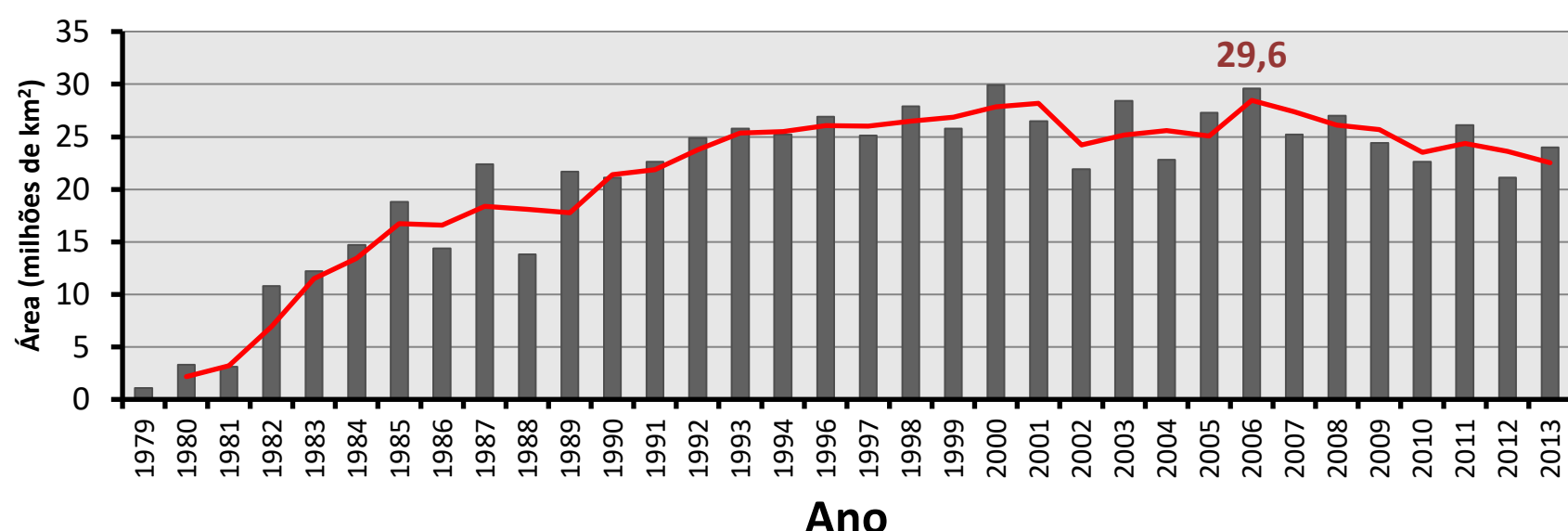
## Fluxo de radiação solar



[http://ozonewatch.gsfc.nasa.gov/facts/images/uv\\_flux\\_graph.gif](http://ozonewatch.gsfc.nasa.gov/facts/images/uv_flux_graph.gif)



# Buraco na Camada de Ozônio





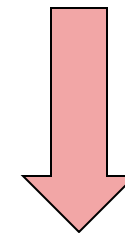
# Buraco na Camada de Ozônio: Sazonal





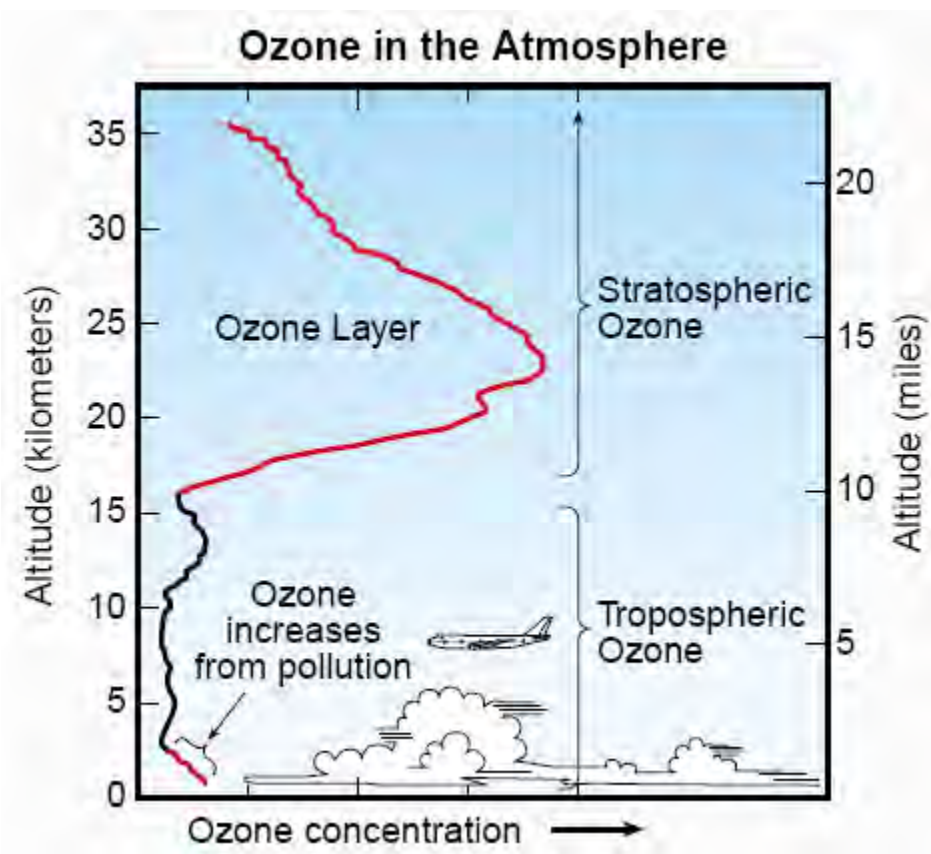
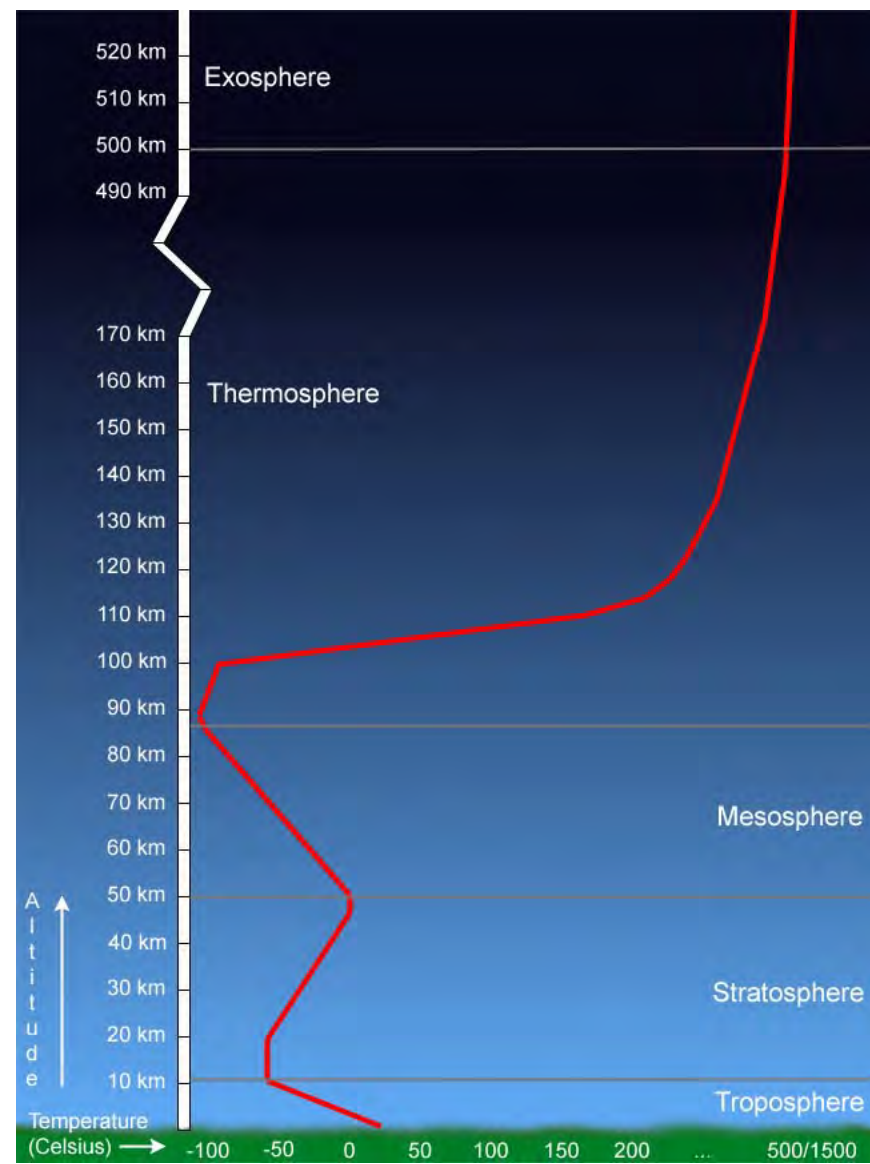
# Origem do Problema

**CFCs + hν**



**Destrução do  
Ozônio**

# Ozônio Estratosférico

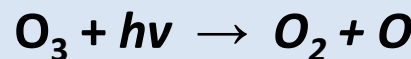


[http://www2.sunysuffolk.edu/mandias/global\\_warming/images/ozone\\_atmosphere.gif](http://www2.sunysuffolk.edu/mandias/global_warming/images/ozone_atmosphere.gif)

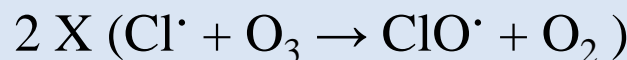
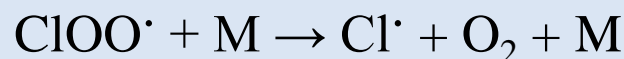
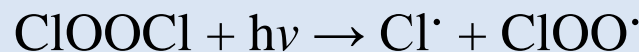


# A Química do Ozônio Estratosférico

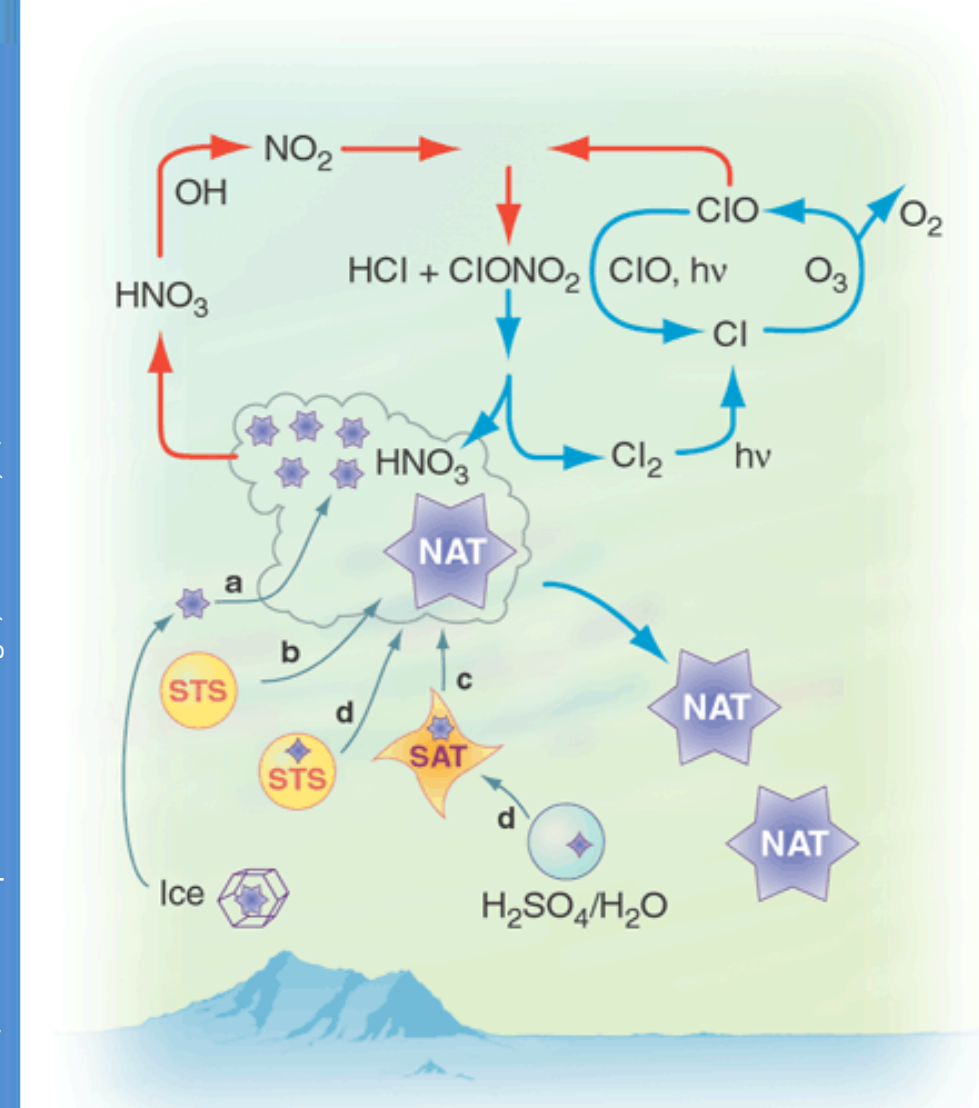
**Ciclo Natural:**



**Destrução:**



# Ciclo da destruição do Ozônio



Espécies inativas de Cloro (“Reservatórios”):

$\text{ClONO}_2$  e  $\text{HCl}$

Espécies ativas de Cloro

$\text{ClO}^\cdot$  e  $\text{Cl}^\cdot$

Solving the PSC Mystery  
Science 6 April 2001:  
vol. 292 no. 5514 61-63



# Nuvens Polares Estratosféricas (PSC)

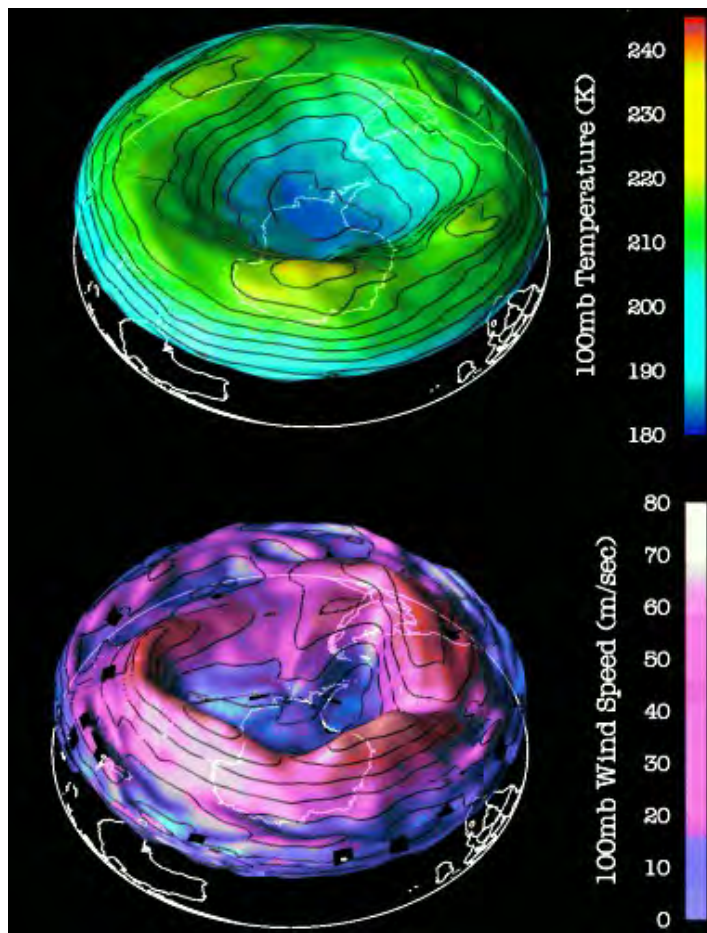


[http://ozonewatch.gsfc.nasa.gov/facts/images/polar\\_stratospheric\\_cloud.jpg](http://ozonewatch.gsfc.nasa.gov/facts/images/polar_stratospheric_cloud.jpg)



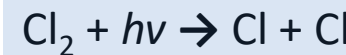
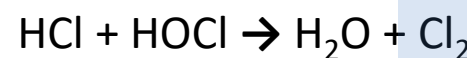
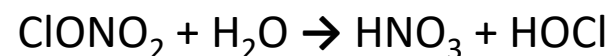
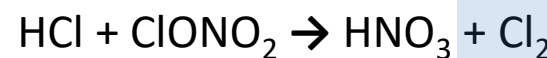
# Por quê é sazonal?

## Vórtex Polar



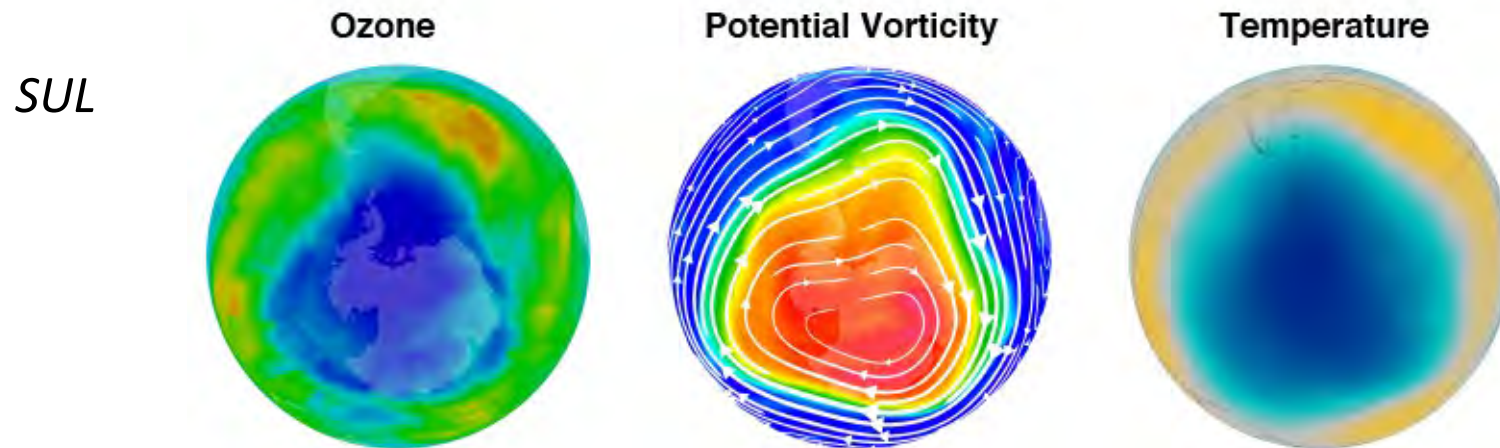
**“Ativação” do Cloro:**  
Conversão de espécies de cloro inativas  
em ativas

**Reação em Fase heterogênea nas  
Nuvens Polares Estratosféricas**

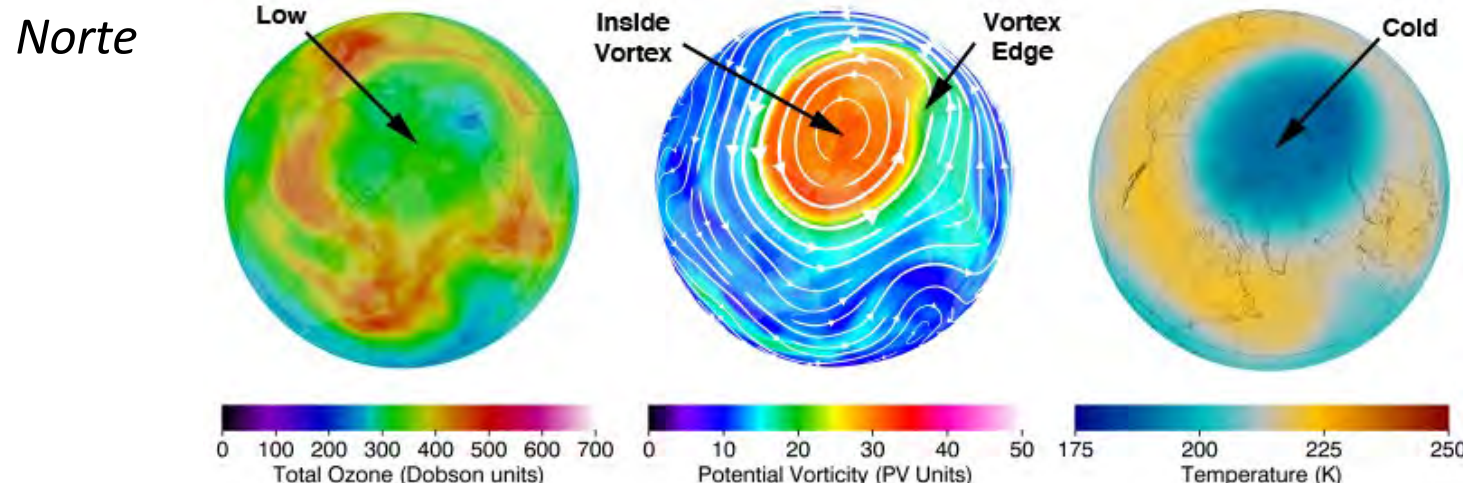




# Pólo Sul vs. Pólo Norte



[http://ozonewatch.gsfc.nasa.gov/facts/images/2011-08-22\\_LSH.png](http://ozonewatch.gsfc.nasa.gov/facts/images/2011-08-22_LSH.png)



[http://ozonewatch.gsfc.nasa.gov/facts/images/2011-02-22\\_LNH.png](http://ozonewatch.gsfc.nasa.gov/facts/images/2011-02-22_LNH.png)



## **“Smog” Fotoquímico**



# Ozônio Troposférico

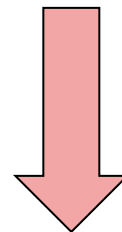


[http://magazine.ucla.edu/exclusives/air-pollution\\_cholesterol2.jpg](http://magazine.ucla.edu/exclusives/air-pollution_cholesterol2.jpg)



# Ozônio Troposérico: Smog Fotoquímico

**VOCs + NOx + hν**

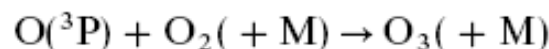
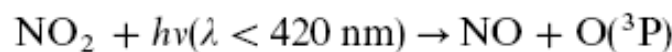
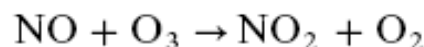


**Ozônio  
Troposférico**

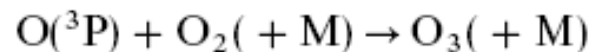
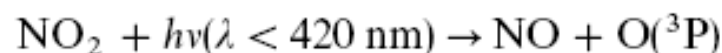
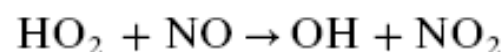


# A Química do Ozônio Estratosférico

Na ausência de VOCs:

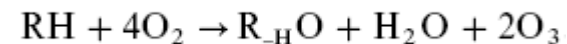
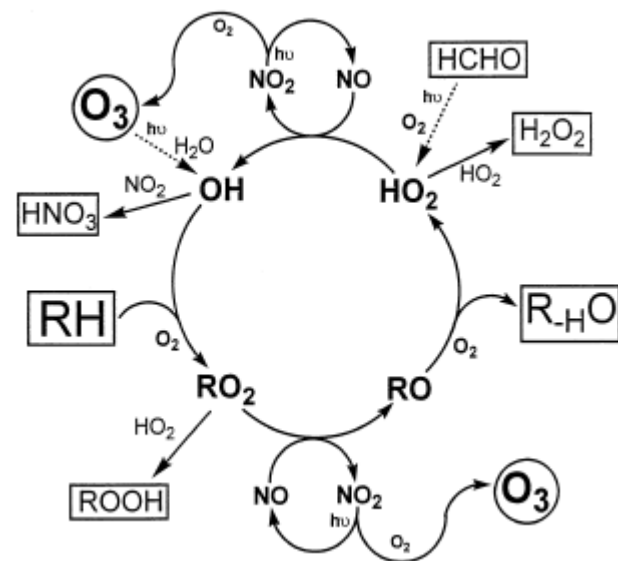
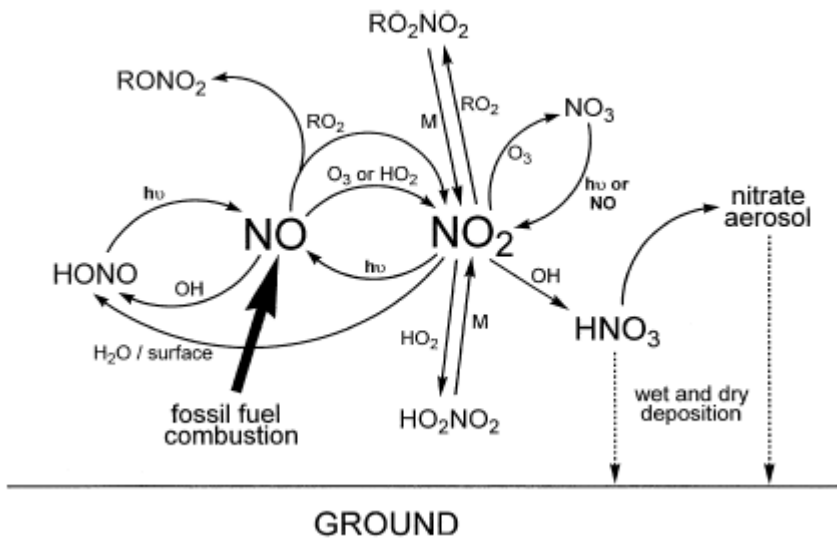


Na presença de VOCs:





# A Química do Ozônio Estratosférico



M.E. Jenkin, K.C. Clemmitshaw / Atmospheric Environment 34 (2000) 2499–2527

# Dados Monitoramento CETESB – Cidade Universitária

Cid.Universitária-USP-Ipen - 31/01/2014

Hora	NO <sub>2</sub> µg/m <sup>3</sup>		CO ppm			O <sub>3</sub> µg/m <sup>3</sup>			MP2.5 µg/m <sup>3</sup>		
	Média Horária	Índice / Qualidade	Média horária	Média 8 h	Índice / Qualidade	Média horária	Média 8 h	Índice / Qualidade	Média horária	Média 24 h	Índice / Qualidade
01:00	--	--	2.3	2.2	10	2	70	28	33	18	28
02:00	83	17	2.3	2.2	10	1	44	18	22	18	28
03:00	77	15	2.3	2.2	10	1	27	11	9	17	27
04:00	70	14	2.2	2.2	10	6	16	6	24	17	27
05:00	75	15	--	2.2	10	1	9	4	22	17	27
06:00	68	14	0.6	2.0	9	1	5	2	23	17	27
07:00	72	14	0.6	1.8	8	1	2	1	34	17	27
08:00	72	14	1.1	1.6	7	3	2	1	33	18	28
09:00	109	22	2.9	1.7	8	7	3	1	44	20	31
10:00	105	21	2.6	1.8	8	26	6	2	44	21	33
11:00	29	6	2.0	1.7	8	76	15	6	17	21	33
12:00	26	5	2.0	1.7	8	107	28	11	3	20	31
13:00	20	4	1.9	1.7	8	156	47	19	12	20	31
14:00	19	4	2.0	1.9	8	188	70	28	19	21	33
15:00	21	4	2.0	2.1	9	234	100	40	26	21	33
16:00	31	6	2.1	2.2	10	284	135	87	19	22	35
17:00	30	6	2.0	2.1	9	234	163	126	23	22	35
18:00	26	5	2.0	2.0	9	170	181	162	18	22	35
19:00	27	5	2.0	2.0	9	128	188	175	13	23	36
20:00	36	7	2.0	2.0	9	116	189	177	12	23	36
21:00	55	11	2.1	2.0	9	78	179	158	18	24	38
22:00	66	13	2.2	2.1	9	51	162	124	15	24	36
23:00	53	11	2.2	2.1	9	53	139	92	0	22	35
24:00	62	12	2.3	2.1	9	45	109	52	9	21	33

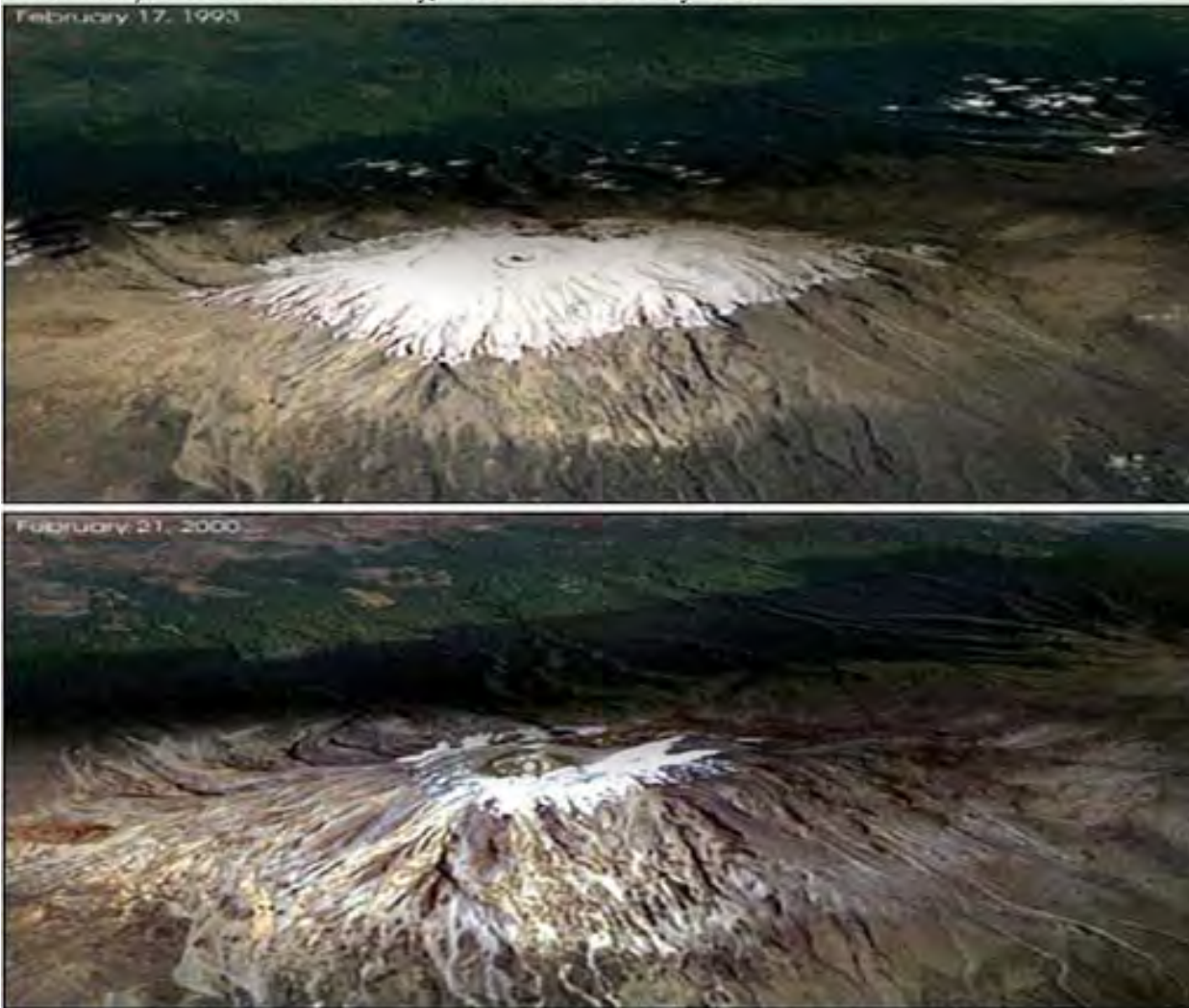
[http://sistemasinter.cetesb.sp.gov.br/Ar/php/ar\\_dados\\_horarios\\_resultado.php](http://sistemasinter.cetesb.sp.gov.br/Ar/php/ar_dados_horarios_resultado.php)





# Aquecimento Global

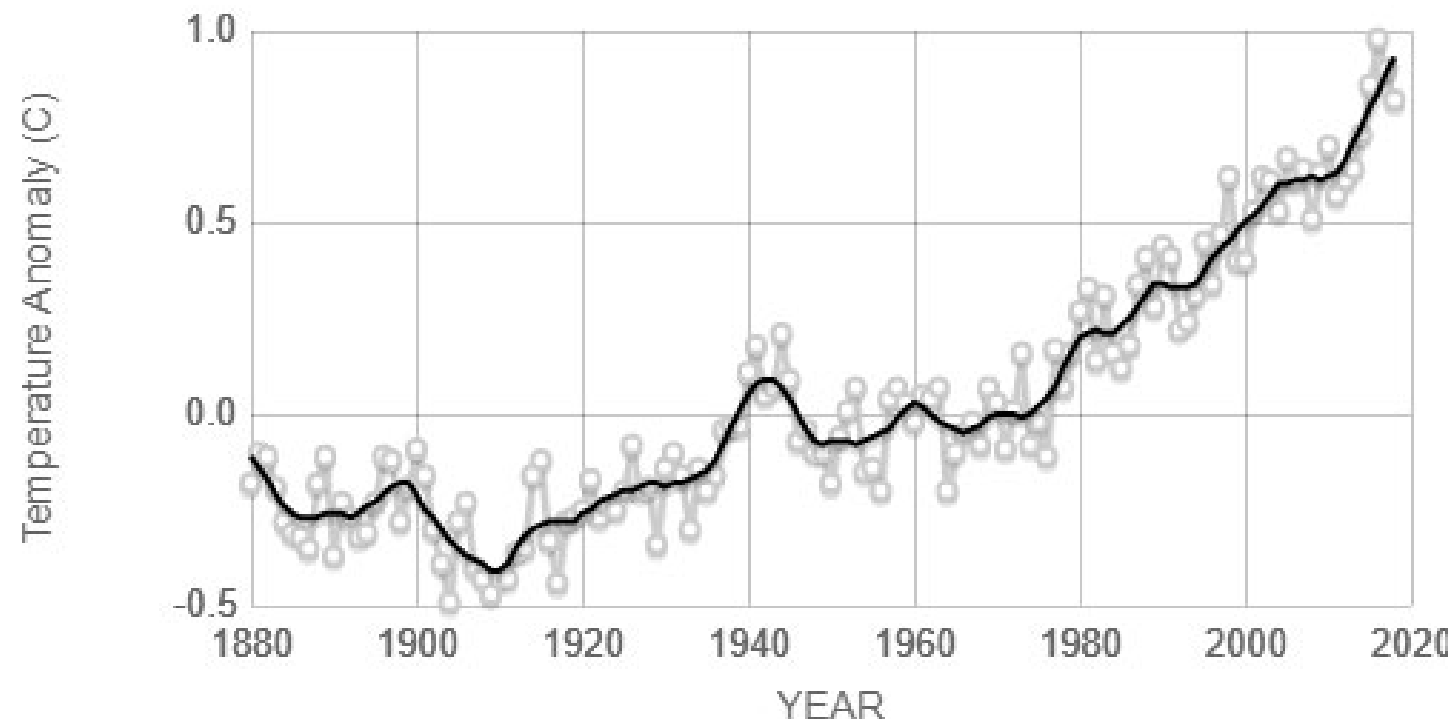
Figure 13: A Photo showing comparison of the area covered by ice cap (snow) at Mt. Kilimanjaro between February, 1993 and February 2000



[http://www.worldculturepictorial.com/images/content\\_2/kilimanjaro-icecap-1993-vs-2000.jpg](http://www.worldculturepictorial.com/images/content_2/kilimanjaro-icecap-1993-vs-2000.jpg)



# Temperatura global superficial



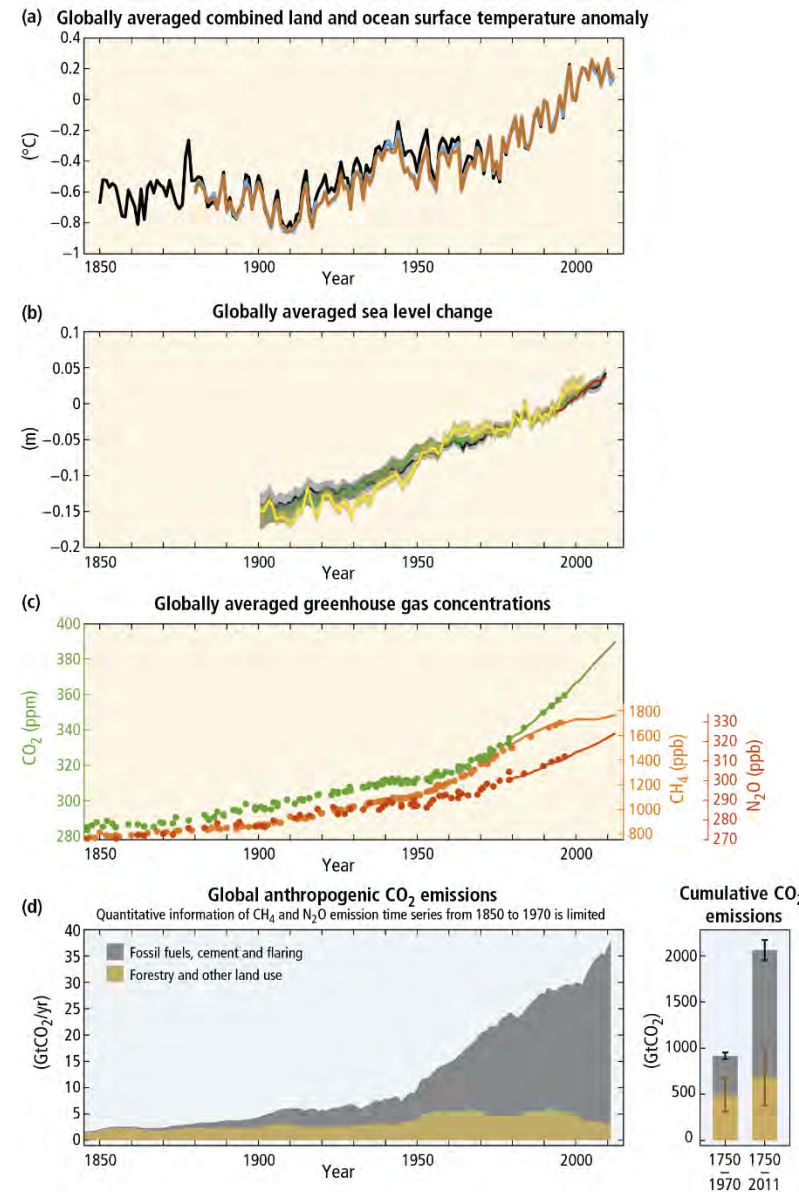
Source: [climate.nasa.gov](http://climate.nasa.gov)

This graph illustrates the change in global surface temperature relative to 1951-1980 average temperatures. Eighteen of the 19 warmest years all have occurred since 2001, with the exception of 1998. The year 2016 ranks as the warmest on record. (Source: NASA/GISS). This research is broadly consistent with similar constructions prepared by the Climatic Research Unit and the National Oceanic and Atmospheric Administration.



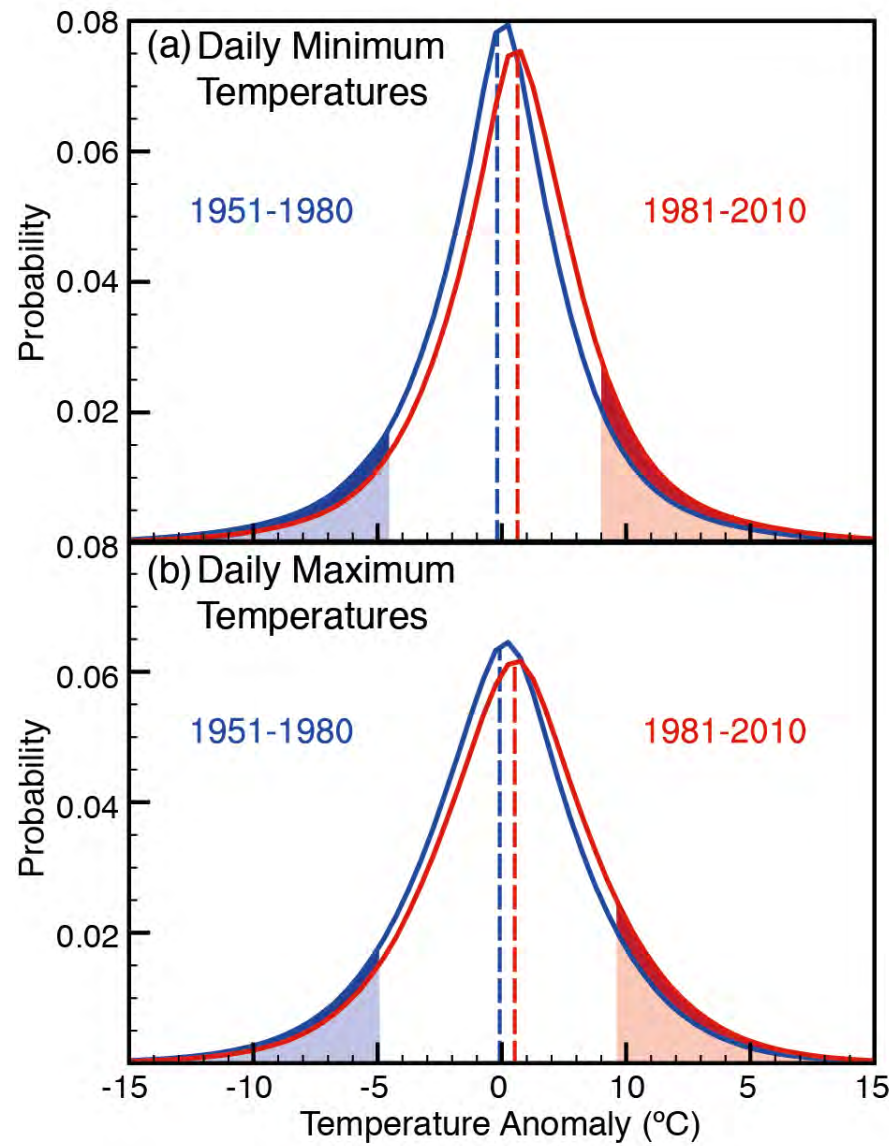
# Intergovernmental Panel on Climate Change (IPCC)

- Órgão da ONU e *avaliações regulares das bases científicas da mudança climática, seus impactos e riscos futuros e opções para adaptação e mitigação* carregado de “”
- Criado em 1988 pela World Meteorological Organization (WMO) e pelo United Nations Environment Programme (UNEP);
- 195 membros;
- Milhares de artigos avaliados;
- “Assessment Reports – AR”
  - AR1 – 1990;
  - AR2 – 1995;
  - AR3 – 2001;
  - AR4 – 2007;
  - AR5 – 2014;
  - AR6 – 2021/2022.



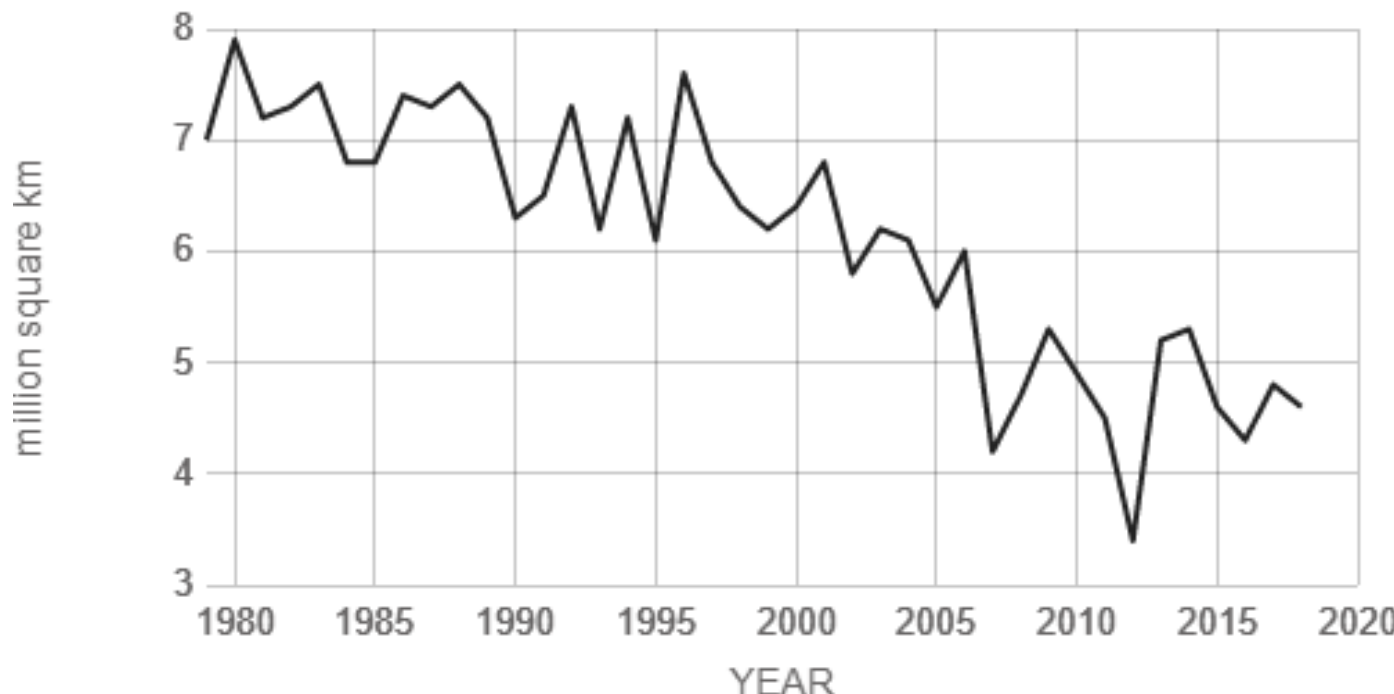


# Alguns dados de Temperatura





# Gelo Ártico

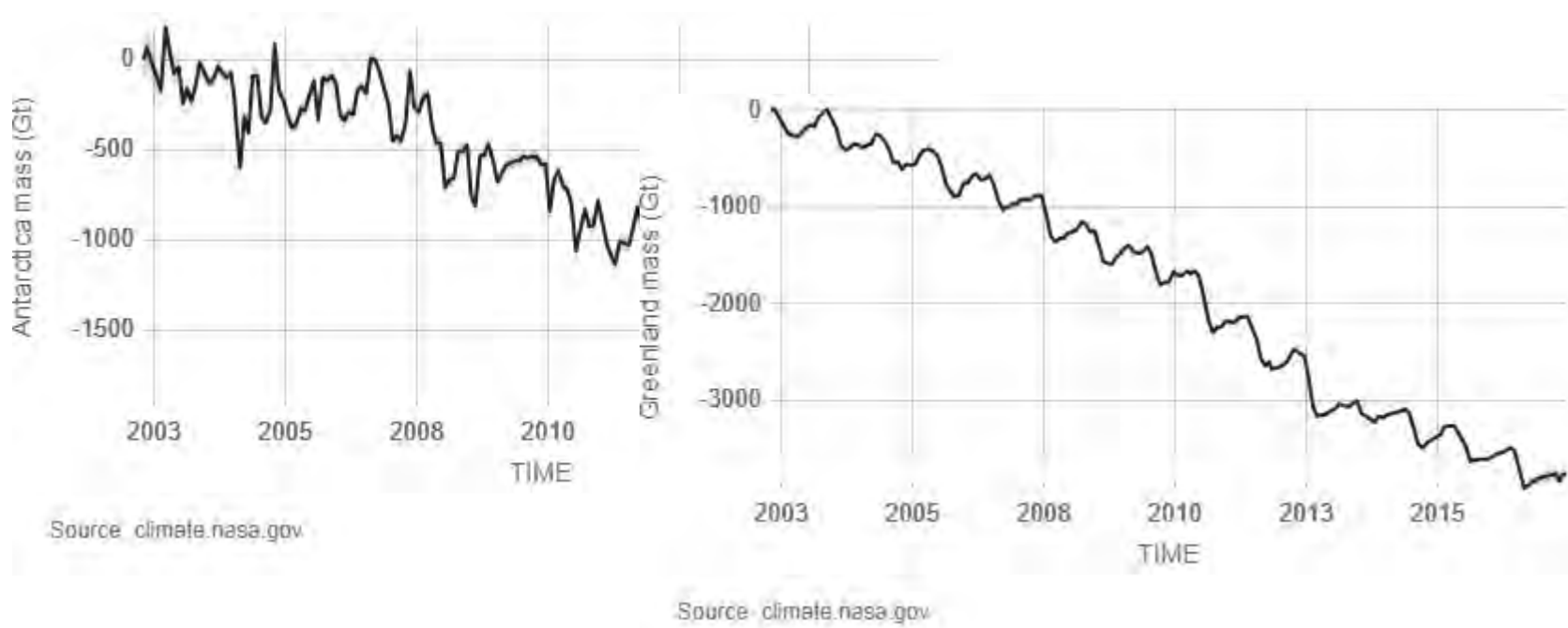


Source: [climate.nasa.gov](http://climate.nasa.gov)

Arctic sea ice reaches its minimum each September. September Arctic sea ice is now declining at a rate of 12.8 percent per decade, relative to the 1981 to 2010 average. The graph above shows the average monthly Arctic sea ice extent each September since 1979, derived from satellite observations. The 2012 extent is the lowest in the satellite record.



# Bancos de gelo – Antártica e Groenlândia

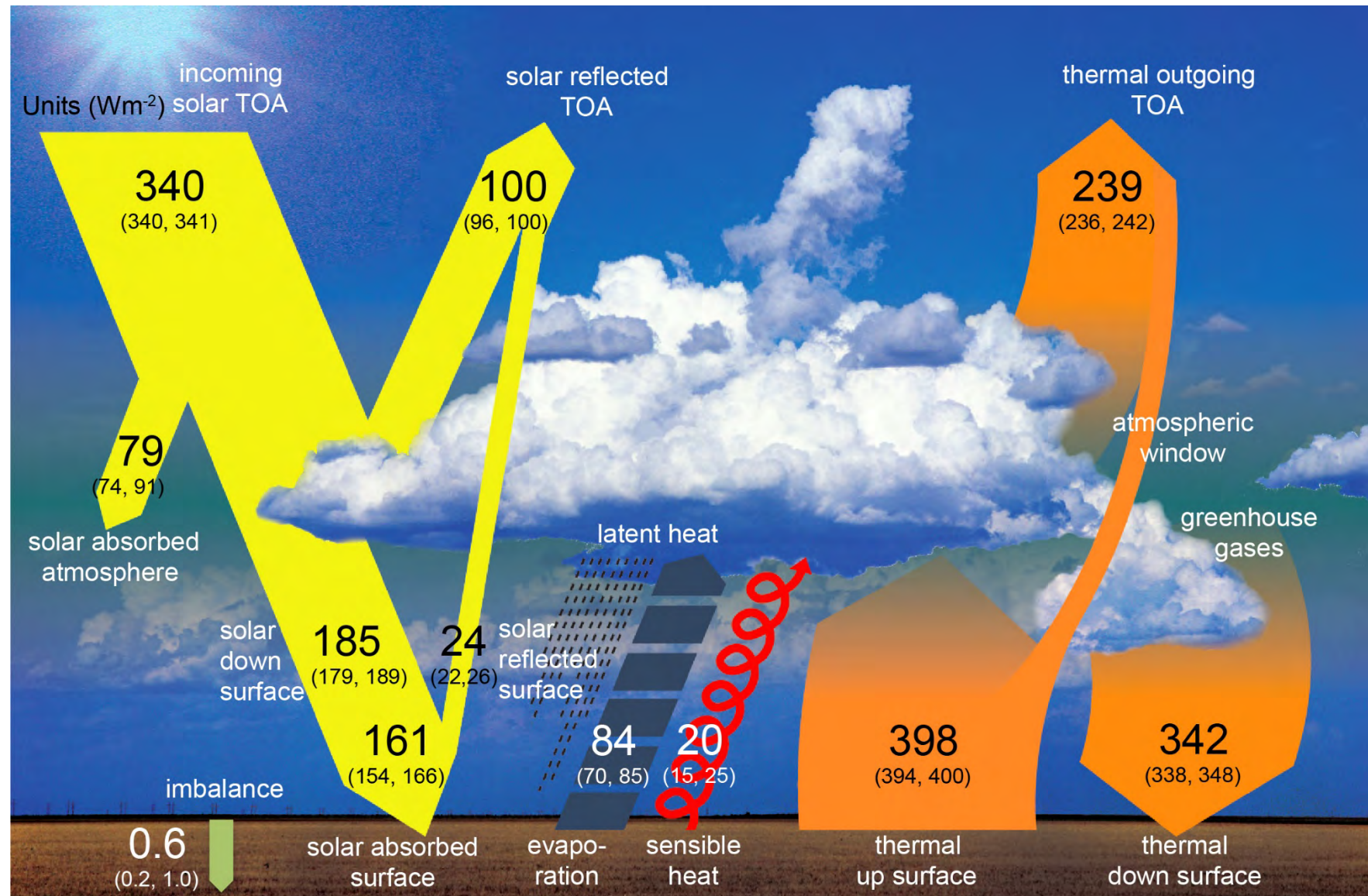


Data from NASA's GRACE satellites show that the land ice sheets in both Antarctica (left chart) and Greenland (right) have been losing mass since 2002. Both ice sheets have seen an acceleration of ice mass loss since 2009.  
(Source: GRACE satellite data)

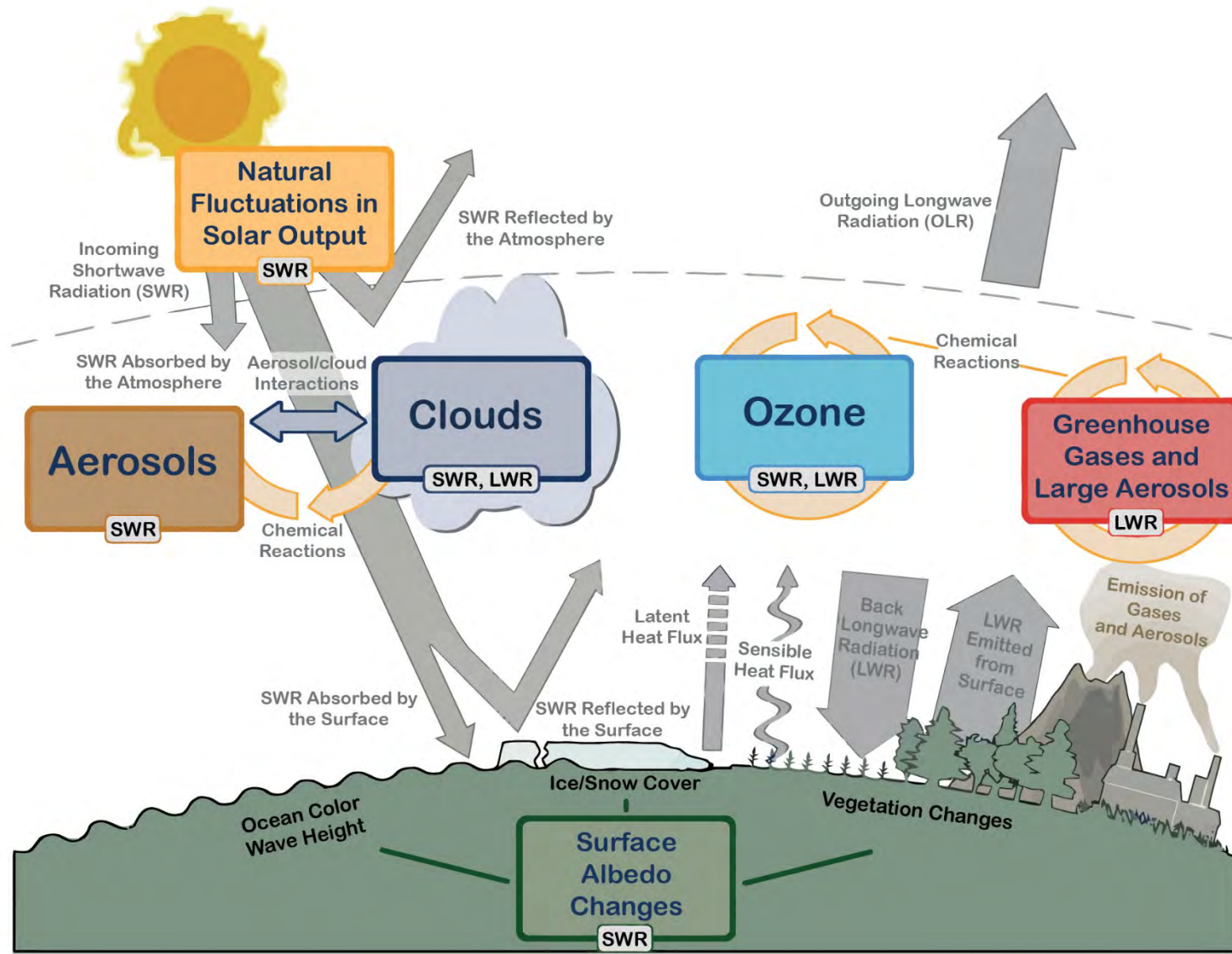
Please note that the most recent data are from June 2017, when the GRACE mission concluded science operations. Users can expect new data from GRACE's successor mission, GRACE Follow-On, in the summer of 2019.



# Balanço Energético da Terra

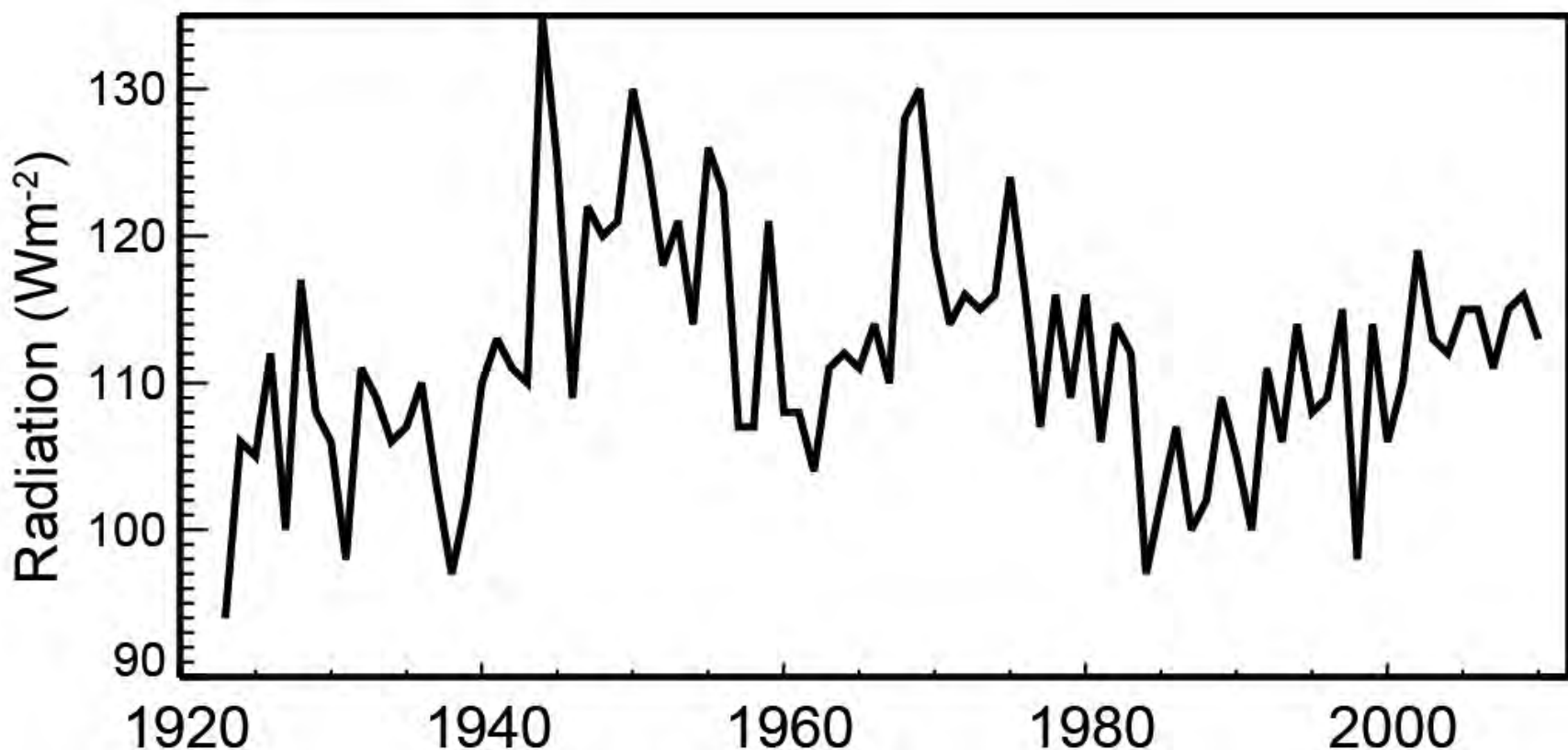


# Fatores que afetam o balanço energético



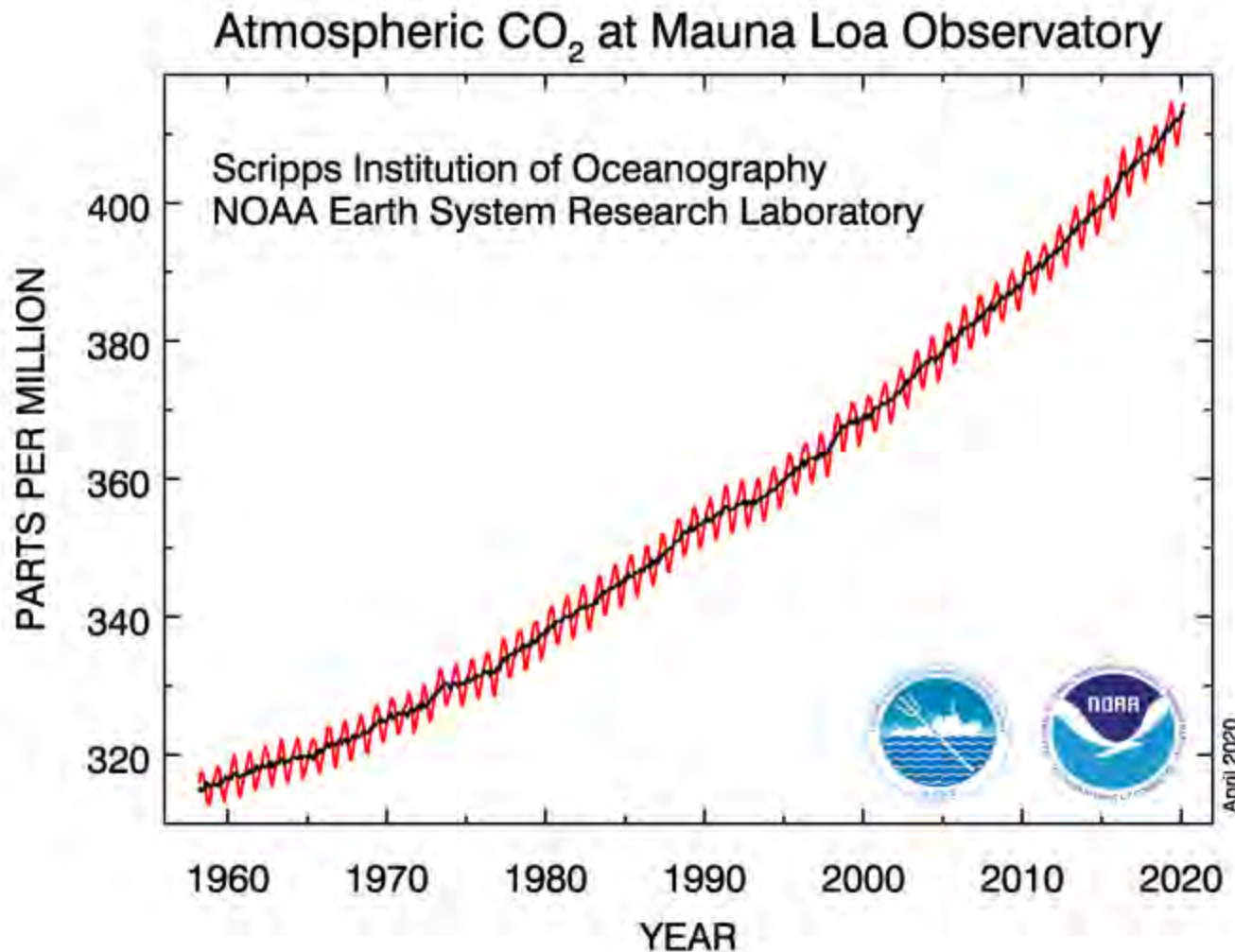


# Radiação Solar





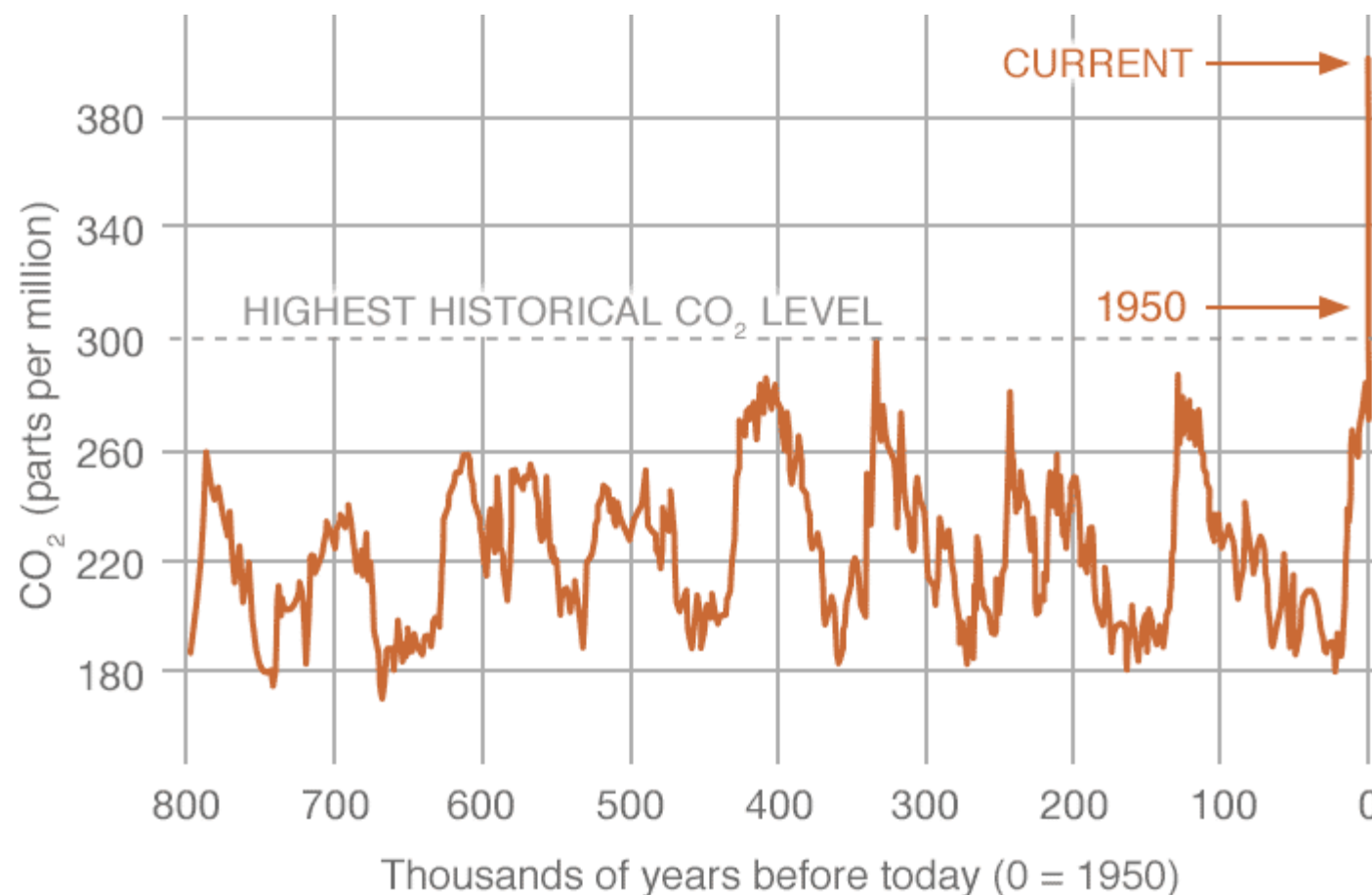
# CO<sub>2</sub> medido em Mauna Loa



[https://www.esrl.noaa.gov/gmd/webdata/ccgg/trends/co2\\_data\\_mlo.png](https://www.esrl.noaa.gov/gmd/webdata/ccgg/trends/co2_data_mlo.png)



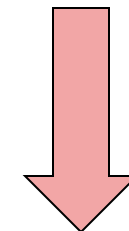
# CO<sub>2</sub> medido indiretamente (“ice cores”)



<https://climate.nasa.gov/vital-signs/carbon-dioxide/>



**Emissão de gases estufa**



**Aumento da  
temperatura global**

# Janela Atmosférica e GHGs

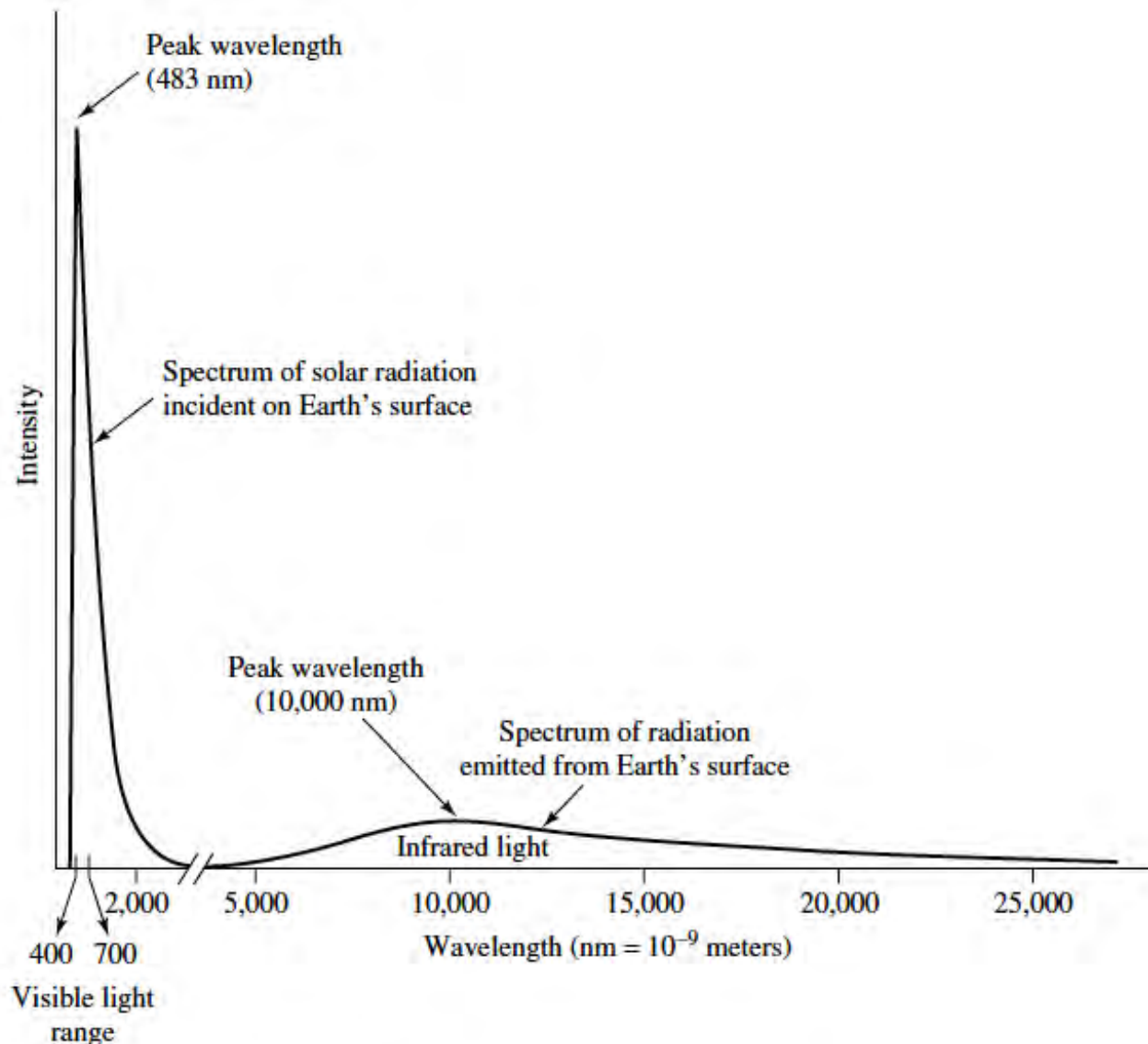
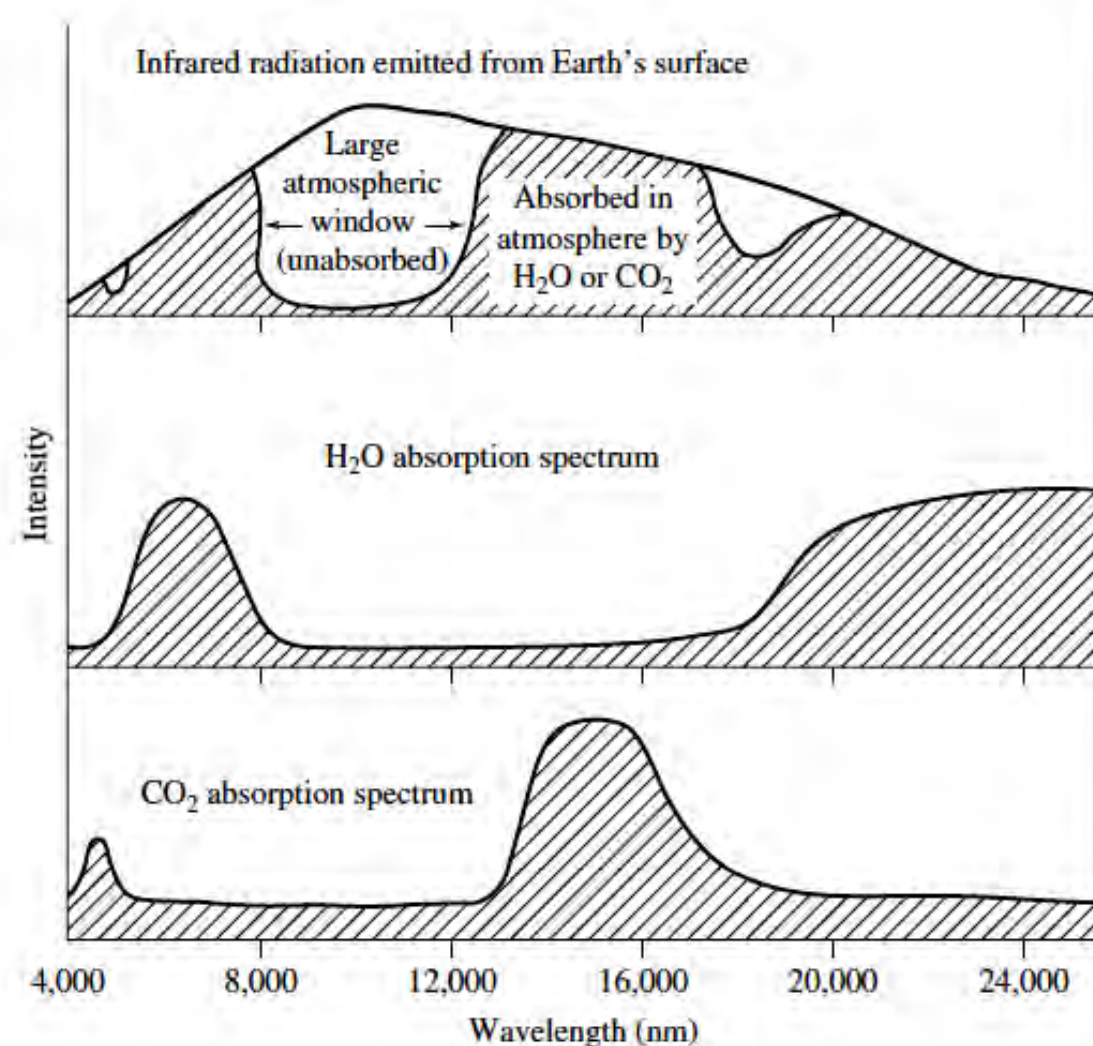


Figure 6.1 Spectral distribution of solar and terrestrial radiation.

Spiro & Stigliani, *Chemistry of the Environment*, 2nd ed., 2002.

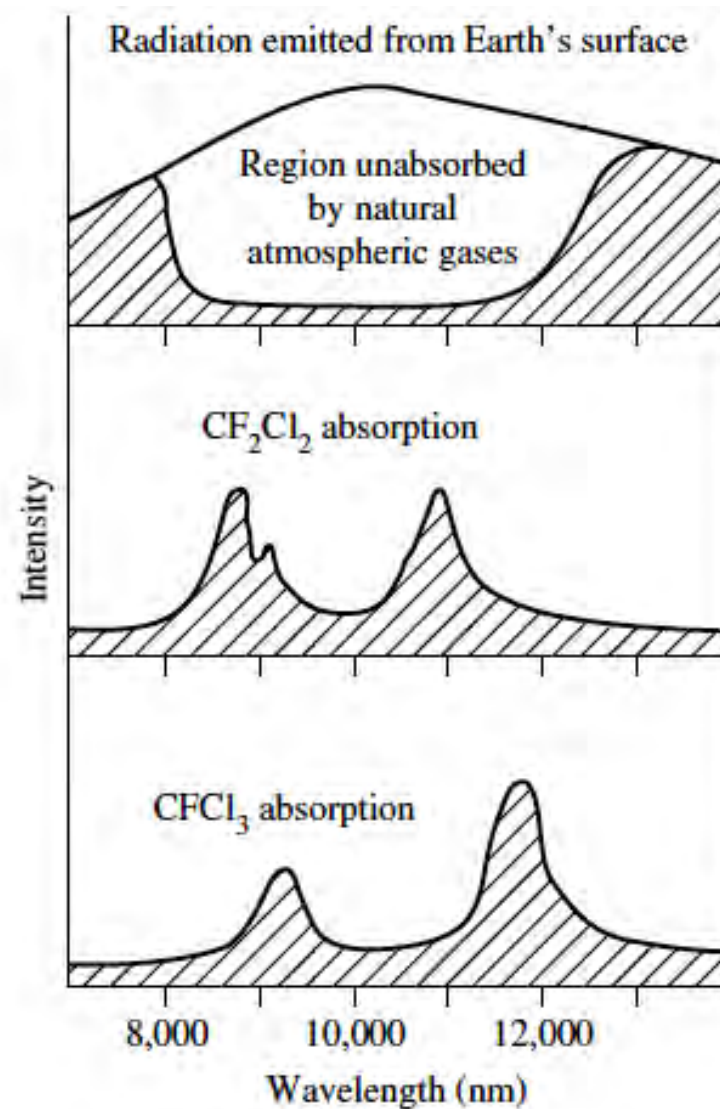


# Janela Atmosférica e GHGs



**Figure 6.14** Absorption of terrestrial radiation by water and carbon dioxide.

# Janela Atmosférica e GHGs

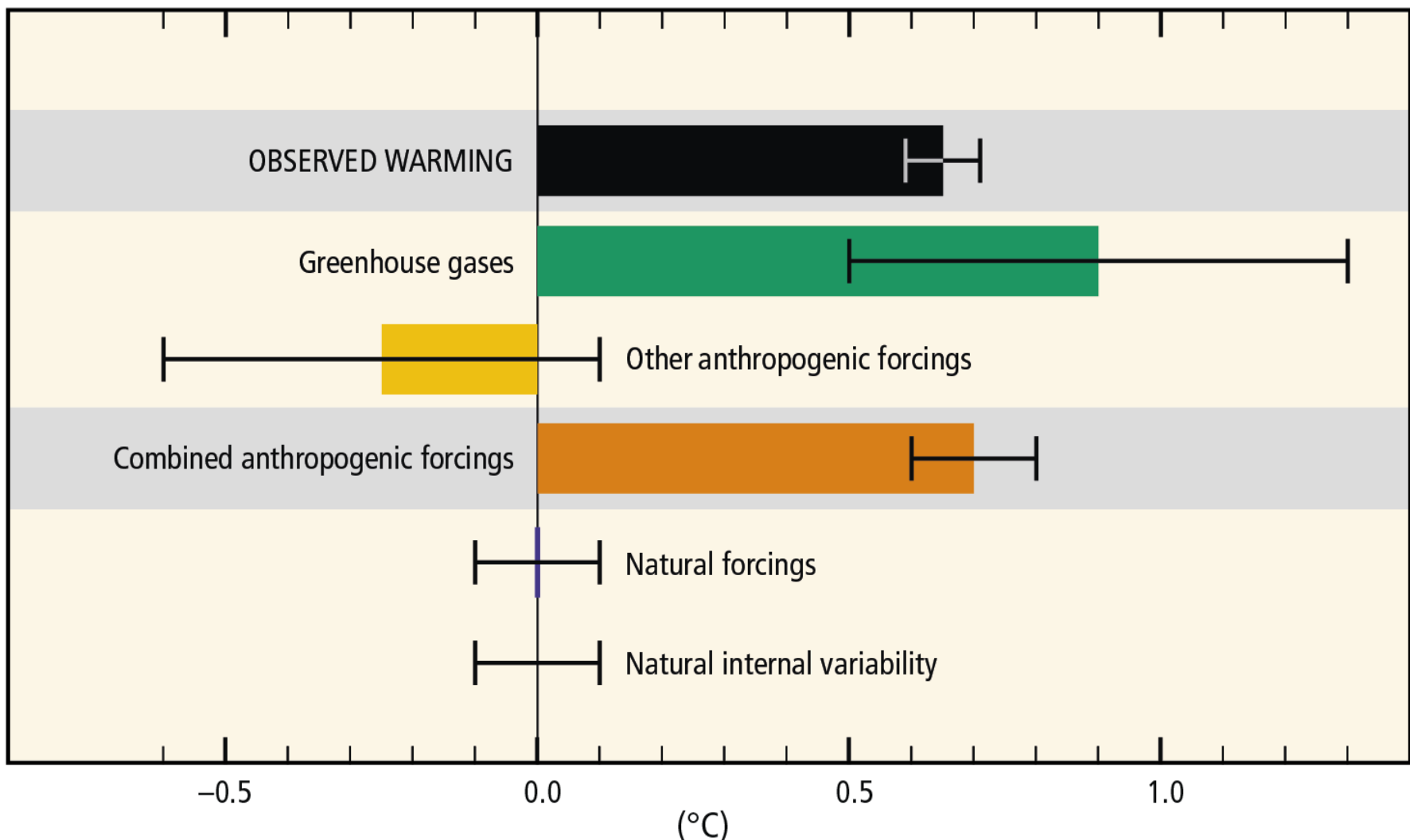


**Figure 6.15** Absorption spectra of chlorofluoromethanes ( $\text{CF}_2\text{Cl}_2$  and  $\text{CFCI}_3$ ) and their coincidence with the atmospheric window (8,000 to 13,000 nm).

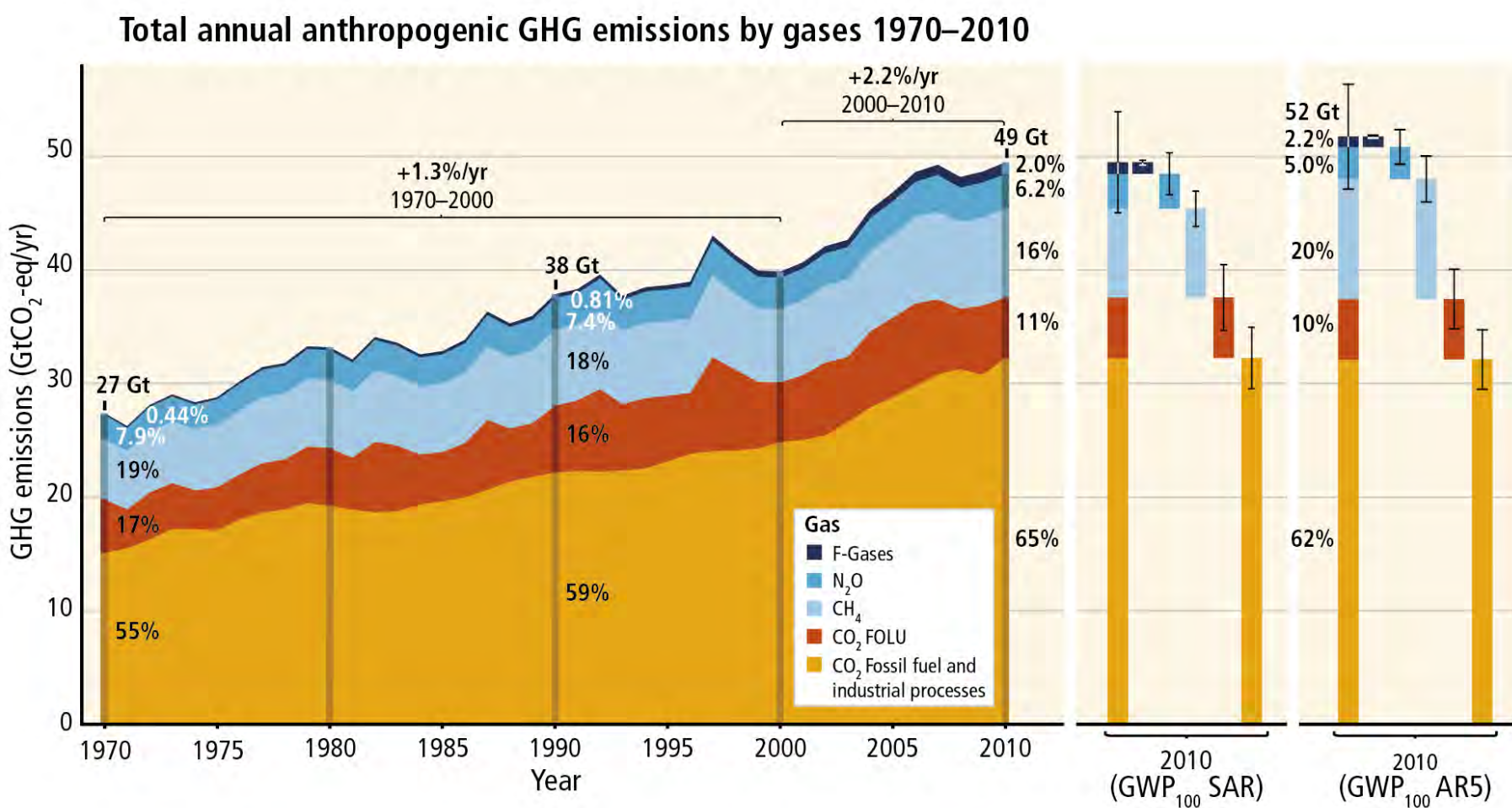


# Contribuições para mudança de temperatura superficial

Contributions to observed surface temperature change over the period 1951–2010

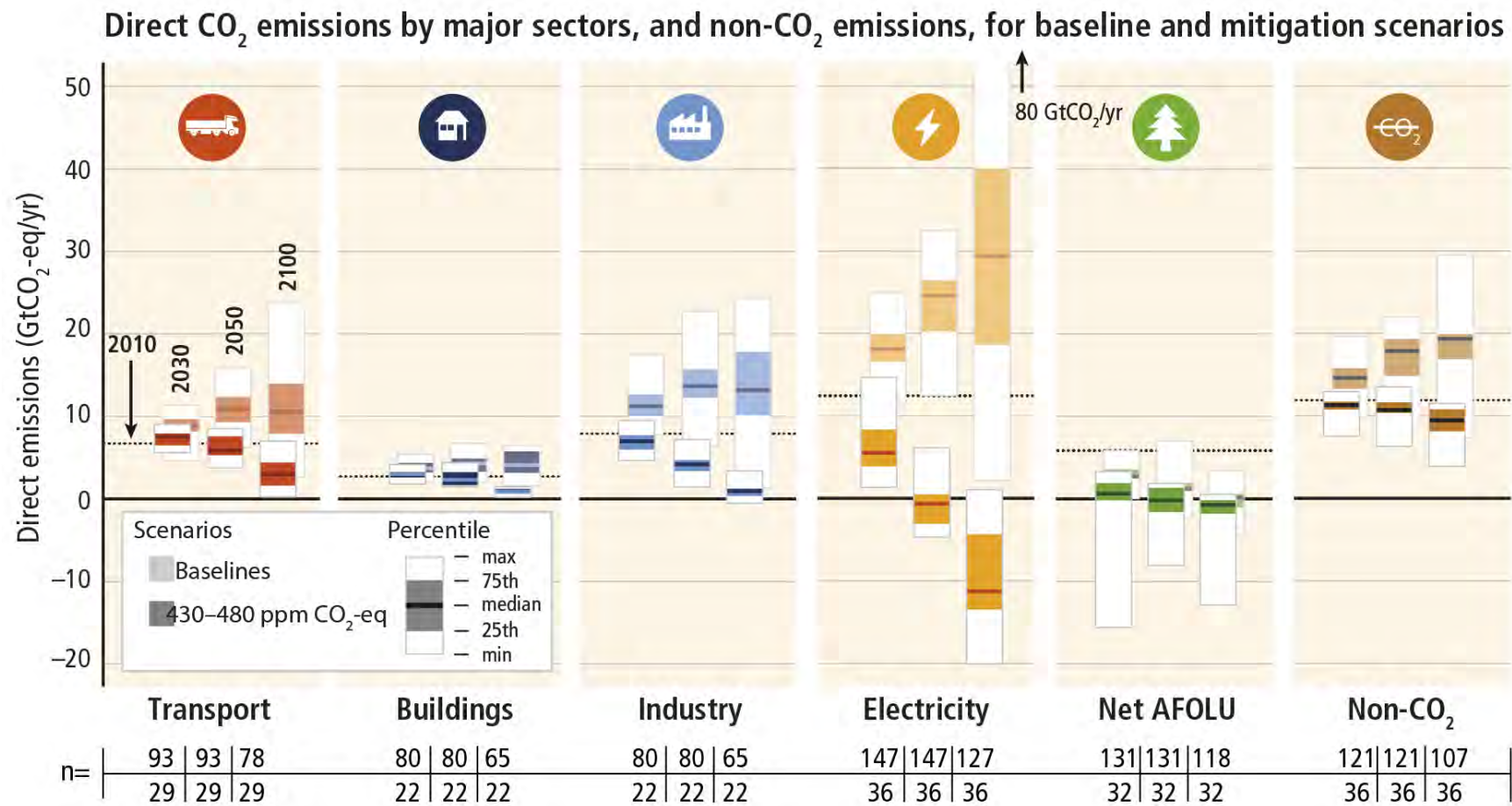


# Emissão total de GHG (“Green House Gases”)



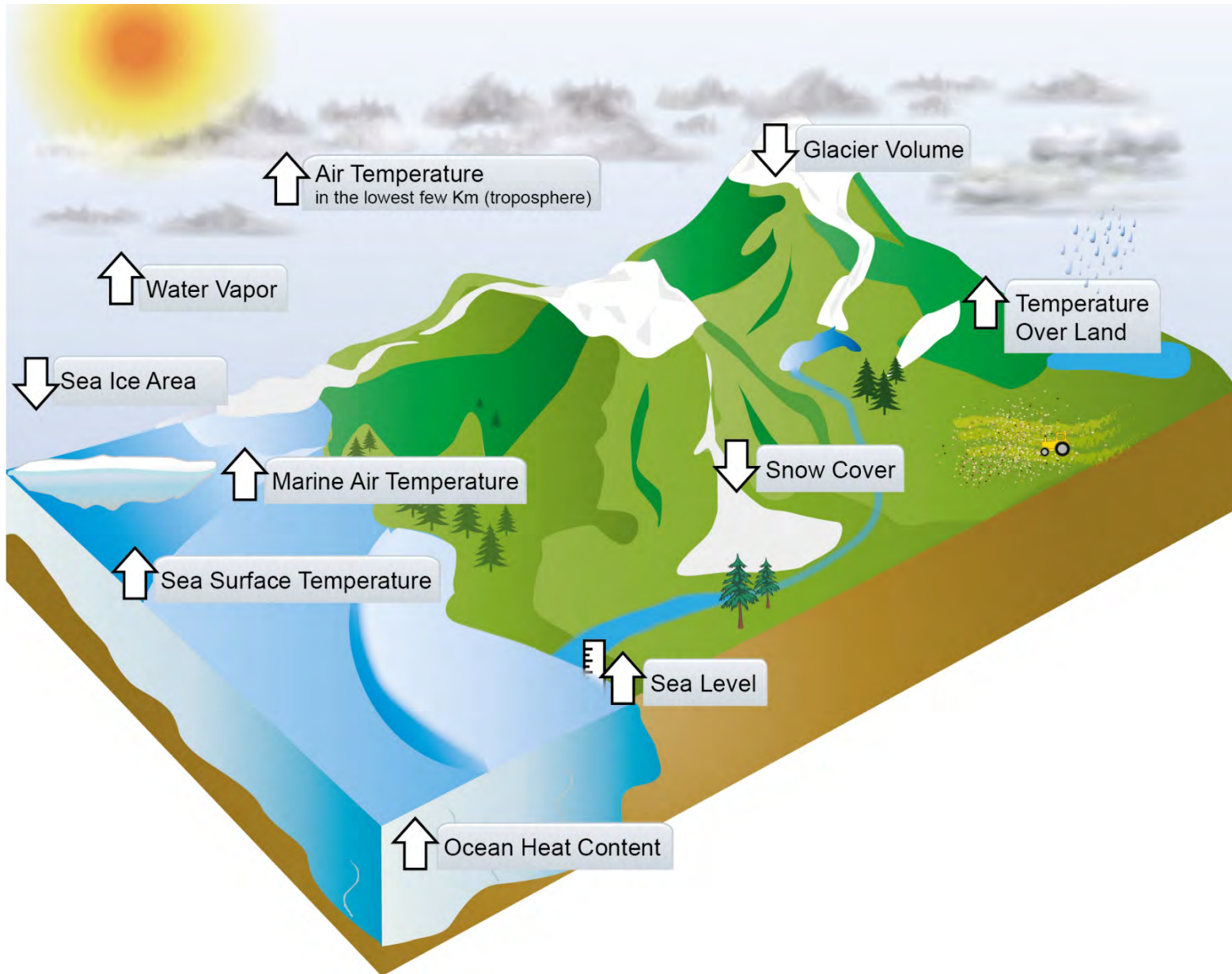


# Fontes de emissões



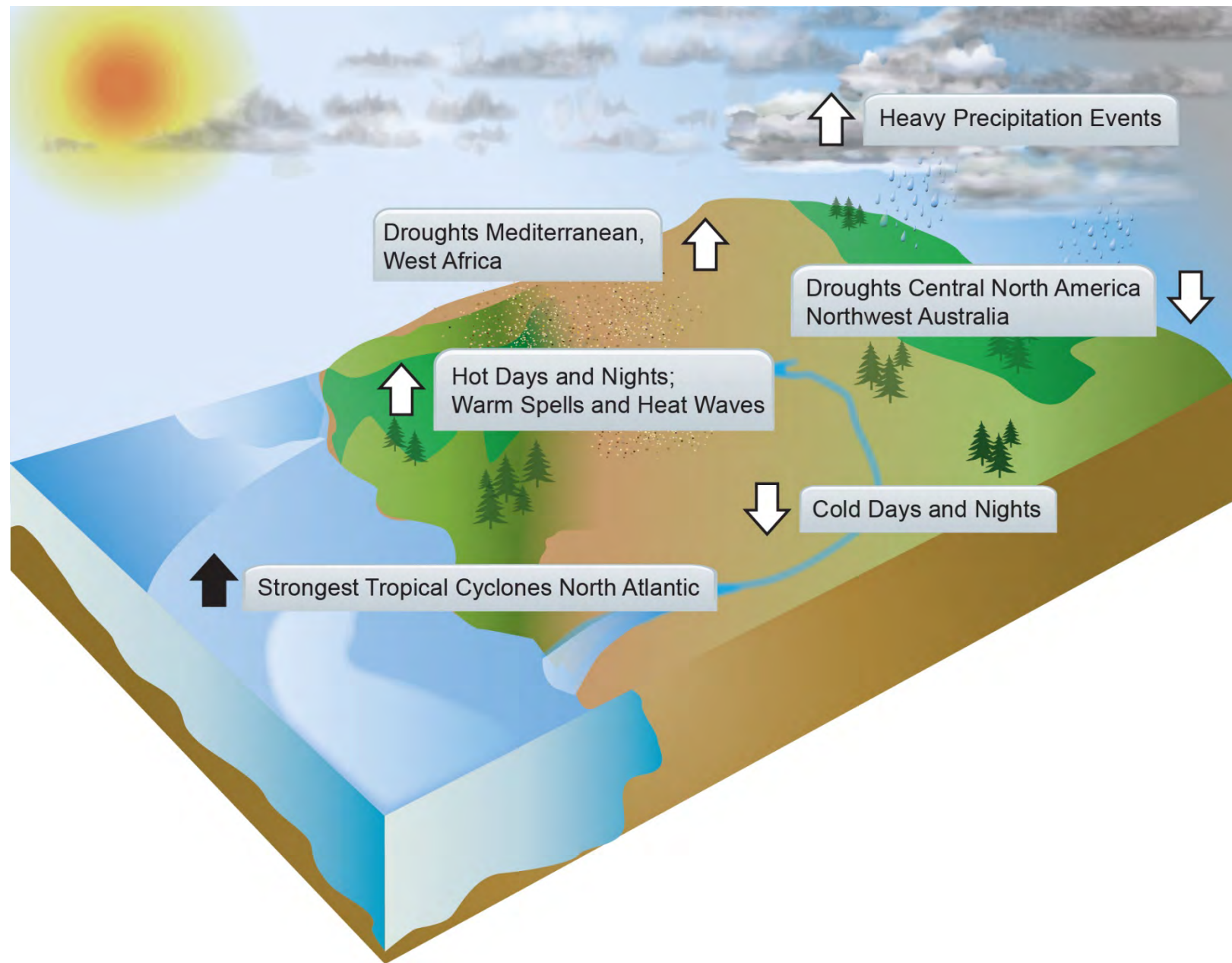


# Efeitos





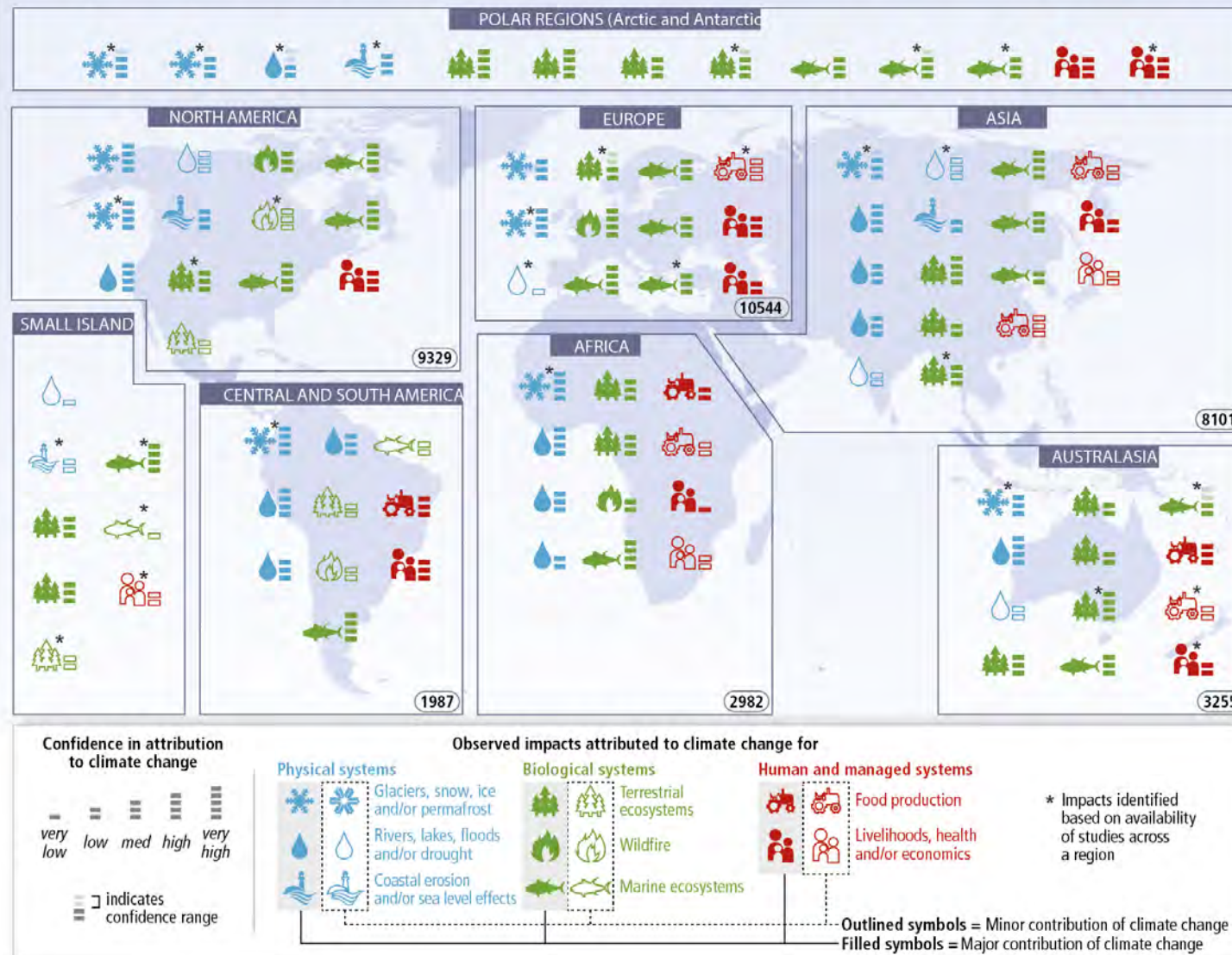
# Efeitos





# Impactos atribuídos à mudança climática

Widespread impacts attributed to climate change based on the available scientific literature since the AR4





# Distribuição de água é desigual!

**TABLE 10.1 ANNUAL WATER SUPPLY AND WITHDRAWAL FOR CONTINENTS AND VARIOUS COUNTRIES**

Continents/ countries	Water supply			Water withdrawal		Per capita use/supply ratio (%)	Status <sup>†</sup>
	Total (km <sup>3</sup> )	Per km <sup>2</sup> (m <sup>3</sup> )	Per capita (m <sup>3</sup> )	Total* (km <sup>3</sup> )	Per capita (m <sup>3</sup> )		
World	41,022	314,386	6,761.5	3,240.0	534.0	7.9	Potential problems
Africa	3,996	134,842	4,995.0	145.1	181.4	3.6	Potential problems
Kenya	20	35,492	665.8	2.1	67.6	10.1	Scarcity
Congo, D.R.	935	412,430	17,992.9	0.4	6.9	0.0	Surplus
North America <sup>‡</sup>	6,365	302,698	14,373.2	608.4	1,373.9	9.6	Surplus
Mexico	357	187,249	3,586.9	77.6	779.0	21.7	Potential problems
Canada	2,850	309,024	92,624.5	45.1	1,466.0	1.6	Surplus
South America	9,526	543,435	27,628.7	106.2	308.0	1.1	Surplus
Peru	40	31,250	1,474.1	6.1	224.8	15.3	Stress
Brazil	5,190	613,728	30,508.8	36.5	214.4	0.7	Surplus
Asia	13,207	428,038	3,584.4	1,633.9	443.4	12.4	Potential problems
China	2,800	301,367	2,214.3	460.0	363.8	16.4	Potential problems
Indonesia	2,530	1,396,579	11,922.3	16.6	78.2	0.7	Surplus
Europe	6,235	275,826	8,570.3	455.3	625.9	7.3	Potential problems
Poland	49	162,276	1,278.2	12.3	317.7	24.9	Stress
Russia	4,313	255,363	29,695.5	77.1	530.9	1.4	Surplus
Oceania	1,614	190,105	52,072.6	16.7	539.7	1.0	Surplus
Australia	343	44,648	17,864.6	14.6	760.4	4.3	Surplus
Papua New Guinea	801	1,768,759	166,528.1	0.1	20.8	0.0	Surplus

\*Total water withdrawals are for various years ranging from 1980 to 1995 as provided in WRI (1999).

<sup>†</sup>Refers to per capita water supply:

Water surplus: >10,000 m<sup>3</sup>/capita

Potential water management problems: >2,000 m<sup>3</sup>/capita <10,000 m<sup>3</sup> capita

Water stress: >1,000 m<sup>3</sup>/capita <2,000 m<sup>3</sup> capita

<sup>‡</sup>Includes Central America

Sources: Population data is for mid-2000, as reported in the Population Reference Bureau (2000), *2000 World Population Data Sheet*, Washington, DC.

Other data from the World Resources Institute (in collaboration with the United Nations Environment Programme and the United Nations Development Programme) (1999). *World Resources 1998–1999* (Oxford, UK: University Press).

Spiro & Stigliani, *Chemistry of the Environment*, 2nd ed., 2002.



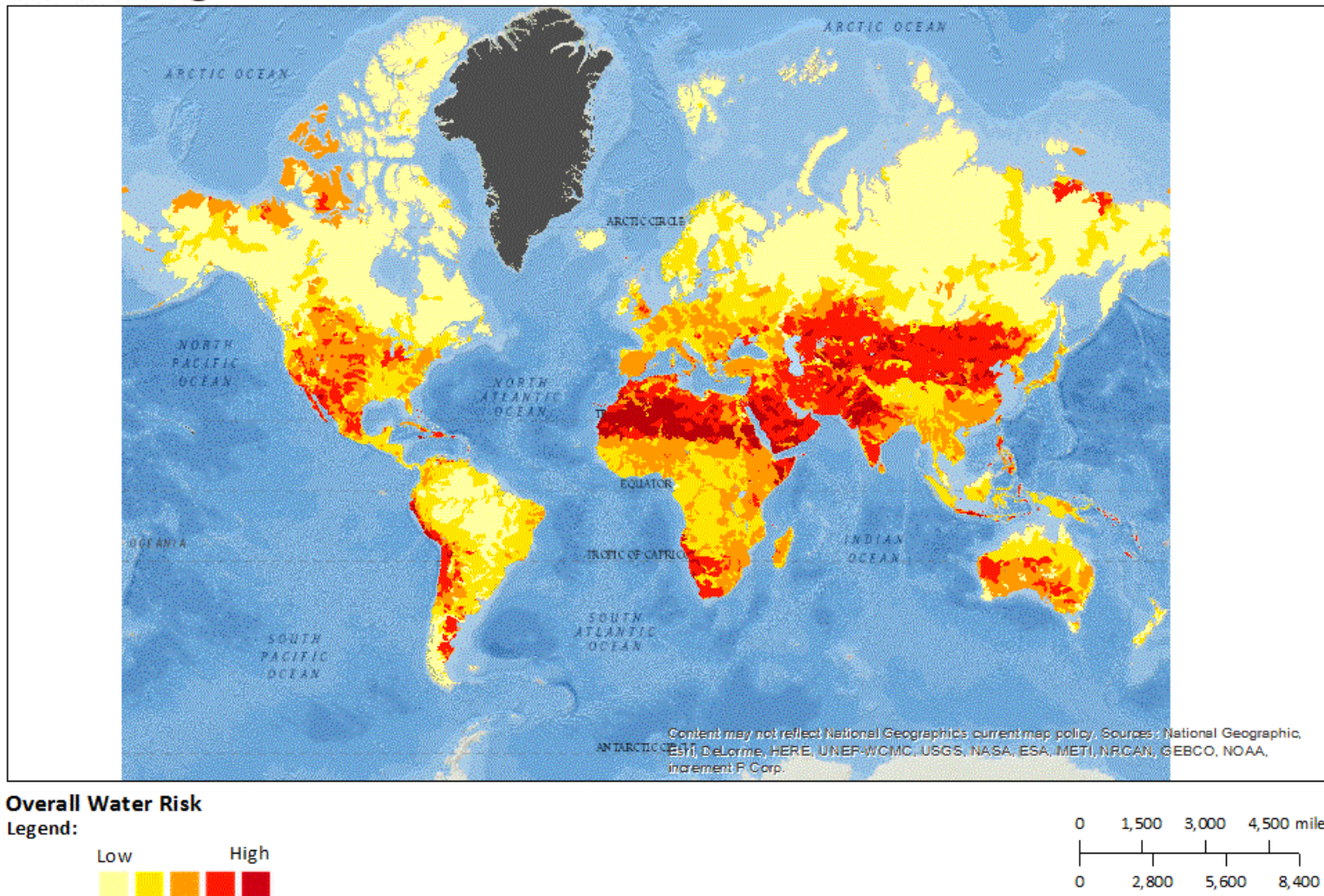
# Risco Hídrico



# Risco Hídrico



Wednesday, August 9, 2017



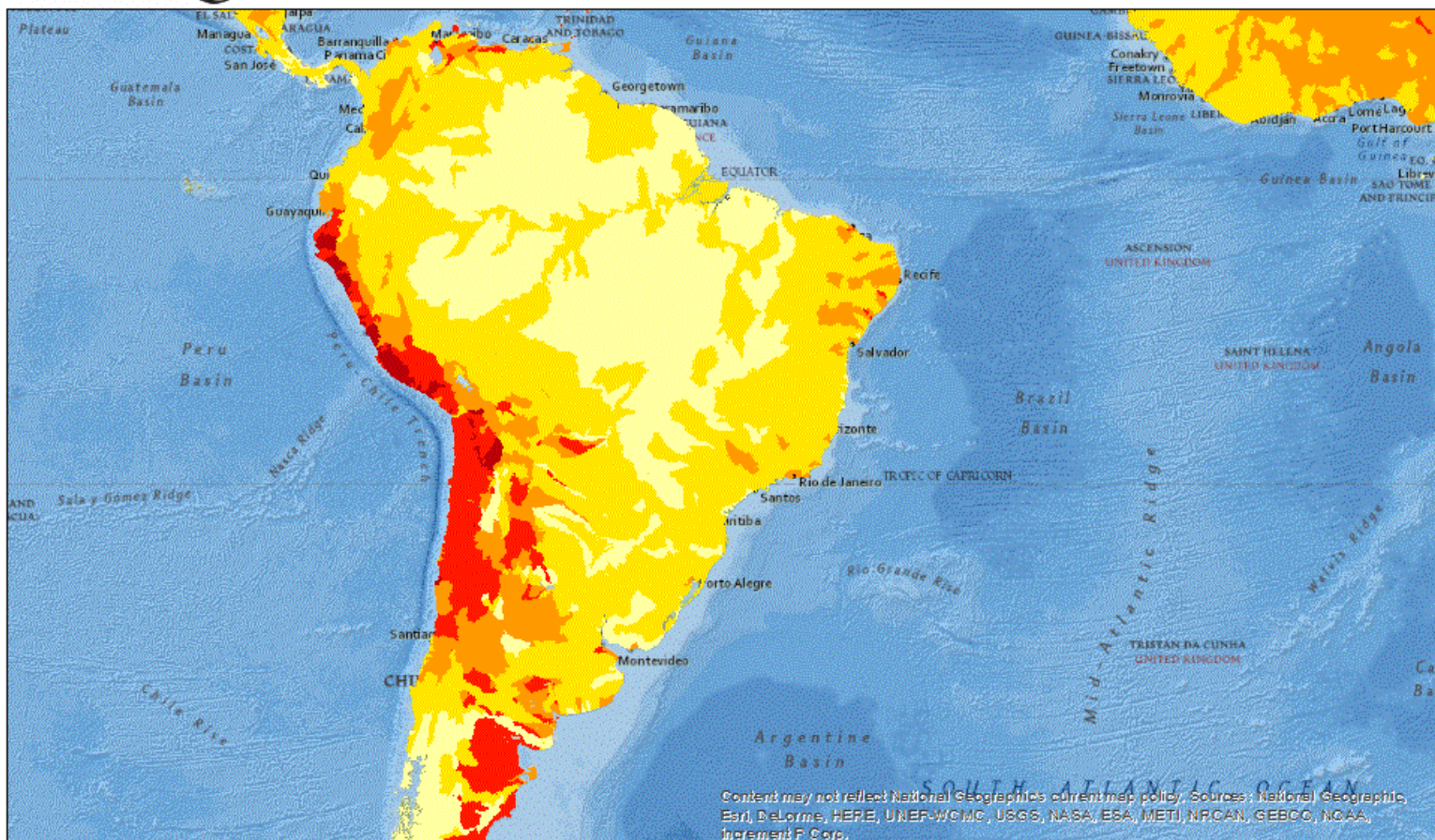
<http://www.wri.org/our-work/project/aqueduct/aqueduct-atlas>



# Risco Hídrico

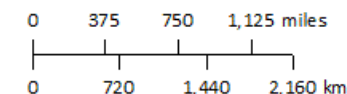


Wednesday, August 9, 2017



## Overall Water Risk

Legend:



<http://www.wri.org/our-work/project/aqueduct/aqueduct-atlas>



# Uso de água

**TABLE 10.2 USES OF WATER FOR CONTINENTS AND COUNTRIES**

Continents/countries	Domestic (%)	Industry/power (%)	Agriculture (%)
World	8	23	69
Africa	7	5	88
Kenya	20	4	76
Congo, D.R.	61	16	23
North America*	12	41	47
Mexico†	6	8	86
Canada†	18	70	12
South America	18	23	59
Peru†	19	9	72
Brazil†	22	19	59
Asia	6	9	85
China†	6	7	87
Indonesia†	13	11	76
Europe	14	55	31
Poland†	13	76	11
Russia	19	62	20
Oceania	64	2	34
Australia†	65	2	33
Papua New Guinea†	29	22	49

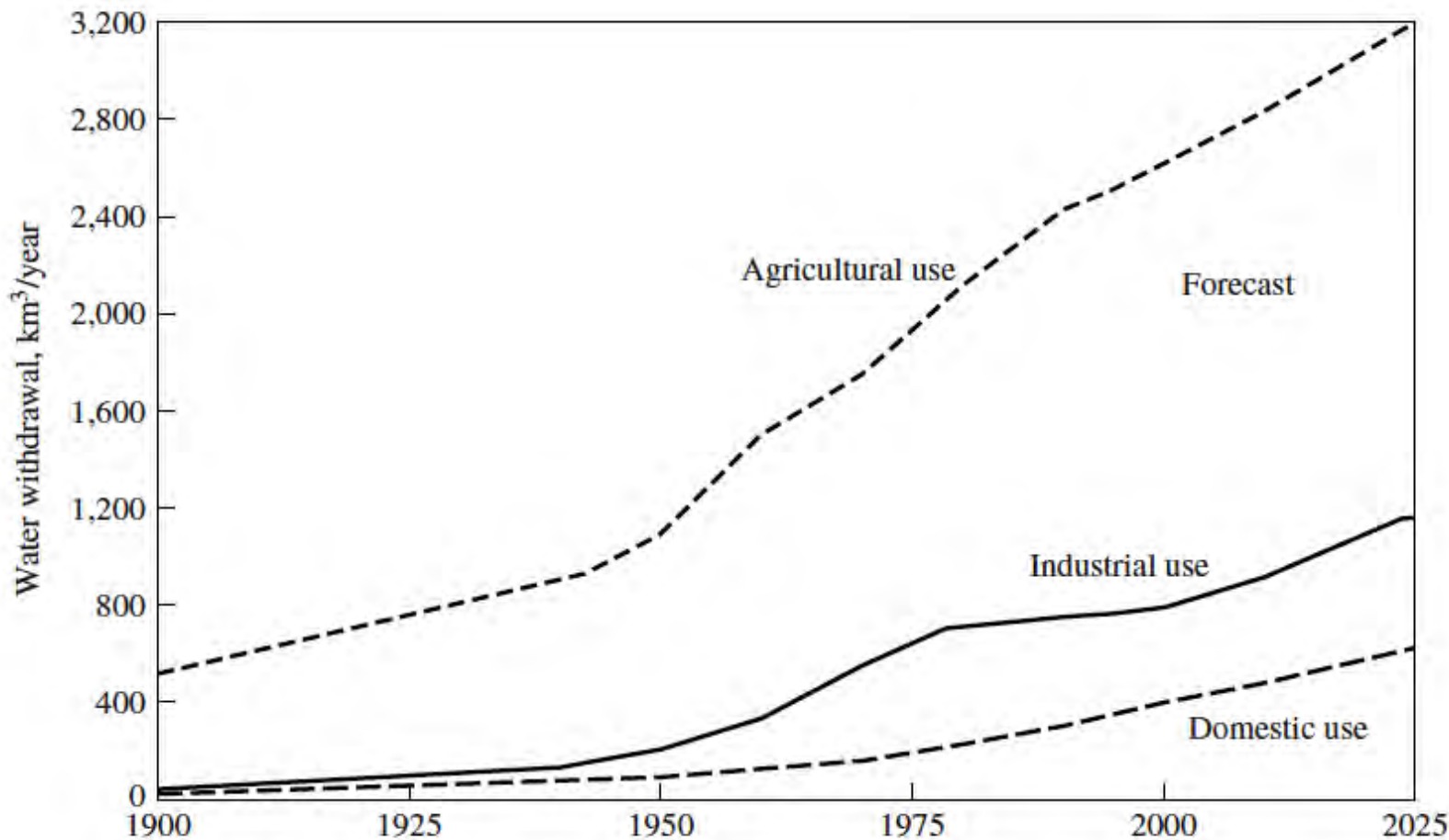
\*Includes Central America

†Sectoral withdrawal estimates are for 1987

Source: World Resources Institute (in collaboration with the United Nations Environment Programme and the United Nations Development Programme) (1999). *World Resources 1998–1999* (Oxford, UK: University Press).



# Uso de água

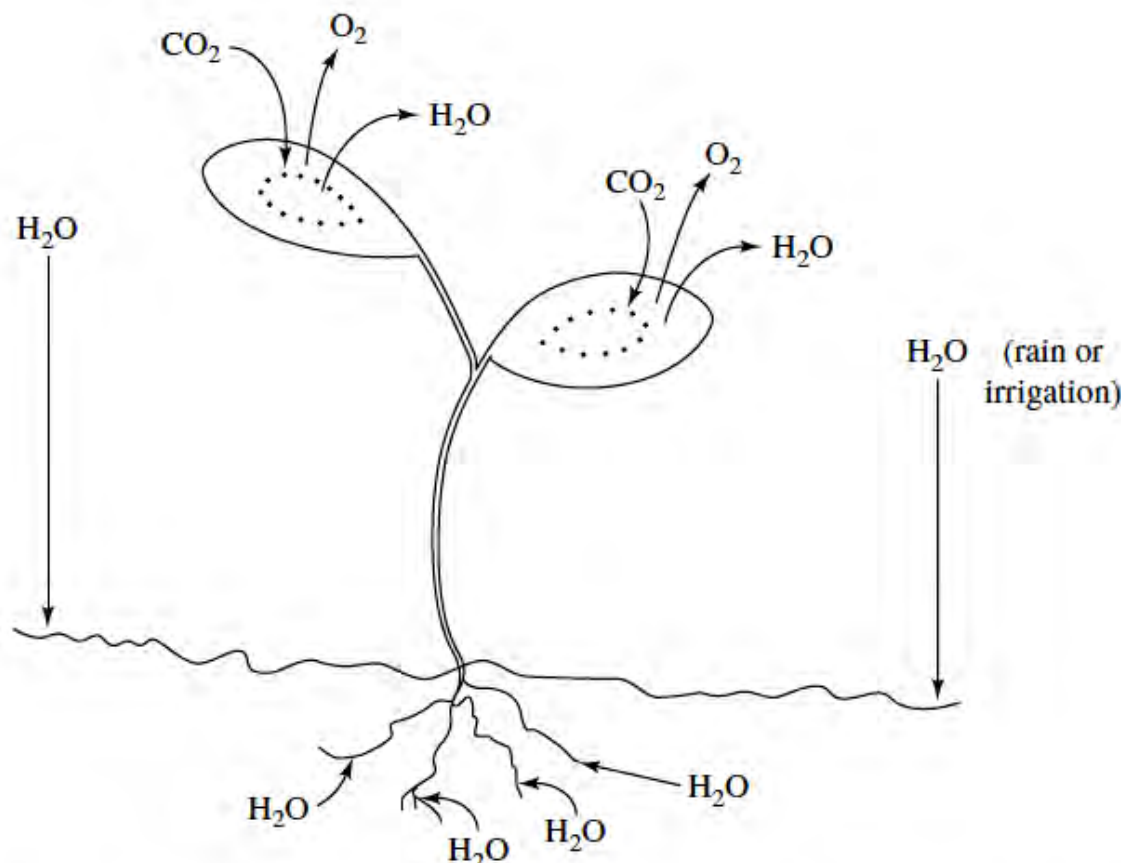


**Figure 10.2** Global water use, 1900 to 2025. *Source:* I. A. Shiklomanov (ed.) (1999). *World Water Resources at the Beginning of the 21<sup>st</sup> Century* (St. Petersburg, Russia: State Hydrological Institute/UNESCO).

Spiro & Stigliani, *Chemistry of the Environment*, 2nd ed., 2002.



# Uso de água: Agricultura



**Figure 10.3** Exchange of gases on the stomata of leaves, and loss of water through transpiration.

*Perde-se ao redor de 60% da água de irrigação antes de atingir a planta*

*Spiro & Stigliani, Chemistry of the Environment, 2nd ed., 2002.*



# Contaminação



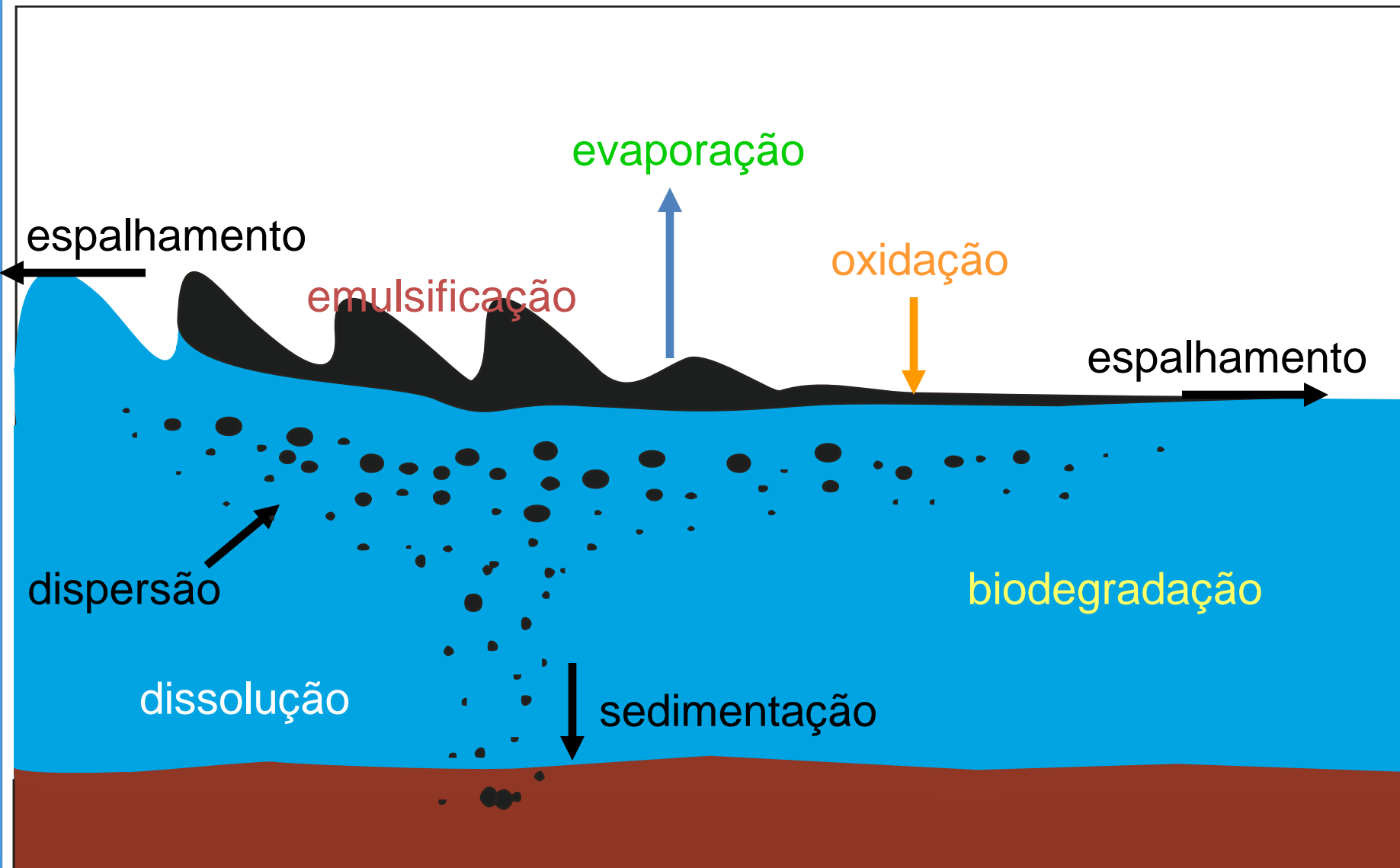
# Contaminação



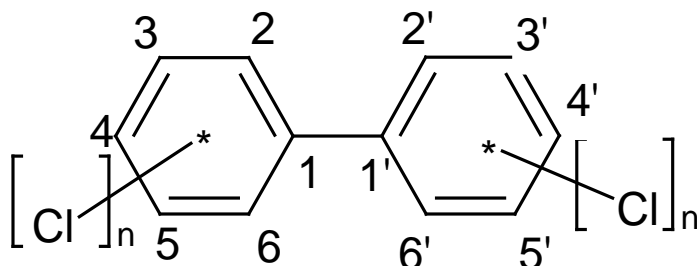
© EPA

[http://i.dailymail.co.uk/i/pix/2011/04/14/article-0-005C279C00000258-805\\_634x440.jpg](http://i.dailymail.co.uk/i/pix/2011/04/14/article-0-005C279C00000258-805_634x440.jpg)

# Derrame de Petróleo

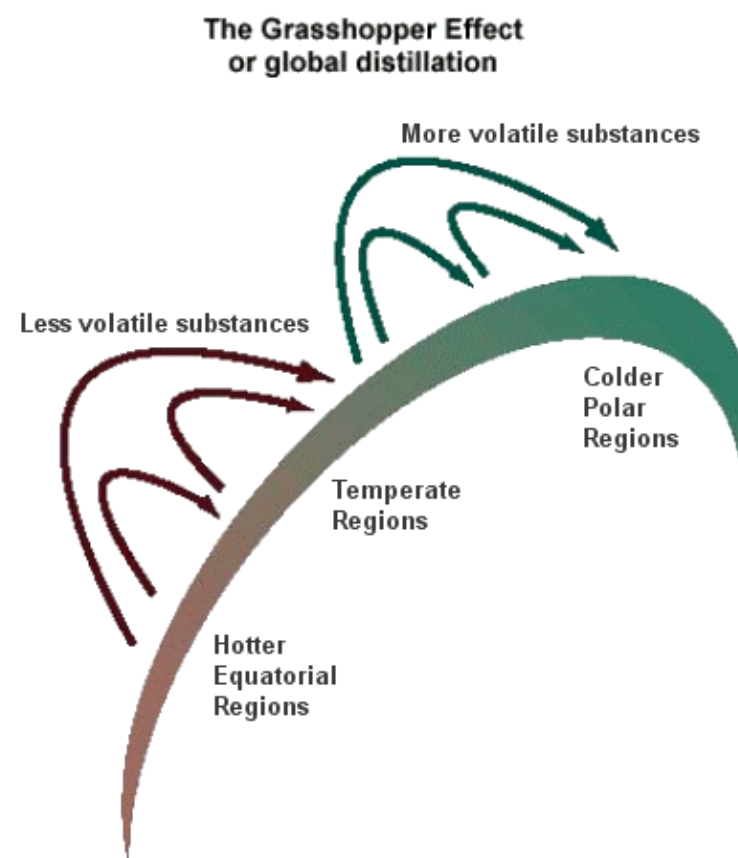


# Bifenilas Policloradas (PCBs)



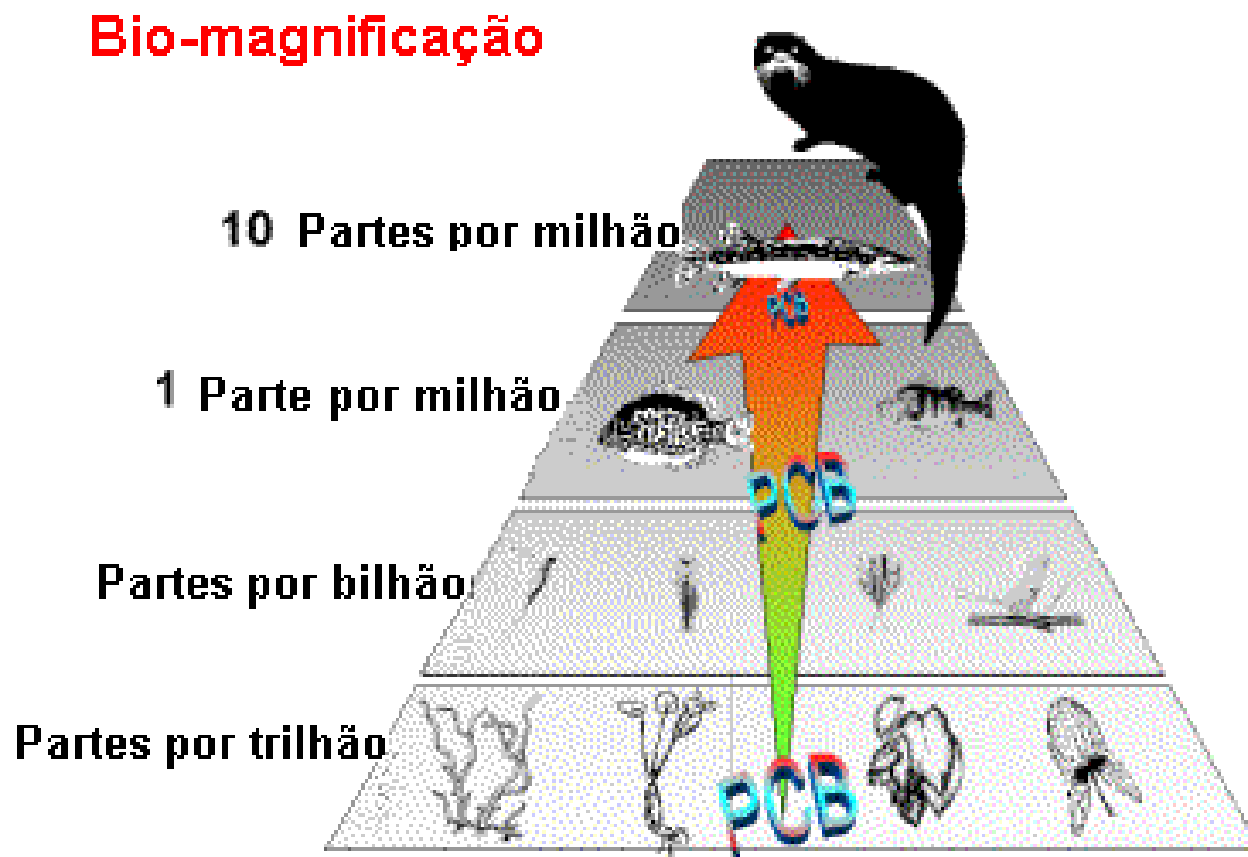
## Bifenila policlorada

- Persistentes
- Distribuição Global
- Bioacumulação



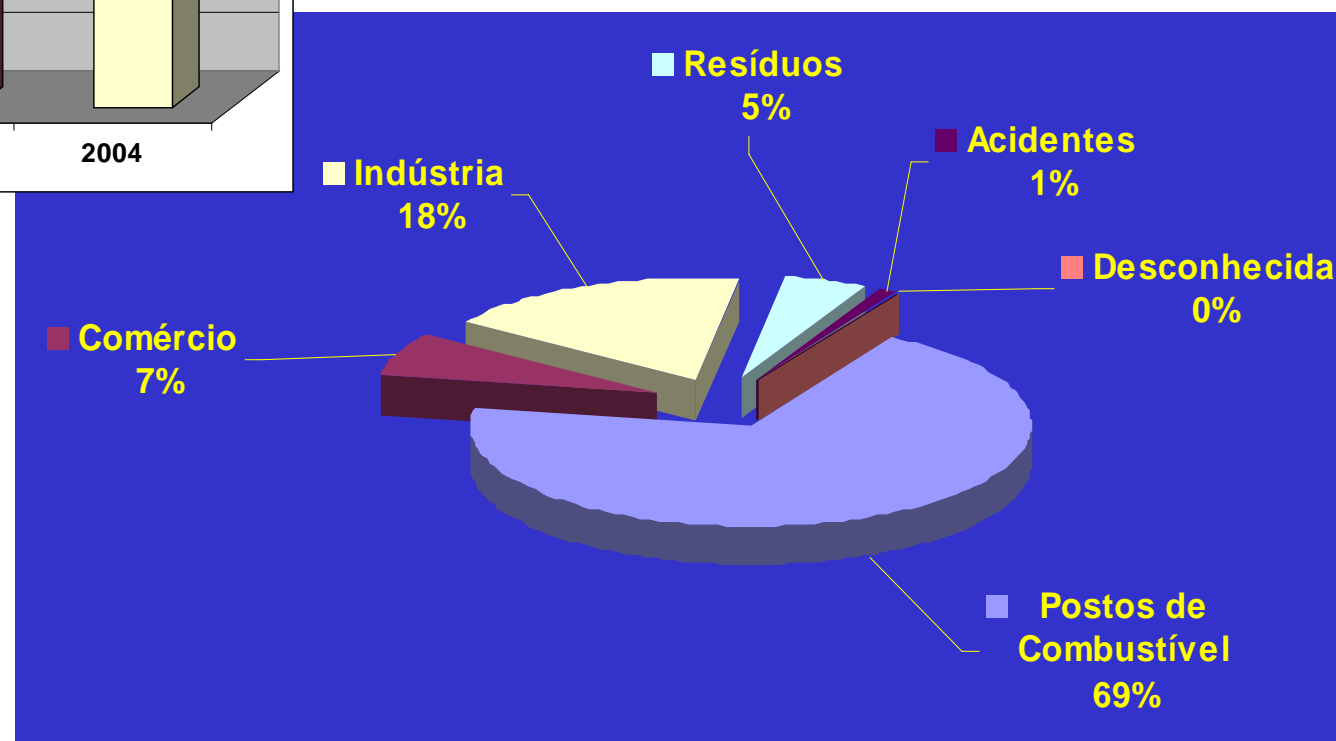
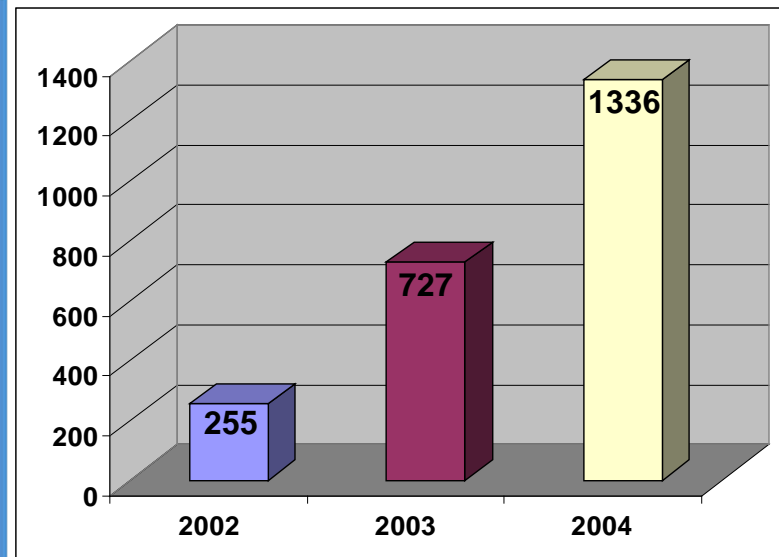


# Bifenilas Policloradas (PCBs)





# Áreas Contaminadas em SP





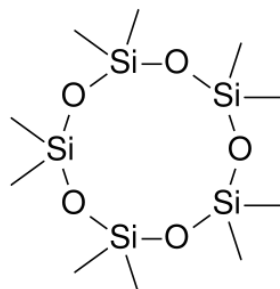
# **Espécies químicas de interesse ambiental**

# Espécies químicas no desodorante

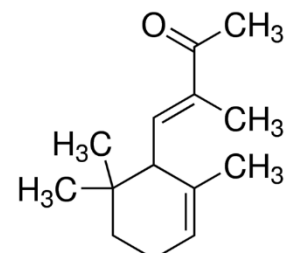


**INGREDIENTES:** BUTANO/ISOBUTANO/PROPANO, CLORHIDRATO DE CICLOMICONA, PPG-14 BUTIL ETER, PERFUME, HECTORITA DE DIESTEARDIMONIO, SODIO CAPRÍLICO/CAPRÍCO, SILICA HIDRATADA, CROSPOLIMERO DE GELATINA, AGUA, GOMA DE BENZOATO DE SODIO, BHT, OCTENILSUCCINATO DE ALMIDON Y SODIO, MALTODEXTRINA, FICULINA, SILICE, PROPILEN CARBONATO, ALFA-ISOMETILIONONA, SALICILATO DE BENCIL, ALFAMIL, ALFAMILPROPIONAL, CITRAL, CITRONELOL, COUMARIN, GERANIOL, LIMONENE, LINALOOL. **ADVERTENCIAS:** INFLAMABLE. NO PULVERIZAR CERCA DE LLAMA. NO USAR EN PELUSAS MAYORES A 50 °C. NO APLICAR EN OJOS.

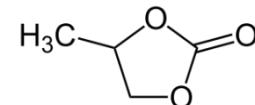
SODIUM STARCH, SILICA, PROPYLENE CARBONATE, BHT, SODIUM BENZYL SALICYLATE, BUTYLPHENYL METHYLPROPIONAL, CITRAL, CITRONELLA HYDROXYCITRONELLAL, LIMONENE, LINALOOL. INGREDIENTES: BUTANODISOBUTYL DE ALUMINIO, CICLOMETICONA, PPG-14 BUTIL ÉTER, PERFUME, HECTOCOTYL TRIGLICERIDO CAPRÍLICO/CÁPRICO, SILICA HIDRATADA, CROSPOLÍMERO DE CELULOSA, BENZOATO DE SODIO, BHT, OCTENILSUCINATO DE ALMIDÓN Y SODIO DE MAÍZ HIDROGENADA, SILICE, PROPILEN CARBONATO, ALFA-ISOMETILIONINO, BUTILFENIL METILPROPIONAL, CITRAL, CITRONELOL, CUMARINA, GERANIOL, LINALOOL. ADVERTENCIAS: INFLAMABLE. NO PUÉ VERIFICAR CALOR EN  
TEMPERATURAS MAYORES A 50°C.



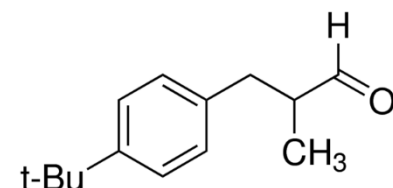
ciclometicona



$\alpha$ -isometil ionona

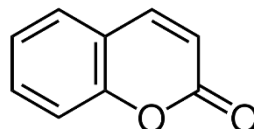


propileno carbonato

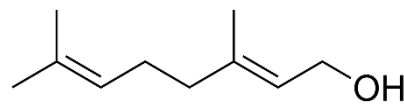


"butilfenil propional"

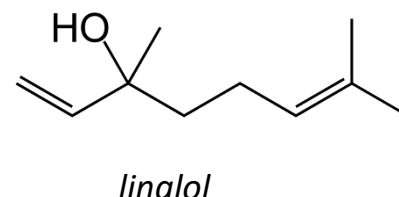
2-(4-*tert*-butylbenzyl)propionaldeído



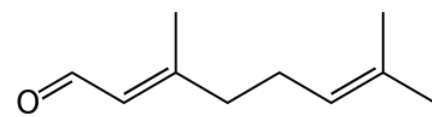
cumarina



geraniol



linalol



citral



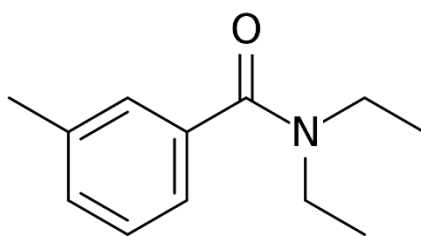
cloreto de alumínio



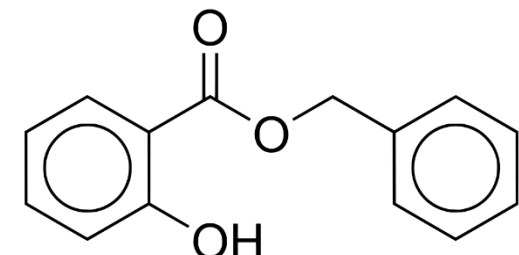
# Espécies químicas no repelente



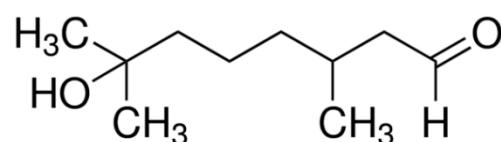
Ingredientes: ...  
**Ingrediente ativo:** Diethyl Toluamide - 15%  
**COMPOSIÇÃO:** Diethyl Toluamide, Alcohol, Parfum, Isobutane / Propane, Benzyl Salicylate, Coumarin, Hydroxycitronellal, Limonene, Linalool, Butylphenyl Methylpropional.  
Fabricado sob licença da Schering-Plough.



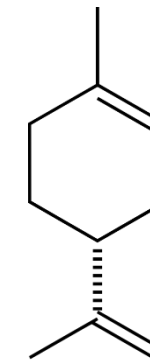
*DEET (dietil toluamida)*



*salicilato de benzila*



*hidroxicitronelal*



*limoneno*



ODONTOLOGO. ENJUAGAR CON AGUA. NO USAR EN NIÑOS MENORES DE 6 AÑOS. MANTENGA FUERA DEL ALCANCE DE LOS NIÑOS. PRODUCTO SIN ACCIÓN TÉTRICA.

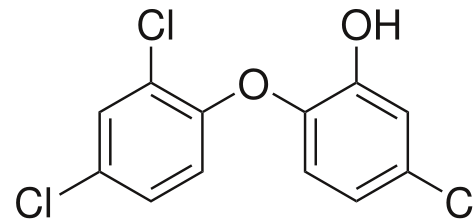
RECIBIENDO FLUOR DE OTRAS FUENTES, CONSULTE UN ODONTOLOGO O DOCTOR. NO USAR EN NIÑOS MENORES DE 6 AÑOS. MANTENGA FUERA DEL ALCANCE DE LOS NIÑOS.

INGREDIENTES ACTIVOS: FLUORURO DE SODIO 0,32% (1450 PPM DE FLÚOR), TRICLOSANO 0,3%. INGREDIENTES: AQUA / AGUA, SORBITOL, HYDRATED SILICA / SÍLICA HIDRATADA, PVM/MA COPOLYMER / COPOLÍMERO PVM/MA, SODIUM LAURYL SULFATE / LAURILSULFATO DE SODIO, AROMA / SABOR, CARRAGEENAN / CARRAGENINA, SODIUM HYDROXIDE / HIDROXIDO DE SODIO / SODIUM FLUORIDE / FLUORURO DE SODIO, TRICLOSANO, SODIUM SACCHARIN / SACARINA SÓDICA, CI 77891 / DIÓXIDO DE TITANIO (CI 77891), CI 77019 / MICA (CI 77019), CI 42090 / FD&C AZUL N°1 (CI 42090), LIMONENE / DIPENTENO, CINNAMAL / CINAMALDEHÍDO, EUGENOL. CONTÉM FLUORETO DE SÓDIO / CONTIENE FLUORURO DE SODIO (1450 PPM DE FLÚOR).

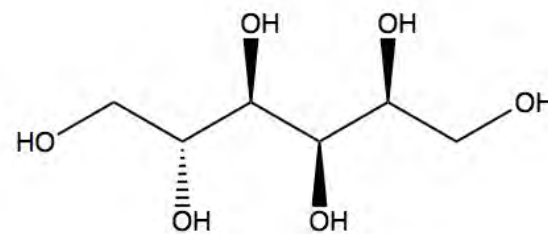
FABRICADO EN/NO BRASIL POR COLGATE-PALMOLIVE INDUSTRIAL LTDA, V. ANCHIETA, KM 14, S.B. CAMPO, SP - CEP 09696-000 - CNPJ 03.816.532/0001-90 / MS-2.457.000-5. IMPORTADO Y DISTRIBUIDO POR: COLGATE-PALMOLIVE COMERCIAL LTDA, RUA G. SIN#, ROD. DOS IMIGRANTES KM 3,5, CEP 13.220-000, S.P. / PARAGUAY S.A. AVDA. AVADORES DE LIBERTAD KM 100, CALLE 101, PARQUE INDUSTRIAL, ASUNCIÓN, PARAGUAY. 100% RECICLABLE.



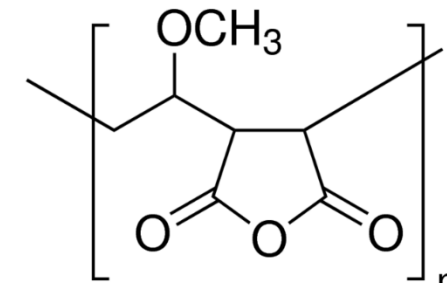
# Espécies químicas no creme dental



triclosano

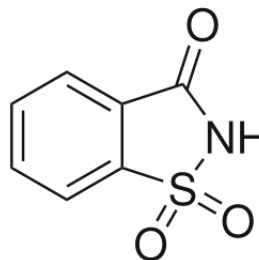


sorbitol

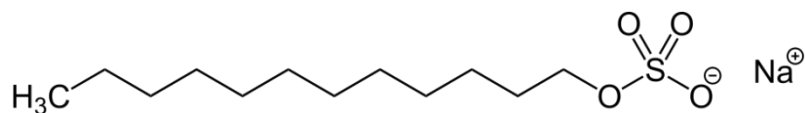


Copolímero PVM/MA

Copolímero poli(vinilmetiléter)-alt-(anidrido maleico)



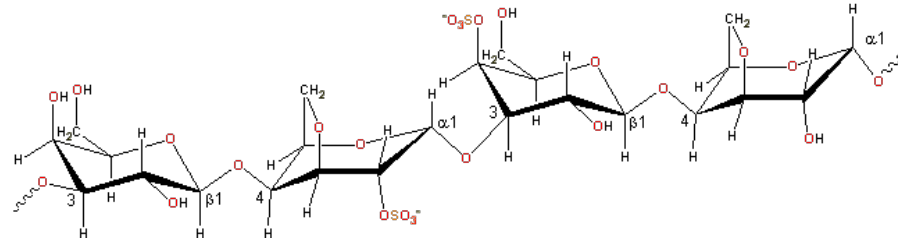
sacarina



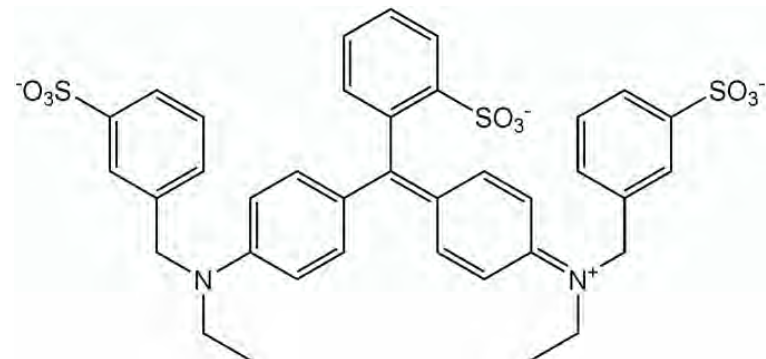
laurilsulfato de sódio (SDS)



dióxido de titânio



carrageenan



FD&C Azul no. 1 (Brilliant Blue FCF)



## *A poluição interior, por David Ewing Duncan*

*“Na verdade, sou um escritor empenhado em uma jornada de autodescoberta química. No outono passado, fui submetido a exames para detectar **320 substâncias químicas** que poderia ter ingerido juntamente com alimentos e bebidas, com o ar que respiro e através de produtos que entram em contato com a minha pele. Eles incluem substâncias químicas a que posso ter sido exposto décadas atrás, como o **DDT** e as bifenilas policloradas (**PCBs**, polychlorinated biphenyls); poluentes, como **chumbo, mercúrio e dioxinas**; **pesticidas** mais recentes; **ingredientes de plástico**; e os compostos quase milagrosos que nos espreitam a vida moderna, como xampus cheirosos, panelas antiaderentes e tecidos resistentes à água e ao fogo.”*

National Geographic  
Edição 79/ Outubro de 2006  
<http://viaje aqui.abril.com.br/materias/a-poluicao-interior>



## OS EXAMES REALIZADOS PELO AUTOR



David Ewing Duncan submeteu-se a uma bateria de exames de sangue e urina para detectar resquícios de substâncias químicas, metais e poluentes acumulados desde seu nascimento. Seu perfil químico nada deixa a desejar a uma plantação de cereais no meio-oeste americano em termos de variedade de pesticidas – de 28 testados, 16 estavam em seu corpo. Também não convém atear fogo a ele, pois seu sangue é rico em BDE-47, retardante de fogo que está sendo retirado do mercado. Será que isso faz de Duncan uma anomalia numa época em que somos tão dependentes de produtos químicos? De maneira nenhuma. Na verdade, é possível que não haja nada de extraordinário em seu perfil. Seus dados estão dentro dos níveis médios dos americanos.



### SUBSTÂNCIAS QUÍMICAS TESTADAS | SUBSTÂNCIAS QUÍMICAS ENCONTRADAS

**BDE-47 (tetra)**  
Resultado: 249 ppb\*  
Média segundo os  
CDC: n/d

**EFEITOS NA SAÚDE (PROVÁVEIS)**  
• tireoide  
• desenvolvimento  
neurológico

Em processo de retirada  
do mercado, o retardante  
de fogo está presente em  
muitos produtos.

**Dieldrin**  
Resultado: 5,11 ppb  
Média segundo os  
CDC: n/d

**EFEITOS NA SAÚDE**  
• sistema neurológico  
• rins  
Pesticida antes usado  
contra cupim e outros  
insetos, ainda é comum.

**p,p-DDE**  
Resultado: 256 ppb  
Média segundo os  
CDC: 295 ppb

**EFEITOS NA SAÚDE (PROVÁVEIS)**  
• Sistema reprodutor  
• fígado

Subproduto do DDT que  
se acumula no corpo,  
com efeitos similares aos  
do pesticida, proibido.

**mMeP**  
Resultado: 34,8 ppb  
Média segundo os  
CDC: 1,15 ppb

**EFEITOS NA SAÚDE (PROVÁVEIS)**  
• Sistema reprodutor  
Faz parte de um grupo de  
substâncias, os ftalatos,  
usadas em plásticos.

**Mercúrio**  
Primeiro exame: 5 mg/l  
Segundo exame: 12 mg/l  
Limite de envenenamento  
segundo os CDC: 10 mg/l

**EFEITOS NA SAÚDE**  
• sistema neurológico  
• sistema reprodutor

O nível desse metal em  
Duncan dobrou depois  
de ele comer linguiça  
gigante e peixe-espada.

**A poluição interior,  
David Ewing Duncan**  
National Geographic

Edição 79 / Outubro de 2006, p. 106

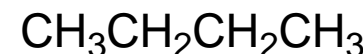
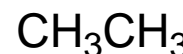


# **Classes de compostos orgânicos de interesse ambiental**



# Hidrocarbonetos

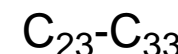
## alifáticos saturados



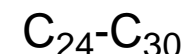
metano

etano

butano



n-alcanos (ímpar)



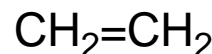
alcanos ramificados

**decomposição microbiana anaeróbica  
atividade industrial**

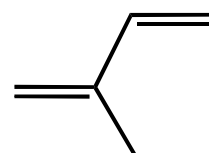
**cera epicuticular de plantas  
ambientes limpos**

**combustão veicular**

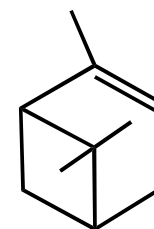
## cíclicos e insaturados (inúmeras fontes)



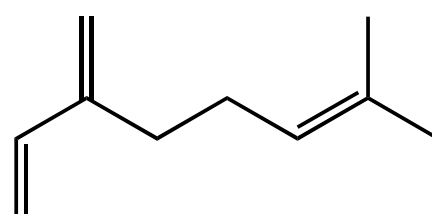
eteno (etileno)



isopreno



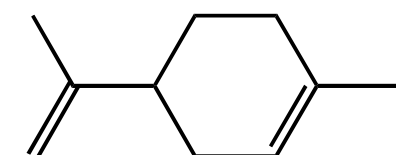
$\alpha$ -pineno



mirceno

**plantas (atividade hormonal em plantas)  
combustão de madeira, carvão, etc.**

plantas

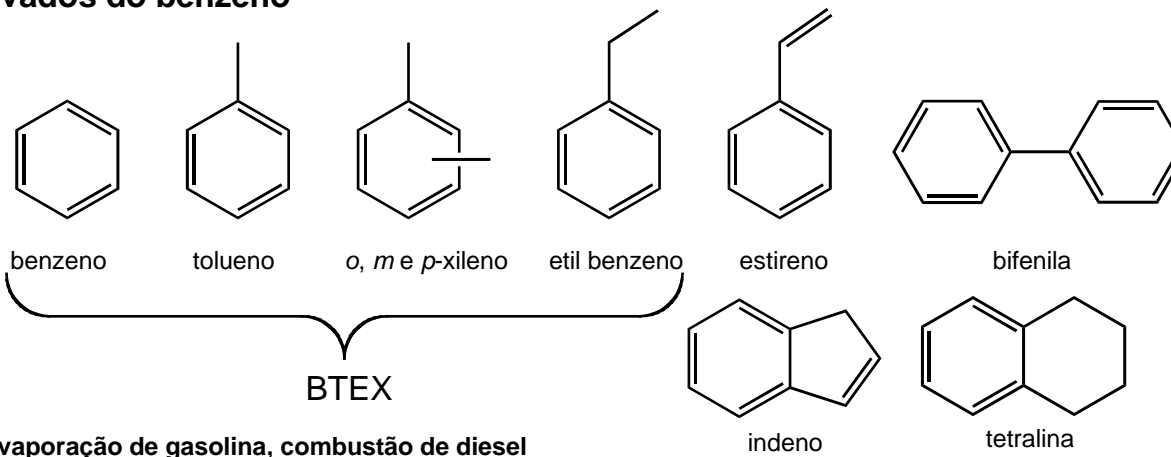


limoneno

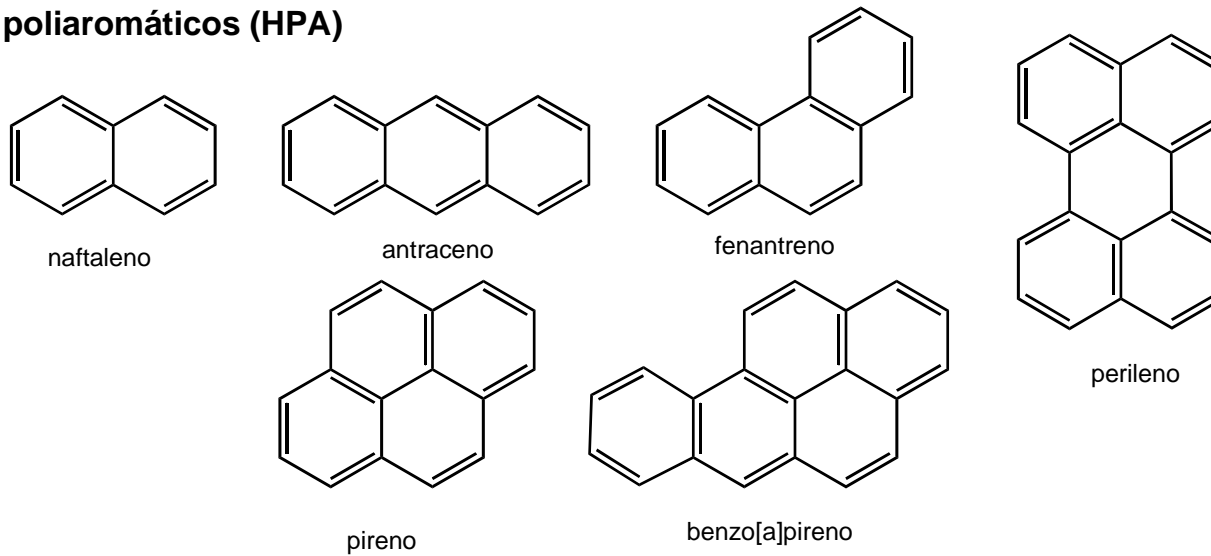


# Hidrocarbonetos

## derivados do benzeno



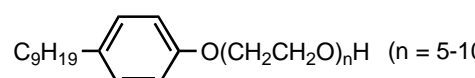
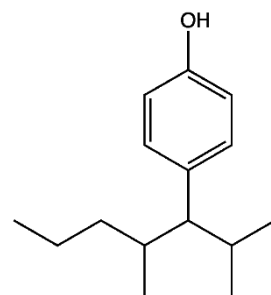
## poliaromáticos (HPA)



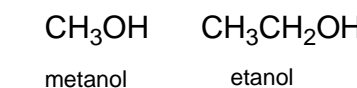
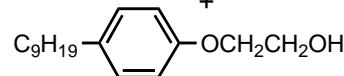
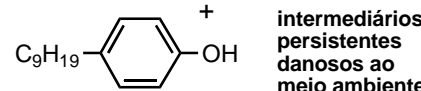
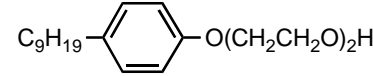
combustão incompleta de compostos orgânicos (automóveis, cigarro, churrasco, torrada, etc.)



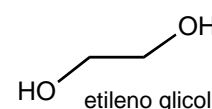
# Álcoois, fenóis e éteres



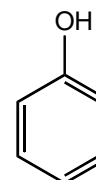
degradação microbiológica  
em estações de tratamento  
de esgoto



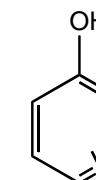
**intermediário químico, solvente, combustível**



**intermediário químico, solvente, agente anticongelamento**

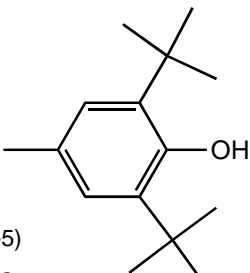


**fenol**

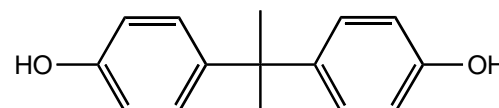


**clorofenol ( $m = 1-5$ )**

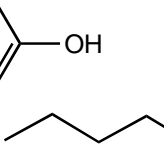
**intermediário químico, biocidas**



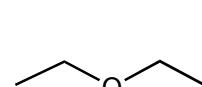
**DBPC  
2,6-di-t-butyl-p-cresol  
antioxidante**



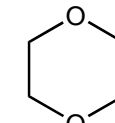
**bisfenol A  
intermediário químico**



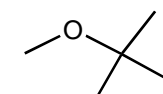
**metabólito de surfactantes não iônicos**



**éter etílico**



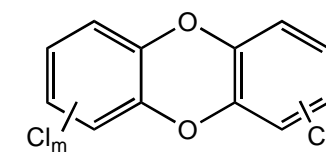
**solventes  
1,4-dioxano**



**MTBE  
metil-t-butil éter**

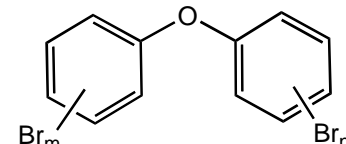


**epicloridrina  
intermediário químico**

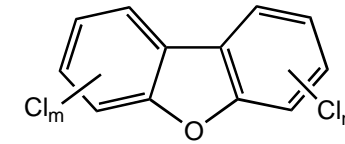


**dibenzo-p-dioxinas policloradas  
(175 representantes)**

**produtos secundários da produção de fenóis clorados**



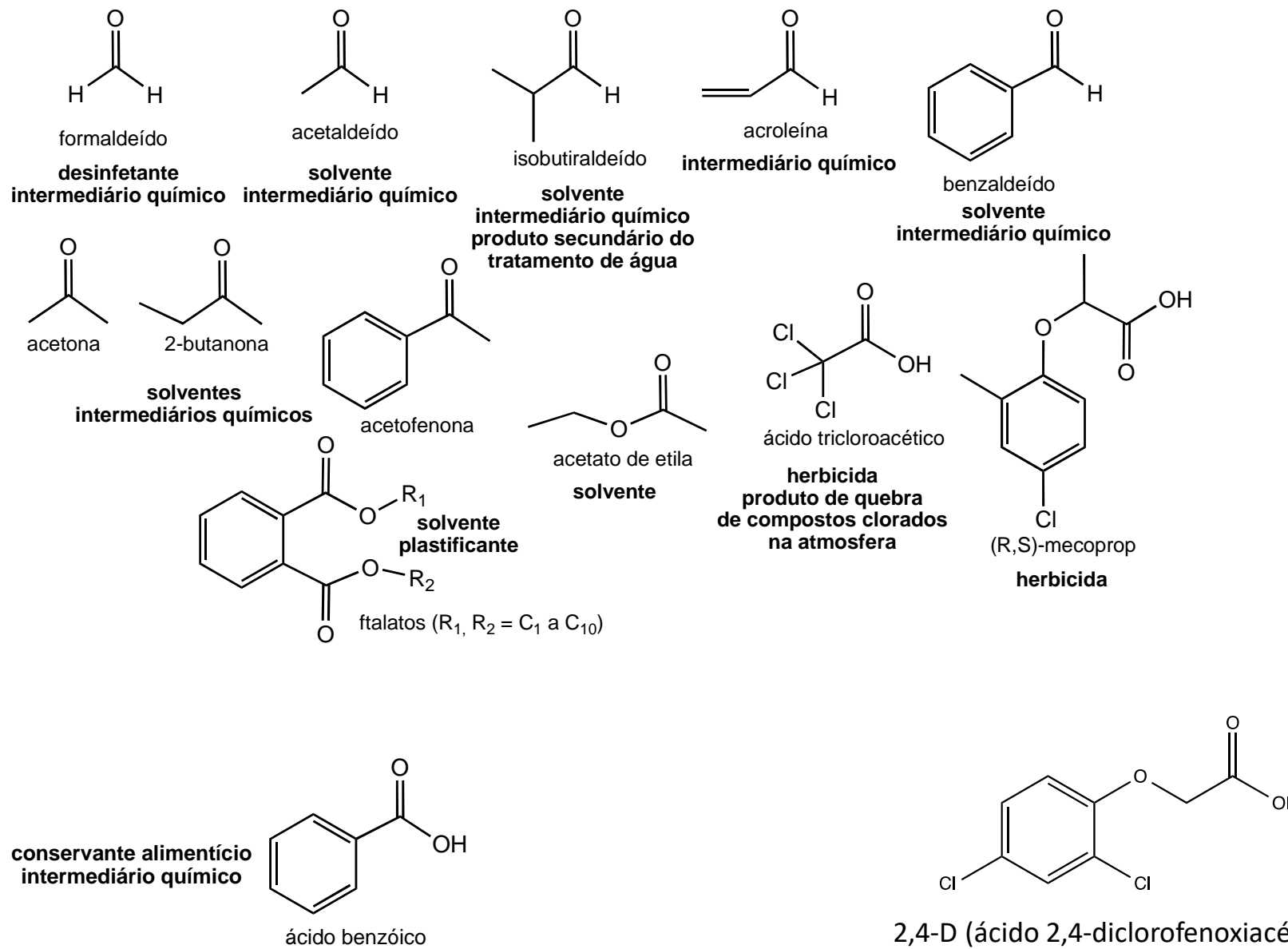
**difenil éteres polibromados  
retardante de chama**



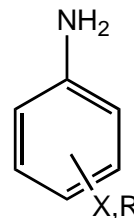
**dibenzo-furanos policlorados  
(135 representantes)**



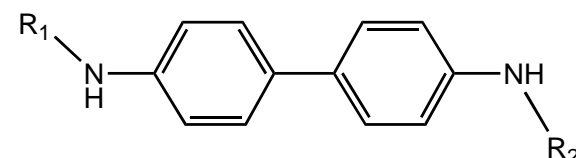
# Aldeídos, cetonas, ésteres e ácidos



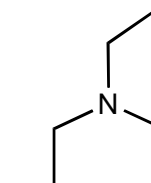
# Compostos nitrogenados



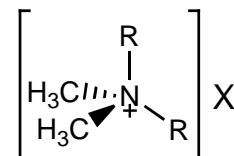
anilina e anilinas substituídas  
intermediários químicos



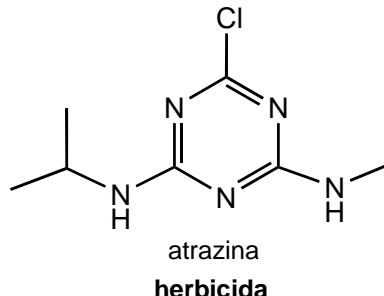
N,N'-dialquil/aril *p*-fenilenodiaminas  
antioxidantes



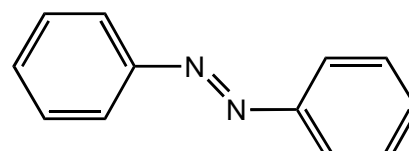
solvente, agente umectante,  
inibidor de corrosão  
propelente



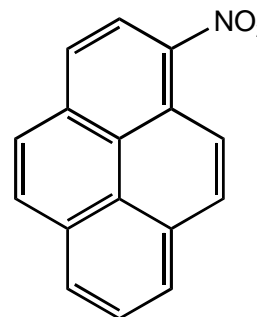
sais quaternários de amônio  
surfactantes



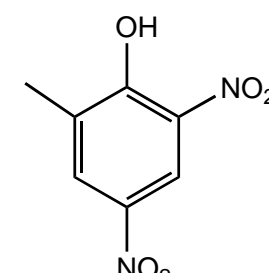
atrazina  
herbicida



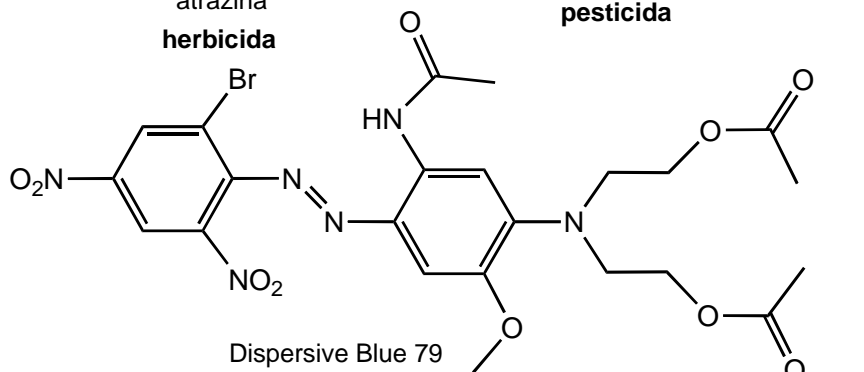
azobenzeno  
intermediário químico  
pesticida



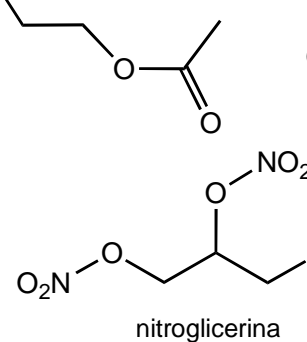
1-nitropireno  
combustão



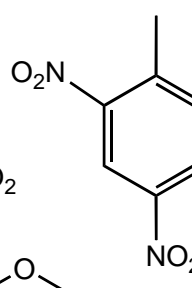
2,4-dinitro-o-cresol  
herbicida



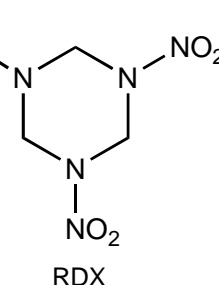
Dispersive Blue 79  
pigmento têxtil



nitroglicerina



TNT

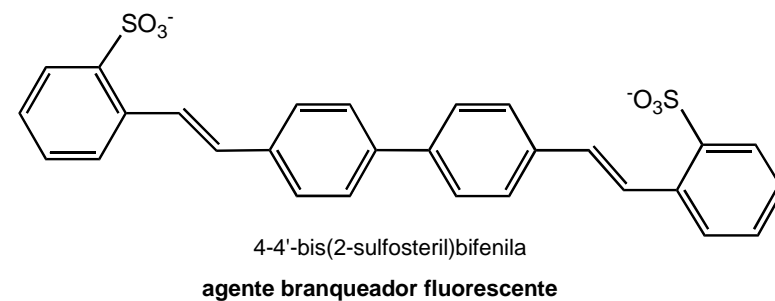
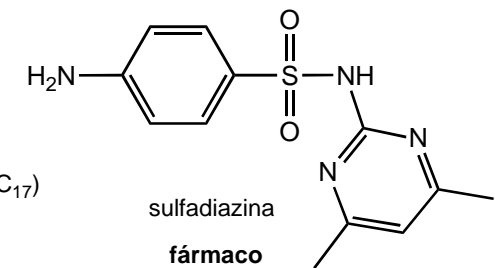
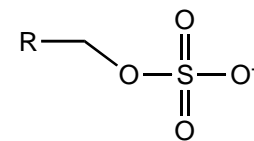
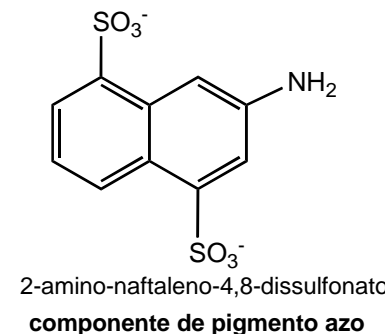
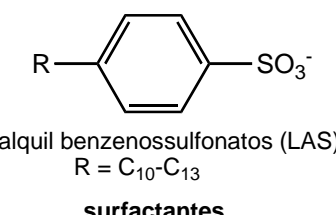
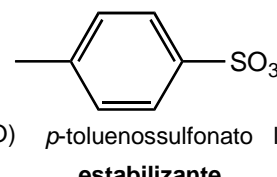
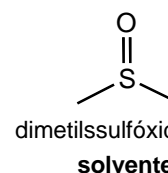
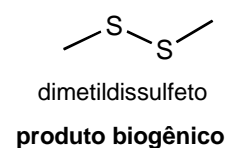
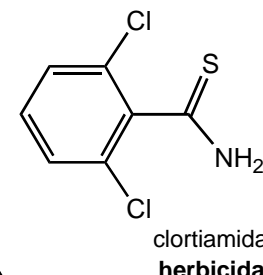
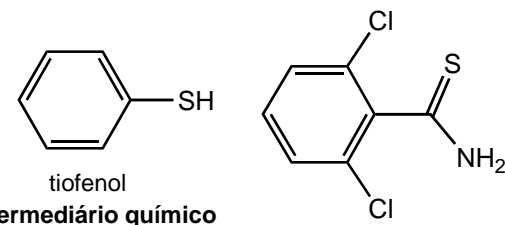
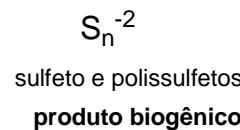
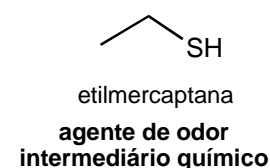
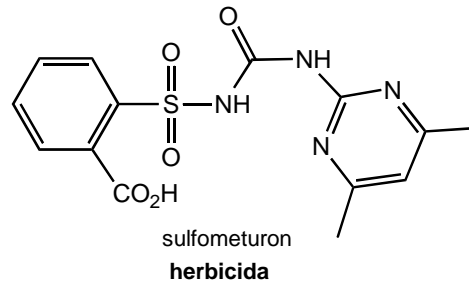


RDX

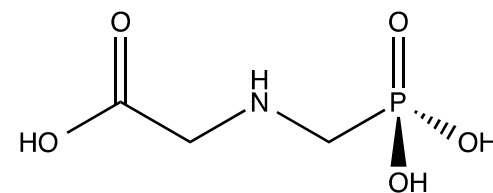
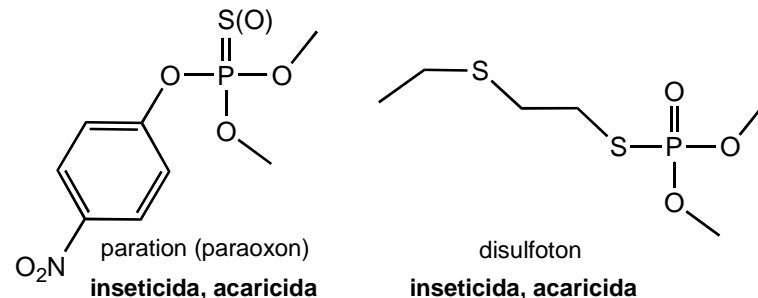
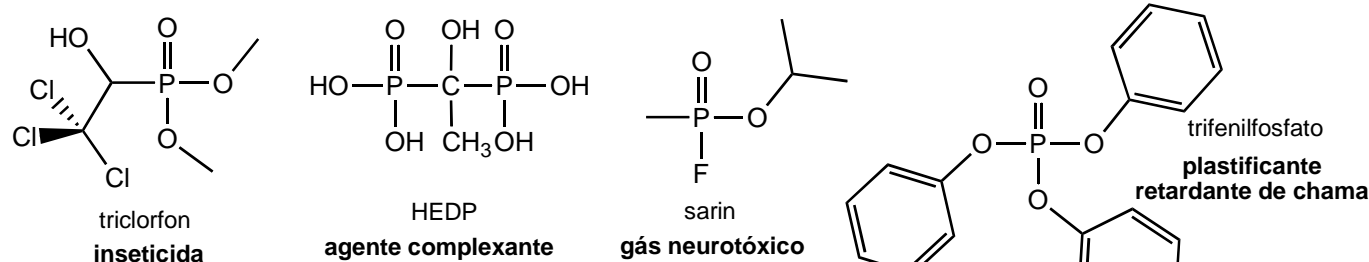
explosivos

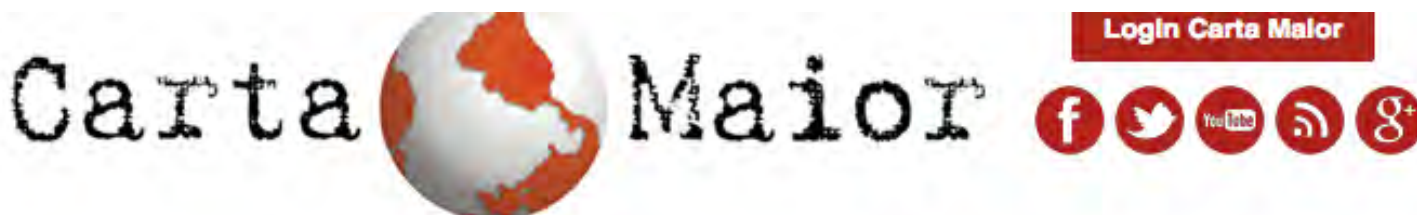


# Compostos sulfurados



# Compostos fosforados





[Política](#) | [Economia](#) | [Movimentos Sociais](#) | [Cidades](#) | [Internacional](#) | [Meio Ambiente](#) | [Mídia](#) | [Cult](#)  
[Editoriais](#) | [Blog do Emir](#) | [Primeiros Passos](#) | [Colunistas](#) | [Opinião](#) | [Fóruns](#) | [Especiais](#) | [Principais](#)

## Meio Ambiente

[Home](#) > [Meio Ambiente](#) > [Monsanto: 25 doenças que podem ser causadas pelo agrotóxico glifosato](#)

17/02/2015 - Copyleft

### Monsanto: 25 doenças que podem ser causadas pelo agrotóxico glifosato

cientistas descobriram que pessoas doentes tinham maiores níveis de glifosato em seu corpo do que as pessoas saudáveis. Conheça os resultados destas pesquisas

[Recomendar](#) 15 mil

[Tweetar](#) 27

0

g+ 53

A A+ [Email](#) [Print](#)

**Alexis Baden-Mayer - Sin Permiso**

<http://cartamaior.com.br/?/Editoria/Meio-Ambiente/Monsanto-25-doencas-que-podem-ser-causadas-pelo-agrotoxico-glifosato/3/32891>



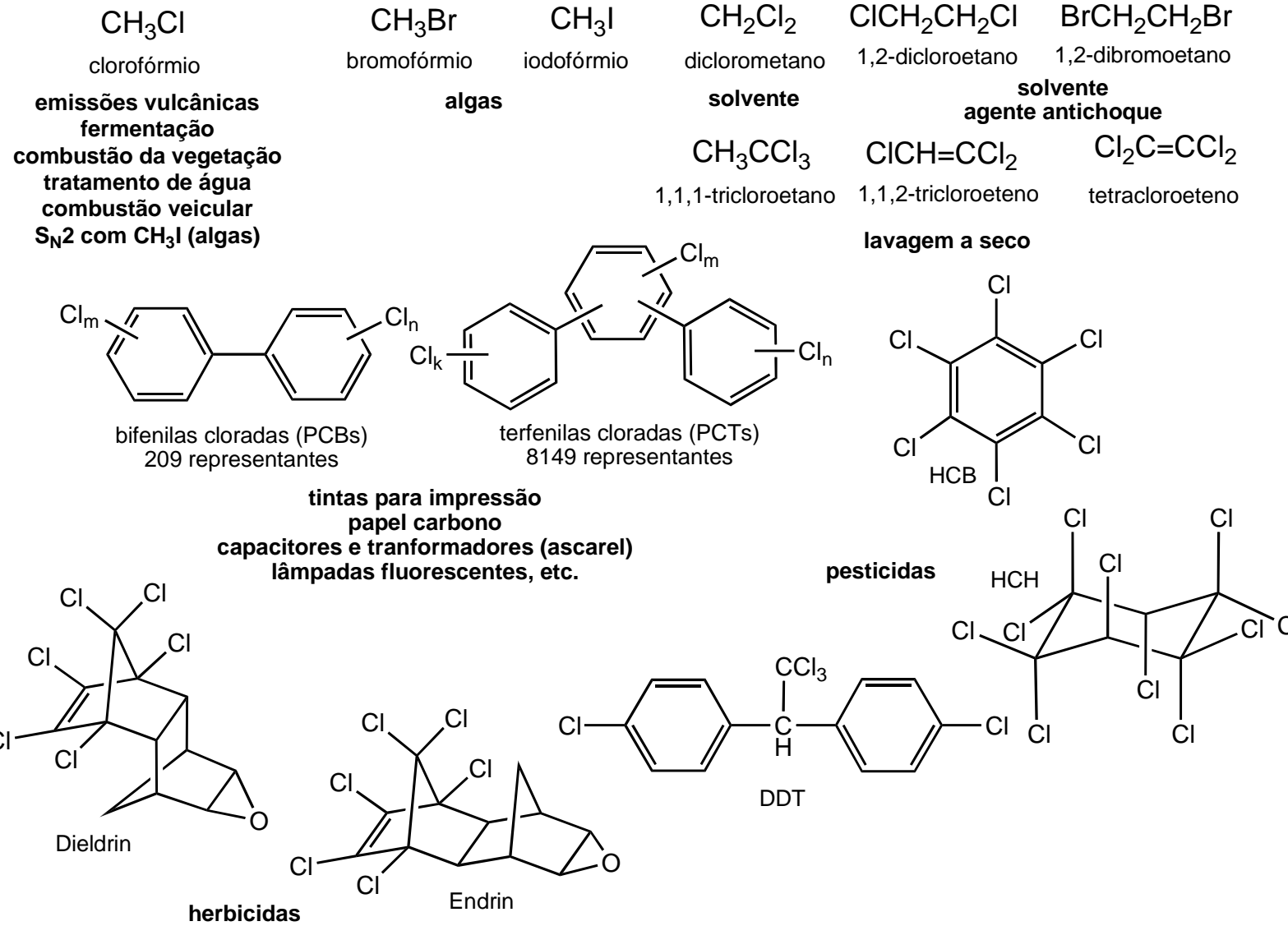
# Glifosato realmente causa tudo isso?

6) **Câncer cerebral:** em um estudo comparativo entre crianças sadias e crianças com câncer cerebral, os pesquisadores detectaram que, se um dos pais estivera exposto ao Roundup dois anos antes do nascimento da criança, as possibilidades de ela desenvolver câncer no cérebro dobravam.

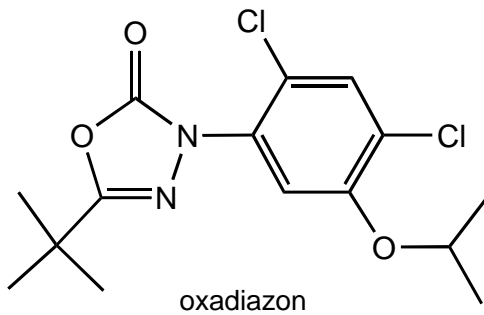
18) **Doença de Lou Gehrig:** a deficiência de sulfato no cérebro foi associada à Esclerose Lateral Amiotrófica. O glifosato altera a transmissão de sulfato do aparelho digestivo ao fígado, e poderia levar a uma deficiência de sulfato em todos os tecidos, incluindo o cérebro.

19) **Esclerose múltipla:** encontrou-se uma correlação entre uma incidência aumentada de inflamação de intestino e a Esclerose Múltipla. O glifosato poderia ser um fator causal. A hipótese é que a inflamação intestinal induzida pelo glifosato faz com que bactérias do aparelho digestivo se infiltrarem no sistema circulatório, ativando uma reação imune e, como consequência, uma desordem autoimune, resultando na destruição da bainha de mielina.

# Compostos halogenados

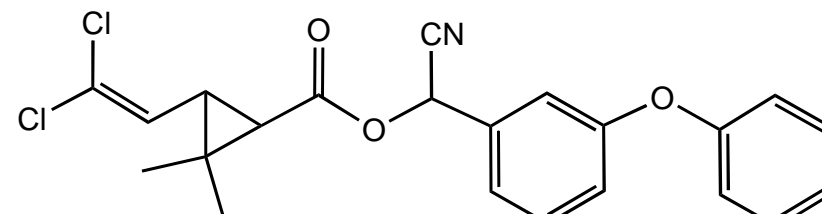


# Defensivos agrícolas complexos e fármacos



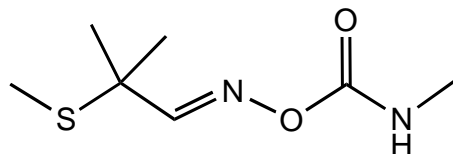
oxadiazon

**herbicida**



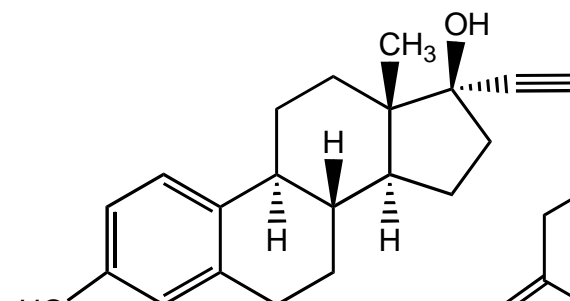
cipermetrina

**inseticida**



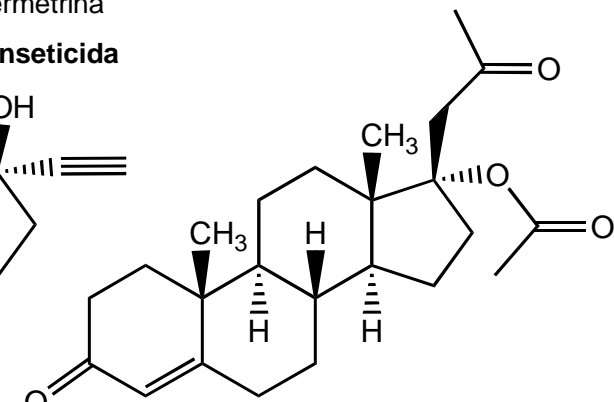
aldicarb

**inseticida, acaricida e nematicida**



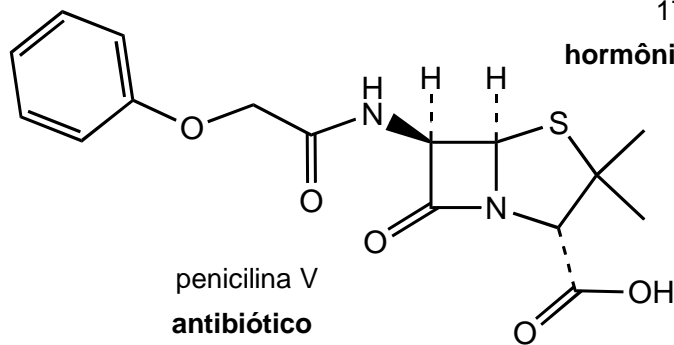
17-ethinil estradiol

**hormônio, anticoncepcional**

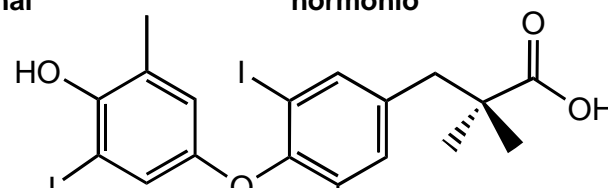


17a-acetóxi-progesterona

**hormônio**



penicilina V  
antibiótico

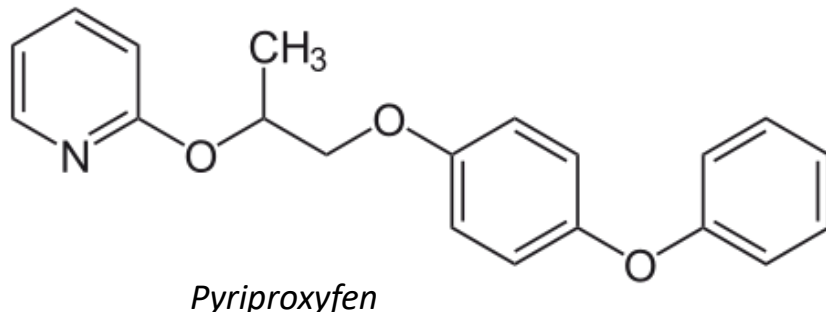


levotiroxina

**hormônio**



# Defensivos agrícolas complexos e fármacos



**ÉPOCA** **TEMPO** **IDEAS** **VIDA** **COLUNAS** **CANais** **ASSINE**

**O FILTRO**

## Governo do RS suspende larvicida Pyriproxyfen depois de relatório que associa produto à microcefalia

ONG argentina indica que a má-formação cerebral detectada em bebês que vivem em áreas onde o produto é utilizado "não é coincidência"

REDAÇÃO ÉPOCA  
13/02/2016 - 16h05 - Atualizado 16/02/2016 20h17

### Microcefalia é causada por:

- Pyriproxyfen?
- Vacina?
- Vírus Zika?

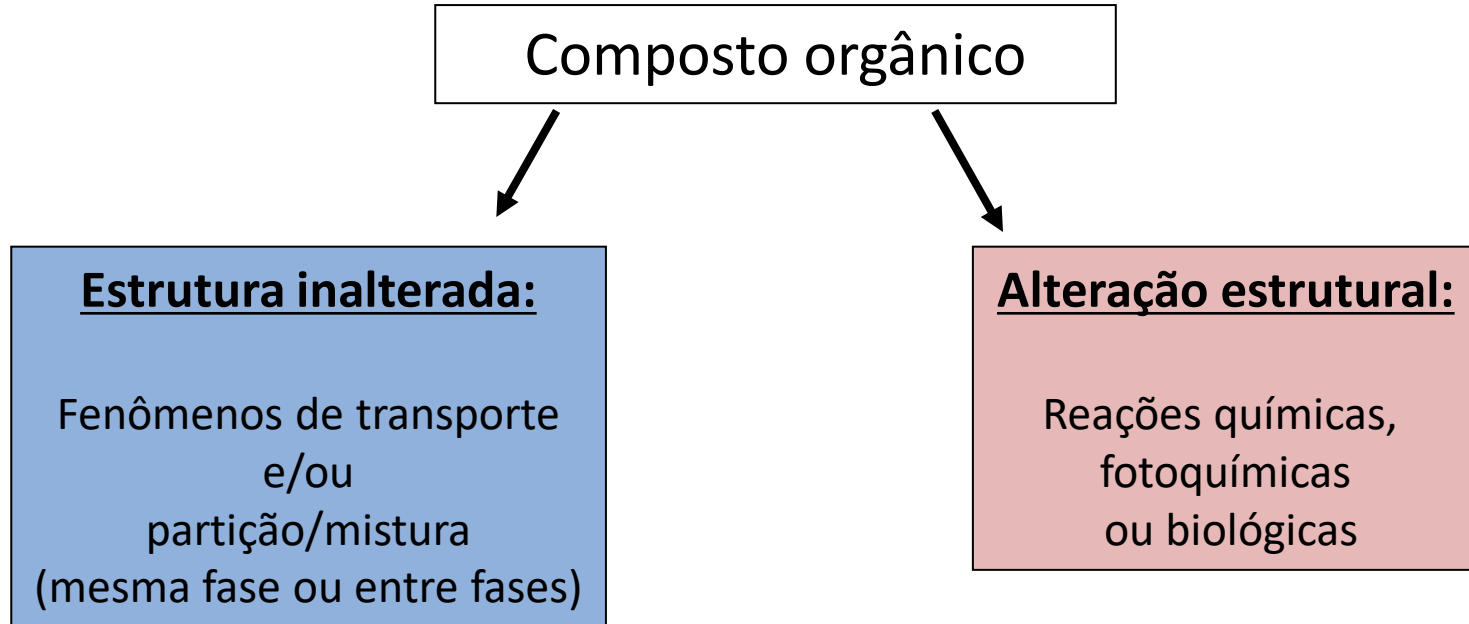
<http://epoca.globo.com/tempo/filtro/noticia/2016/02/governo-do-rs-suspende-larvicida-pyriproxyfen-depois-de-estudo-que-associa-produto-microcefalia.html>



**O que ocorre com os  
compostos  
no meio ambiente?**



# Processos químicos, físicos e biológicos no meio ambiente





# Qual o destino de uma espécie no meio ambiente?

**1) Permanecer intacto no local atual**

**2) Ser levado para outros locais/compartimentos por processos de partição/transporte:**

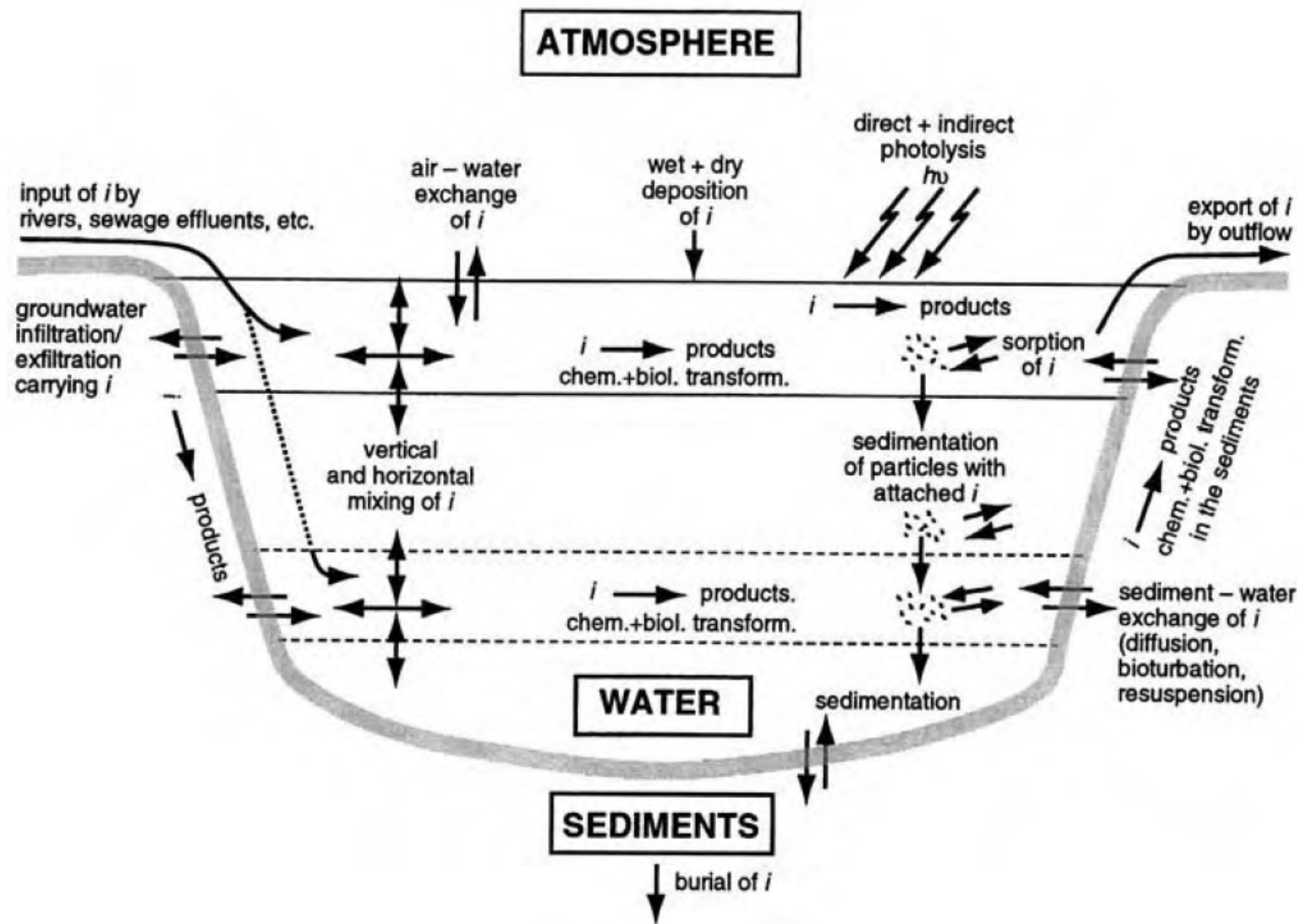
- a) Para outras fases (ar, água, solo) por volatilização, dissolução, adsorção, ou precipitação;
- b) Na mesma fase, por gravidade, difusão ou advecção;
- c) Em seres vivos, por bioacumulação.

**3) Transformar-se em outras espécies químicas por processos químicos ou biológicos naturais:**

- a) “Intemperismo” – série de processos químicos não biológicos (redox, ácido-base, hidratação, hidrólise, complexação, fotólise, etc);
- b) Biodegradação – processos biológicos



# Processos químicos, físicos e biológicos no meio ambiente





# Bibliografia Específica

## Ciclos Biogeoquímicos:

- Bernhard, A. (2010) The Nitrogen Cycle: Processes, Players, and Human Impact. *Nature Education Knowledge* 3(10), 25.
- Flagan, Richard C. and Seinfeld, John H. (1988) Fundamentals of air pollution engineering, Prentice-Hall, Inc. , Englewood Cliffs, New Jersey. ISBN 0-13-332537-7



# Bibliografia Específica

Ozônio:

- World Meteorological Organization (WMO), Scientific Assessment of Ozone Depletion: 2014, World Meteorological Organization, Global Ozone Research and Monitoring Project - Report No. 55, 416 pp., Geneva, Switzerland, 2014.
- “Solving the PSC Mystery”, Margaret A. Tolbert and Owen B. Toon, Science 2001: 292 (5514), 61-63. [DOI:10.1126/science.1060083].
- “Heterogeneous chlorine activation on stratospheric aerosols and clouds in the Arctic polar vortex”. T. Wegner, J.-U. Grooß, M. von Hobe, F. Stroh, O. Suminska-Ebersoldt, C. M. Volk, E. Hösen, V. Mitev, G. Shur, and R. Müller. Atmos. Chem. Phys. 2012: 12 p.11095–11106 . [doi:10.5194/acp-12-11095-2012].



# Bibliografia Específica

## Mudanças Climáticas:

- IPCC, 2013: Climate Change 2013: The Physical Science Basis. Contribution of Working Group I to the Fifth Assessment Report of the Intergovernmental Panel on Climate Change [Stocker, T.F., D. Qin, G.-K. Plattner, M. Tignor, S.K. Allen, J. Boschung, A. Nauels, Y. Xia, V. Bex and P.M. Midgley (eds.)]. Cambridge University Press, Cambridge, United Kingdom and New York, NY, USA, 1535 pp. (<http://www.ipcc.ch/report/ar5/wg1/>)
- IPCC, 2014: Climate Change 2014: Impacts, Adaptation, and Vulnerability. Part A: Global and Sectoral Aspects. Contribution of Working Group II to the Fifth Assessment Report of the Intergovernmental Panel on Climate Change [Field, C.B., V.R. Barros, D.J. Dokken, K.J. Mach, M.D. Mastrandrea, T.E. Bilir, M. Chatterjee, K.L. Ebi, Y.O. Estrada, R.C. Genova, B. Girma, E.S. Kissel, A.N. Levy, S. MacCracken, P.R. Mastrandrea, and L.L.White (eds.)]. Cambridge University Press, Cambridge, United Kingdom and New York, NY, USA, 1132 pp. (<http://www.ipcc.ch/report/ar5/wg2/>)
- IPCC, 2014: Climate Change 2014: Impacts, Adaptation, and Vulnerability. Part B: Regional Aspects. Contribution of Working Group II to the Fifth Assessment Report of the Intergovernmental Panel on Climate Change [Barros, V.R., C.B. Field, D.J. Dokken, M.D. Mastrandrea, K.J. Mach, T.E. Bilir, M. Chatterjee, K.L. Ebi, Y.O. Estrada, R.C. Genova, B. Girma, E.S. Kissel, A.N. Levy, S. MacCracken, P.R. Mastrandrea, and L.L.White (eds.)]. Cambridge University Press, Cambridge, United Kingdom and New York, NY, USA, pp. 688. (<http://www.ipcc.ch/report/ar5/wg2/>)
- IPCC, 2014: Climate Change 2014: Mitigation of Climate Change. Contribution of Working Group III to the Fifth Assessment Report of the Intergovernmental Panel on Climate Change [Edenhofer, O., R. Pichs-Madruga, Y. Sokona, E. Farahani, S. Kadner, K. Seyboth, A. Adler, I. Baum, S. Brunner, P. Eickemeier, B. Kriemann, J. Savolainen, S. Schlömer, C. von Stechow, T. Zwickel and J.C. Minx (eds.)]. Cambridge University Press, Cambridge, United Kingdom and New York, NY, USA. (<http://www.ipcc.ch/report/ar5/wg3/>).